

เตาหลอมอลูมิเนียมไฟฟ้า

The Electrical Aluminium Melting Furnace



สุปรียา สุขพันธุ์ถาวร

Miss Supreeya Sukpanthavorn

สุรัสวดี จินาพันธ์

Miss Suratsawadee Jinaphan

เอกพจน์ สมสกุลถาวร

Mr. Aggapot Somsakunthaworn

เลขหมู่.....  
เลขทะเบียน..... 45809  
วัน, เดือน, ปี 18 ก.พ. 2546

.b.....
.i.....

ปริญญานิพนธ์นี้เป็นส่วนหนึ่งของการศึกษาตามหลักสูตรปริญญาวิศวกรรมศาสตรบัณฑิต

สาขาวิศวกรรมอุตสาหกรรม

คณะวิศวกรรมศาสตร์

สถาบันเทคโนโลยีพระจอมเกล้าเจ้าคุณทหารลาดกระบัง

ปีการศึกษา 2544

เอกสารนี้เป็นเอกสารที่สงวนไว้สำหรับการใช้งานเพื่อการศึกษาเท่านั้น ไม่อนุญาตให้นำไปใช้ประโยชน์ด้านการค้า  
ไม่ว่ากรณีใดๆ ทั้งสิ้น อีกทั้งห้ามมิให้ตัดแปลงเนื้อหา และต้องอ้างอิงถึงเจ้าของเอกสารทุกครั้งที่มีการนำไปใช้

หัวข้อวิทยานิพนธ์	เตาหลอมอลูมิเนียมไฟฟ้า The Electrical Aluminium Melting Furnace
นักศึกษา	นางสาวสุปรียา สุขพันธุ์ถาวร
รหัสนักศึกษา	41014785
นักศึกษา	นางสาวสุรัสวดี จินาพันธ์
รหัสนักศึกษา	41014790
นักศึกษา	นายเอกพจน์ สมสกุลถาวร
รหัสนักศึกษา	41014815
ปริญญา	วิศวกรรมศาสตรบัณฑิต
สาขาวิชา	วิศวกรรมอุตสาหกรรม
ปีการศึกษา	2544
อาจารย์ผู้ควบคุมวิทยานิพนธ์	



(ศศ.พรศักดิ์ อรรณวนิช)

(อ. พลชัย โชติปราชญ์กุล)

เอกสารนี้เป็นเอกสารที่สงวนไว้สำหรับการใช้งานเพื่อการศึกษาเท่านั้น ไม่อนุญาตให้นำไปใช้ประโยชน์ด้านการค้า  
ไม่ว่ากรณีใดๆ ทั้งสิ้น อีกทั้งห้ามมิให้ดัดแปลงเนื้อหา และต้องอ้างอิงถึงเจ้าของเอกสารทุกครั้งที่มีการนำไปใช้

หัวข้อวิทยานิพนธ์	เตาหลอมอลูมิเนียมไฟฟ้า
นักศึกษา	นางสาวสุปรียา สุขพันธุ์ถาวร
นักศึกษา	นางสาวสุรัสวดี จินาพันธ์
นักศึกษา	นายเอกพจน์ สมสกุลถาวร
ระดับการศึกษา	วิศวกรรมศาสตรบัณฑิต สาขาวิศวกรรมอุตสาหกรรม สถาบันเทคโนโลยีพระจอมเกล้าเจ้าคุณทหารลาดกระบัง
ปีการศึกษา	2544
อาจารย์ผู้ควบคุมปริญญาโท	ผศ.พรศักดิ์ อรรถวานิช อ. พลชัย โชติปราชญ์กุล

## บทคัดย่อ

โครงการเตาหลอมอลูมิเนียมขนาด 10 กิโลกรัมที่จัดทำขึ้นตามความต้องการของภาควิชาวิศวกรรมอุตสาหกรรม สถาบันเทคโนโลยีพระจอมเกล้าเจ้าคุณทหารลาดกระบัง เพื่อใช้ประโยชน์ในการศึกษาในวิชางานหล่อ ได้แก่ วิชากรรมวิธีการผลิต, วิชาวัสดุวิศวกรรม, วิชาโลหะวิทยา และ วิชาการทดลองทางวิศวกรรม โดยใช้ขดลวดต้านทานเป็นตัวเปลี่ยนพลังงานไฟฟ้าเป็นพลังงานความร้อนเพื่อถ่ายเทให้กับเบ้าหลอม โดยขดลวดสามารถทำอุณหภูมิได้ถึง  $1000^{\circ}\text{C}$  โดยใช้แหล่งพลังงานความร้อนจากขดลวดต้านทานซึ่งมี 24 เส้น ใช้ไฟ 3 เฟส 220 โวลต์ ต่อแบบสตาร์ ระบบควบคุมอุณหภูมิใช้ชุดควบคุมอุณหภูมิ (Temperature Control) 1 ตัว ทำหน้าที่ควบคุมอุณหภูมิกับเทอร์โมคัปเปิล Type k โดยกรรมวิธีการที่จะใช้แม่แรงยกเบ้าหลอมจากด้านล่างของเตาหลอมให้ปากเบ้าหลอมสูงขึ้นมาจากตัวเตาหลอมเพื่อใช้คีบเบ้าหลอมออกมาทำการเทเข้าแบบ โดยใช้ฉนวนกันความร้อน 2 ชนิดตามลักษณะการใช้งาน ชนิดแรกจะเป็นอิฐทนไฟ โดยเขาจะอิฐเป็นร่องเพื่อใส่ขดลวดความร้อนและ ชนิดที่สองเป็นฉนวนความร้อนแบบเซรามิกไฟเบอร์ (Ceramic fiber) ที่มีน้ำหนักเบาสำหรับเตาหลอมที่สร้างขึ้นมีความสามารถหลอมอลูมิเนียมได้ 10 กิโลกรัม โดย การหลอมเบ้าแรกจะใช้เวลาประมาณ 90 นาที

เอกสารนี้เป็นเอกสารที่สงวนไว้สำหรับการใช้งานเพื่อการศึกษาเท่านั้น ไม่อนุญาตให้นำไปใช้ประโยชน์ด้านการค้า ไม่ว่ากรณีใดๆ ทั้งสิ้น อีกทั้งห้ามมิให้ตัดแปลงเนื้อหา และต้องอ้างอิงถึงเจ้าของเอกสารทุกครั้งที่มีการนำไปใช้

<b>Thesis Title</b>	The Electrical Aluminium Melting Furnace
<b>Student</b>	Miss Supreeya Sukpanthavorn Miss Suratsawadee Jinaphan Mr. Aggapot Somsakunthaworn
<b>Degree</b>	Bachelor of Engineering in Industrial Engineering King Mongkut's Institute of Technology Ladkrabang
<b>Academic Year</b>	2001
<b>Advisor</b>	Assistant Professor Pornsak Attavanich Pholchai Chotiprayanakul

## ABSTRACT

Electrical aluminium melting furnace, the project by the students in Faculty of Industrial Engineering of KMITL for studying the subject of foundry which is a part of Manufacturing Process, Material science, Metallurgy and Work Shop. This furnace generates and transfers heat to the crucible by resistance coils making the temperature to 1000 ° c. We jack up the crucible and grip it out of the furnace to pour the melted aluminium.

We used two kinds of insulator. The first is insulation bricks gouged for putting the heater in. Another one is ceramic fiber, which can decrease more weight of the furnace than using whole insulation bricks. This furnace is competent to melt 10 kilograms aluminium. First melting spend 90 minutes by the heat from 24 resistance coils, 3 phases, 4 lines star connected. The thermal controlling system used the temperature control and thermocouple type k.

## กิตติกรรมประกาศ

การทำโครงการนี้ คณะผู้ดำเนินโครงการขอกราบขอบพระคุณอาจารย์ พรศักดิ์ อรรถวานิช , อาจารย์ พลชัย โชติปราชญ์กุล ซึ่งเป็นอาจารย์ที่ปรึกษาโครงการนี้ อาจารย์ เอกพจน์ ตันตราภิวัดน์ อาจารย์ อุดม จันทร์จรัสสุข ซึ่งได้ให้คำแนะนำมากมายในการดำเนินโครงการ รวมทั้งการแก้ไขปัญหาต่าง ๆ ที่มีประโยชน์ต่อโครงการนี้ คณะผู้ดำเนินโครงการรู้สึกซาบซึ้งเป็นอย่างยิ่ง จึงขอขอบพระคุณอย่างสูงในความกรุณาของท่านอาจารย์ทุกๆ ท่านไว้ ณ โอกาสนี้ด้วย

นางสาวสุปรียา สุขพันธุ์ถาวร

นางสาวสุรัสวดี จินาพันธ์

นายเอกพจน์ สมสกุลถาวร



เอกสารนี้เป็นเอกสารที่สงวนไว้สำหรับการใช้งานเพื่อการศึกษาเท่านั้น ไม่อนุญาตให้นำไปใช้ประโยชน์ด้านการค้า ไม่ว่ากรณีใดๆ ทั้งสิ้น อีกทั้งห้ามมิให้ตัดแปลงเนื้อหา และต้องอ้างอิงถึงเจ้าของเอกสารทุกครั้งที่มีการนำไปใช้

# สารบัญ

	หน้า
บทคัดย่อภาษาไทย.....	I
บทคัดย่อภาษาอังกฤษ.....	II
กิตติกรรมประกาศ.....	III
สารบัญ.....	IV
สารบัญตาราง.....	VII
สารบัญภาพ.....	XI
<b>บทที่ 1 บทนำ</b>	
1.1 ที่มาของโครงการ.....	1
1.2 แนวคิด.....	1
1.3 วัตถุประสงค์.....	1
1.4 ขอบเขตของโครงการ.....	2
1.5 ประโยชน์ที่ได้รับจากการทำโครงการ.....	2
<b>บทที่ 2 ทฤษฎีและหลักการที่ใช้ในการออกแบบสร้างเตาหลอม</b>	
2.1 หลักการทำงานของเตาหลอม.....	3
2.2 การถ่ายเทความร้อน.....	3
2.3 เทคนิคการหลอมโลหะอะลูมิเนียม.....	7
2.4 คุณสมบัติทั่วไปของโลหะอะลูมิเนียม.....	12
2.5 วัสดุที่มีคุณสมบัติเป็นฉนวน.....	14
<b>บทที่ 3 การออกแบบและการดำเนินงาน</b>	
3.1 แผนการดำเนินงาน.....	17
3.2 วัสดุทนไฟ.....	17
3.3 ฉนวนกันความร้อน.....	17
3.4 การคำนวณหาค่าลัดไฟฟ้าที่ใช้.....	18
3.5 การออกแบบขดลวดความต้านทาน.....	20
3.6 การออกแบบตัวเตาหลอม.....	26
3.7 การออกแบบวงจรไฟฟ้า.....	26
3.8 อุปกรณ์ที่ใช้ในการสร้างเตาหลอม.....	27

เอกสารนี้เป็นเอกสารที่สงวนไว้สำหรับการใช้งานเพื่อการศึกษาเท่านั้น ไม่อนุญาตให้นำไปใช้ประโยชน์ด้านการค้า  
ไม่ว่ากรณีใดๆ ทั้งสิ้น อีกทั้งห้ามมิให้ตัดแปลงเนื้อหา และต้องอ้างอิงถึงเจ้าของเอกสารทุกครั้งที่มีการนำไปใช้

3.9	ขั้นตอนการปฏิบัติงาน.....	28
<b>บทที่ 4 ผลการดำเนินงาน</b>		
4.1	ขั้นตอนการทดลอง.....	29
4.2	การทดลองหาอัตราเพิ่มของอุณหภูมิ .....	34
4.3	การหาประสิทธิภาพของเตาหลอมอลูมิเนียมไฟฟ้า .....	37
<b>บทที่ 5 สรุปและวิเคราะห์ผลการดำเนินงาน</b>		
5.1	สรุปผลการดำเนินงาน.....	39
5.2	วิเคราะห์ผลการดำเนินงาน.....	39
5.3	แนวทางพัฒนาและปรับปรุงในอนาคต.....	39
<b>บรรณานุกรม.....</b>		<b>42</b>
<b>ภาคผนวก</b>		
	เทอร์โมคัปเปิ้ล.....	A-1
	KANTHAL HANDBOOK .....	A-10
	Drawing .....	A-18
	คู่มือการใช้ตัวควบคุมอุณหภูมิ .....	A-39
	รูปเตาหลอม .....	A-45
	ค่าใช้จ่าย .....	A-47

เอกสารนี้เป็นเอกสารที่สงวนไว้สำหรับการใช้งานเพื่อการศึกษาเท่านั้น ไม่อนุญาตให้นำไปใช้ประโยชน์ด้านการค้า  
ไม่ว่ากรณีใดๆ ทั้งสิ้น อีกทั้งห้ามมิให้ดัดแปลงเนื้อหา และต้องอ้างอิงถึงเจ้าของเอกสารทุกครั้งที่มีการนำไปใช้

# สารบัญตาราง

	หน้า
ตารางที่ 3.1	คุณสมบัติด้านเคมีของฉนวนกันความร้อน..... 18
ตารางที่ 4.1	บันทึกผลการทดลองที่ 1..... 30
ตารางที่ 4.2	บันทึกผลการทดลองที่ 2..... 31
ตารางที่ 4.3	บันทึกผลการทดลองที่ 3..... 33
ตารางที่ 4.4	แสดงข้อมูลความสัมพันธ์ระหว่างอุณหภูมิกับเวลา ( ใช้ไฟ 3 เฟส )..... 34
ตารางที่ 4.5	แสดงข้อมูลความสัมพันธ์ระหว่างอุณหภูมิกับเวลา ( ใช้ไฟ 2 เฟส )..... 36
ตารางที่ 4.6	แสดงข้อมูลช่วงเวลาที่มี magnetic contractor ON และ OFF..... 38



เอกสารนี้เป็นเอกสารที่สงวนไว้สำหรับการใช้งานเพื่อการศึกษาเท่านั้น ไม่อนุญาตให้นำไปใช้ประโยชน์ด้านการค้า  
ไม่ว่ากรณีใดๆ ทั้งสิ้น อีกทั้งห้ามมิให้ดัดแปลงเนื้อหา และต้องอ้างอิงถึงเจ้าของเอกสารทุกครั้งที่มีการนำไปใช้

## สารบัญภาพ

	หน้า
รูปที่ 2.1 การนำความร้อนผ่านผนังราบที่ค่าการนำความร้อนที่ขนาดสม่ำเสมอ.....	4
รูปที่ 2.2 การนำความร้อนแบบมีมิติเดียวผ่านผนังหลายชั้นและการเปรียบเทียบกับวงจรไฟฟ้า.....	5
รูปที่ 2.3 วงจรความร้อนแบบต่อความต้านทานแบบอนุกรม.....	6
รูปที่ 2.4 Solubility of hydrogen in solid and liquid aluminium.....	9
รูปที่ 2.5 Foseco Porotec apparatus.....	9
รูปที่ 2.6 Some Porotec samples.....	10
รูปที่ 2.7 Diagram of sodium chloride/potassium chloride mixtures.....	11
รูปที่ 2.8 Diagram of sodium chloride/potassium chloride/sodium fluoride mixtures.....	11
รูปที่ 2.9 Effect of Cold Working Upon Mechanical Properties.....	14
รูปที่ 3.1 แสดงการวัดขนาดต่างๆของขดลวด.....	24
รูปที่ 3.2 ภาพของเตาหลอมที่ออกแบบ.....	26
รูปที่ 3.3 วงจรไฟฟ้า.....	26
รูปที่ 4.1 กราฟแสดงผลการทดลองที่ 1.....	30
รูปที่ 4.2 กราฟแสดงผลการทดลองที่ 2.....	32
รูปที่ 4.3 กราฟแสดงการเปลี่ยนแปลงของอุณหภูมิเทียบกับเวลา ( ใช้ไฟ 3 เฟส ).....	35
รูปที่ 4.4 กราฟแสดงการเปลี่ยนแปลงของอุณหภูมิเทียบกับเวลา ( ใช้ไฟ 2 เฟส ).....	37

# บทที่ 1

## บทนำ

### 1.1 ที่มาของโครงการ

ในปัจจุบันวิวัฒนาการทางด้านเทคโนโลยีสาขาต่าง ๆ ได้เจริญก้าวหน้าไปมาก รวมทั้งวิวัฒนาการทางการหล่อโลหะ การที่เราจะได้งานหล่อที่มีคุณภาพดีนั้น เตาหลอมนับว่ามีส่วนสำคัญอย่างยิ่ง เตาหลอมโลหะที่เราสร้างขึ้นควรจะ มีประสิทธิภาพสูง ประหยัด กรรมวิธีการหลอมโลหะจะต้องเหมาะสมกับเตาหลอม และงานหลอมชนิดนั้น ๆ เพราะ ฉะนั้น การเลือกเตาให้เหมาะสมมีหลักใหญ่ ๆ ดังนี้

- (1) ชนิดของโลหะ หรือ โลหะผสมและอุณหภูมิ
- (2) คุณภาพของน้ำโลหะที่ต้องการ เช่น องค์ประกอบทางเคมี , โครงสร้างทางโลหะวิทยา
- (3) จำนวนและวิธีการผลิต
- (4) ชนิด และค่าใช้จ่ายของพลังงานความร้อนที่ใช้ในการหลอม
- (5) สภาพการควบคุมการทำงาน และความปลอดภัยในการใช้งาน

### 1.2 แนวคิด

โดยทั่วไปในงานหล่ออลูมิเนียมในอุตสาหกรรมจะใช้เตาเบ้า, เตาน้ำมัน โดยมีเชื้อเพลิงเป็นถ่าน, น้ำมันหรือแก๊ส ความร้อนในลักษณะนี้เป็นความร้อนจากเปลวไฟ หรือเปลวความร้อนต้องสัมผัสกับเบ้าหลอมโลหะ ซึ่งจะทำให้อุณหภูมิของน้ำที่ อยู่กับเปลวไฟแยกตัวเมื่อสัมผัสกับอลูมิเนียมได้เกิดไฮโดรเจนและออกซิเจน ทำให้อลูมิเนียมเกิดเป็นตะกรันของ อลูมิเนียมออกไซด์ ส่วนสำหรับเตาหลอมอลูมิเนียมให้ความร้อนโดยลวดต้านทาน สามารถควบคุมการหลอมได้ง่าย ทั้ง การละลายของแก๊สและการเกิดตะกรันของอลูมิเนียมออกไซด์

ข้อได้เปรียบของเตาหลอมแบบใช้ไฟฟ้ามีดังนี้

- (1) มีประสิทธิภาพสูงกว่าเตาหลอมแบบใช้น้ำมัน
- (2) อายุการใช้งานของเบ้าหลอมมากกว่าเบ้าที่ใช้กับเตาน้ำมัน 20 ถึง 100%
- (3) สามารถควบคุมอุณหภูมิได้แน่นอน
- (4) สภาพการทำงานไม่มีเสียงรบกวน, ไม่มีควันเสียของแก๊สทำให้การปฏิบัติงานเป็นไปอย่างมีประสิทธิภาพ

### 1.3 วัตถุประสงค์

- (1) เพื่อให้ทราบถึงหลักการทำงานของเตาหลอมโลหะไฟฟ้า
- (2) เพื่อศึกษาชิ้นส่วน, ตัวแปรต่าง ๆ ที่มีผลต่อการทำงานของเตาหลอมโลหะไฟฟ้า
- (3) เพื่อนำความรู้ในด้านกลศาสตร์, ความร้อน, วงจรไฟฟ้า, ฯลฯ นำมาประยุกต์ใช้ในการสร้างเตาหลอมโลหะ ไฟฟ้า
- (4) เพื่อประโยชน์ในด้านการเรียนการสอนกระบวนการผลิต งานหล่อโลหะ
- (5) ให้สามารถออกแบบโครงสร้างของเตาหลอมโลหะไฟฟ้าได้อย่างเหมาะสม

เอกสารนี้เป็นเอกสารที่สงวนไว้สำหรับการใช้งานเพื่อการศึกษาเท่านั้น ไม่อนุญาตให้นำไปใช้ประโยชน์ด้านการค้า ไม่ว่ากรณีใดๆ ทั้งสิ้น อีกทั้งห้ามมิให้ตัดแปลงเนื้อหา และต้องอ้างอิงถึงเจ้าของเอกสารทุกครั้งที่มีการนำไปใช้

## 1.4 ขอบเขตของโครงการ

ออกแบบและสร้างเตาหลอมอลูมิเนียมชนิดใช้ลวดต้านทานให้ความร้อนมีพื้นที่หน้าตัดเป็นสี่เหลี่ยมผืนผ้า ใช้เบ้าซิลิกอนคาร์ไบด์ แบบยกเท ใช้ไฟฟ้า 3 เฟส 220 โวลต์อุณหภูมิในเตาสูงสุด 1000 °C หลอมอลูมิเนียม 10 กิโลกรัม ในเวลา 90 นาที การควบคุมอุณหภูมิใช้ชุดควบคุมอุณหภูมิและเทอร์โมคัปเปิลโดยใช้แม่แรงเพื่อยกเบ้าหลอมขึ้นเพื่อใช้คีมสามารถคีบเบ้าหลอมยกออกมาเทเข้าแบบ

## 1.5 ประโยชน์ที่ได้รับจากการทำโครงการ

- (1) เพื่อสร้างเตาหลอมอลูมิเนียมให้กับทางภาควิชา
- (2) เพื่อสร้างทักษะและประสบการณ์ในงานทางด้านวิศวกรรม
- (3) เพื่อสร้างทักษะการทำงานร่วมกันเป็นหมู่คณะ
- (4) เพื่อให้รู้จักการวางแผน การทำงานและการดำเนินงาน
- (5) เพื่อสร้างทักษะทางด้านเศรษฐศาสตร์ ในการวิเคราะห์การใช้งบประมาณในการสร้างเตาหลอม



เอกสารนี้เป็นเอกสารที่สงวนไว้สำหรับการใช้งานเพื่อการศึกษาเท่านั้น ไม่อนุญาตให้นำไปใช้ประโยชน์ด้านการค้า  
ไม่ว่ากรณีใดๆ ทั้งสิ้น อีกทั้งห้ามมิให้ตัดแปลงเนื้อหา และต้องอ้างอิงถึงเจ้าของเอกสารทุกครั้งที่มีการนำไปใช้

## บทที่ 2

# ทฤษฎีและหลักการที่ใช้ในการออกแบบสร้างเตาหลอม

### 2.1 หลักการทำงานของเตาหลอม

การทำงานของเตาหลอมเริ่มจากเมื่อขดลวดได้รับกระแสไฟฟ้าเข้ามา (ขดลวดมี 24 เส้น ใช้ไฟฟ้า 3 เฟสๆละ 8 เส้นต่อแบบสตาร์) ขดลวดจะเกิดการเหนี่ยวนำทำให้เกิดความร้อนขึ้น การควบคุมอุณหภูมิจะใช้ชุดควบคุมอุณหภูมิร่วมกับเทอร์โมคัปเปิ้ล ชนิด K ซึ่งจะติดตั้งจากด้านล่างเตาเข้ามาที่จุดใกล้กับด้านล่างของเตา เพื่อให้การควบคุมอุณหภูมิทำได้ถูกต้องต้องเป็นไปตามความต้องการ โดยที่ชุดควบคุมอุณหภูมิสามารถตั้งอุณหภูมิได้ตามต้องการ แต่ไม่เกิน  $1199^{\circ}\text{C}$  การควบคุมอุณหภูมิจะเป็นแบบ เปิด-ปิด เมื่ออุณหภูมิเพิ่มขึ้นสูงถึงที่ตั้งไว้ ชุดควบคุมอุณหภูมิจะตัดไฟที่จ่ายให้กับขดลวด ถ้าอุณหภูมิลดลงต่ำกว่าที่ตั้งไว้ชุดควบคุมอุณหภูมิก็จะต่อไฟให้กับขดลวดตามเดิม เพื่อให้ขดลวดสามารถงอุณหภูมิไว้ได้ตลอดเวลา

การตรวจสอบอุณหภูมิของอลูมิเนียม จะทำได้โดยใช้เทอร์มิเตอร์แบบจุ่ม เพื่อตรวจสอบอุณหภูมิทั่วๆไป ต้องหรือ ไม่อีกครั้งหนึ่ง (ใช้อุณหภูมิเท  $750^{\circ}\text{C}$ ) หลังจากที่อลูมิเนียมเหลวได้อุณหภูมิเทแล้วจะใช้แม่แรงดันเข้าหลอมจากข้างใต้ให้สูงพ้นปากเตาประมาณ 5 ซม. แล้วใช้ปากคีบ คีบเข้าหลอมออกมา

### 2.2 การถ่ายเทความร้อน [1 : P 105 - 118 ]

การวิเคราะห์การถ่ายเทความร้อนที่สมบูรณ์แบบนั้นจำเป็นต้องทราบถึงกลไกการถ่ายเทความร้อนแบบต่างๆ 3 แบบด้วยกันคือ

1. การถ่ายเทความร้อนโดยการนำ หรือ การนำความร้อน (conduction)
2. การถ่ายเทความร้อนโดยการพา หรือ การพาความร้อน (convection)
3. การถ่ายเทความร้อนโดยการแผ่รังสี หรือการแผ่รังสีความร้อน (radiation)

#### 2.2.1 การถ่ายเทความร้อนโดยการนำ (conduction heat transfer)

การถ่ายเทความร้อนโดยการนำเป็นการถ่ายเทความร้อนเพียงวิธีเดียว ที่เกิดขึ้นในตัววัตถุที่เป็นตัวกลางที่บีบแฉง เมื่อมีความลาดชันของอุณหภูมิเกิดขึ้น ในวัตถุดังกล่าวก็จะมีความร้อนถ่ายเทจากจุดที่มีอุณหภูมิสูงไปยังจุดที่มีอุณหภูมิต่ำของวัตถุนั้น ตามกฎของการนำความร้อนของฟูเรียร์ (Fourier's Law of conduction)

$$q_k = -kA \frac{dT}{dX} \quad (2.1)$$

เมื่อ

$q_k$  ; อัตราการถ่ายเทความร้อน โดยการนำหรือการนำความร้อน

$k$  ; ค่าการนำความร้อนของผนัง,  $\text{W/m}^2\text{K}$

$A$  ; พื้นที่ที่ความร้อนไหลผ่าน,  $\text{m}^2$

$T$  ; อุณหภูมิ,  $\text{K}$

$X$  ; ทิศทางการไหลของความร้อน

เอกสารนี้เป็นเอกสารที่สงวนไว้สำหรับการใช้งานเพื่อการศึกษาเท่านั้น ไม่อนุญาตให้นำไปใช้ประโยชน์ด้านการค้า ไม่ว่ากรณีใดๆ ทั้งสิ้น อีกทั้งห้ามมิให้ตัดแปลงเนื้อหา และต้องอ้างอิงถึงเจ้าของเอกสารทุกครั้งที่มีการนำไปใช้

ก) การนำความร้อนในผนังราบ (plane wall)

ให้พิจารณาการถ่ายเทความร้อนผ่านผนังราบ ที่ผิวที่อุณหภูมิคงที่และมีขนาดสม่ำเสมอทั่วทั้งผิว (ดังรูปที่ 2-1) เนื่องจากผิวทั้งสองมีอุณหภูมิแตกต่างกันความร้อนจึงไหลจากผิวที่มีอุณหภูมิสูง ไปยังผิวที่มีอุณหภูมิต่ำถ้าหากนำความร้อน  $q$  ของผนังมีขนาดคงที่แล้วจะมีอัตราการถ่ายเทความร้อนจากสมการคือ

$$q_k = \frac{kA}{L} \times (T_1 - T_2) \quad (2.2)$$

เมื่อ

$q_k$  ; อัตราความร้อนที่ไหลผ่านผนัง, Watt

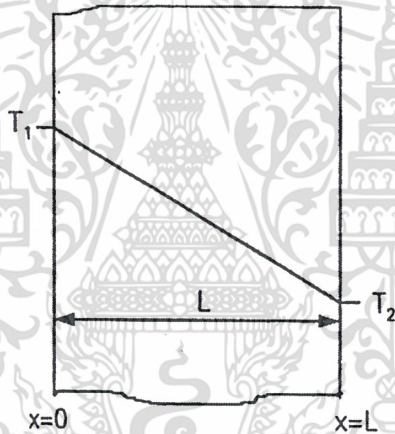
$k$  ; ค่าการนำความร้อนของผนัง, W/m<sup>2</sup>\*K

$A$  ; พื้นที่หน้าตัดของผนังที่ตั้งฉากกับทิศทางการไหล, m<sup>2</sup>

$L$  ; ความหนาของผนัง, m

$T_1$  ; อุณหภูมิของผิวทางด้านซ้าย (ที่  $X=0$ ), K

$T_2$  ; อุณหภูมิของผิวทางด้านขวา (ที่  $X=L$ ), K



รูปที่ 2.1 การนำความร้อนผ่านผนังราบที่ค่าการนำความร้อนที่ขนาดสม่ำเสมอ [ 1 : P 106 ]

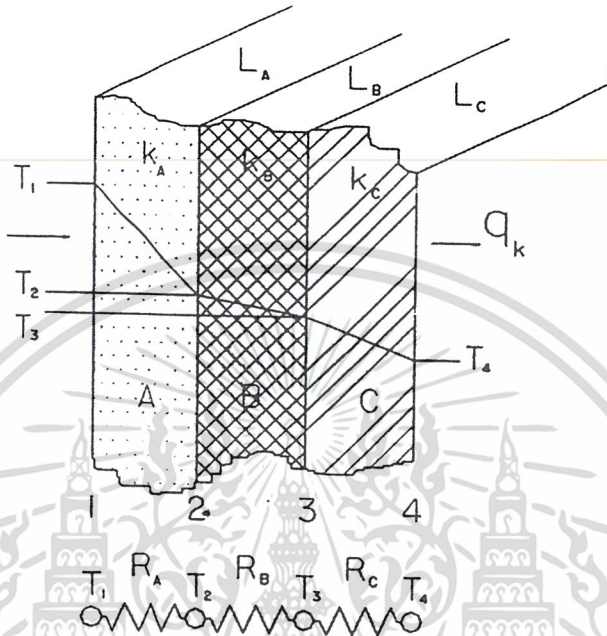
ข) การนำความร้อนในผนังราบซ้อนกันแบบต่ออนุกรม (plane walls in series)

ถ้าความร้อนไหลผ่านผนังที่ซ้อนกันหลายชั้น โดยการนำเช่นผนังของอาคารบ้านเรือนแล้วการวิเคราะห์เกี่ยวกับการถ่ายเทความร้อนก็จะยิ่งยากขึ้น ในกรณีที่สภาวะต่างๆคงที่ หรือไม่แปรผันตามเวลาแล้วนั้นอัตราการความร้อนที่ไหลผ่านผนังแต่ละชั้นก็จะมีขนาดเท่าๆกัน ทั้งๆ ที่ความลาดชันของอุณหภูมิในผนังแต่ละชั้นมีค่าแตกต่างกัน ในกรณีนี้อัตราการความร้อนที่ไหลผ่านผนังดังรูปที่ 2-2 แต่ละชั้นจะมีค่าเป็น

$$q_k = \frac{T_1 - T_2}{\frac{L}{kA_A} + \frac{L}{kA_B} + \frac{L}{kA_C}} \quad (2.3)$$

เมื่อ

$T_1$ ; อุณหภูมิผิวของผนังชั้นแรก, K  
 $T_2$ ; อุณหภูมิผิวของผนังชั้นที่ 2, K



รูปที่ 2.2 การนำความร้อนแบบมิติเดียวผ่านผนังหลายชั้นและการเปรียบเทียบกับวงจรไฟฟ้า [ 1 : P 107 ]

ค) การนำความร้อนตามแนวรัศมี

ความต้านทานรวมที่ใช้หาอัตราการถ่ายเทความร้อน ก็จะเป็นความต้านทานจากการนำของท่อและฉนวน ดัง

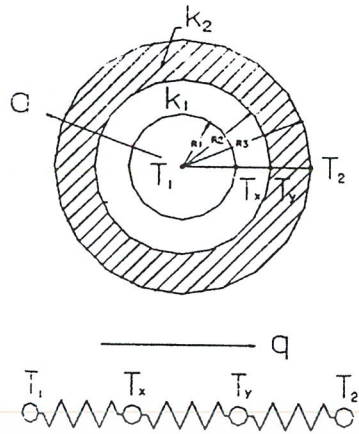
รูป 2-3 และจะมีสมการสำหรับหาอัตราการถ่ายเทความร้อนเป็น

$$q = \frac{T_1 - T_2}{\frac{\ln(r_1/r_2)}{2\pi k_1 \ell} + \frac{\ln(r_3/r_2)}{2\pi k_2 \ell}} \quad (2.4)$$

เมื่อ

$T_1$ ; อุณหภูมิเฉลี่ยของการไหล, K  
 $T_2$ ; อุณหภูมิที่ผิวนอกของการไหล, K  
 $k_1$ ; ค่าการนำความร้อนของวัสดุที่ 1, W/m\*K  
 $k_2$ ; ค่าการนำความร้อนของวัสดุที่ 2, W/m\*K  
 $r_1$ ; รัศมีที่ 1, m  
 $\ell$ ; ความยาวของท่อ, m

เอกสารนี้เป็นเอกสารที่สงวนไว้สำหรับการใช้งานเพื่อการศึกษาเท่านั้น ไม่อนุญาตให้นำไปใช้ประโยชน์ด้านการค้า ไม่ว่าจะกรณีใดๆ ทั้งสิ้น อีกทั้งห้ามมิให้ตัดแปลงเนื้อหา และต้องอ้างอิงถึงเจ้าของเอกสารทุกครั้งที่มีการนำไปใช้



รูปที่ 2.3 วงจรความร้อนแบบต่อความต้านทานแบบอนุกรม [ 1 : P 109 ]

### 2.2.2 การถ่ายเทความร้อนโดยการพา (convection heat transfer)

เมื่อของไหลสัมผัสกับผิววัตถุที่มีอุณหภูมิแตกต่างกันก็จะมีการแลกเปลี่ยนพลังงานความร้อนระหว่างของไหลกับวัตถุ ขบวนการแลกเปลี่ยนความร้อนนี้เรียกว่า “การถ่ายเทความร้อนโดยการพาหรือการพาความร้อน” ขบวนการถ่ายเทความร้อนดังกล่าวนี้เป็นปรากฏการณ์พื้นๆ แต่รายละเอียดของกลไกการถ่ายเทความร้อนนั้นซับซ้อนมาก ในตอนแรกนี้จะไม่กล่าวถึงวิธีการวิเคราะห์ แต่จะเสนอกลไกและสมการหลักที่สามารถใช้คำนวณอัตราการพาความร้อนของระบบย่อยๆ ซึ่งเป็นส่วนที่สำคัญของระบบที่ใช้ให้ความร้อน และใช้ระบายความร้อน

การถ่ายเทความร้อนโดยการพาหรือการพาความร้อนนี้ จำแนกออกเป็น 2 ประเภท คือ

#### ก) การพาความร้อนแบบอิสระ (free convection)

แรงที่ทำให้ของไหลเกิดการเคลื่อนไหวในการพาความร้อนแบบอิสระนั้น เกิดมาจากความแตกต่างของอุณหภูมิในการไหล ที่เนื่องมาจากการที่ของไหลสัมผัสผิวของวัตถุที่มีอุณหภูมิแตกต่างกัน และทำให้เกิดแรงลอยตัวขึ้น ตัวอย่างของการพาความร้อนแบบอิสระนี้ได้แก่ การถ่ายเทความร้อนระหว่างผนังหรือหลังคาบ้านในวันที่อากาศสงบเงียบ การพาความร้อนภายในกาน้ำที่มีขดลวดให้ความร้อน หรือการถ่ายเทความร้อนจากผิวของตัวเก็บความร้อนของแผงอาทิตย์(solar collector) ในช่วงที่ไม่มีลมพัด

#### ข) การพาความร้อนแบบบังคับ (force convection)

การพาความร้อนแบบบังคับจะเกิดขึ้นเมื่อมีแรงจากภายนอกมาบังคับให้ของไหลเคลื่อนที่ผ่านผิววัตถุที่ร้อนหรือเย็นกว่า เนื่องจากของไหลของการพาความร้อนแบบบังคับมีความเร็วที่สูงกว่าแบบอิสระ ดังนั้นความร้อนที่ถ่ายเทได้จากความแตกต่างของอุณหภูมิที่มีขนาดเท่าๆกับการพาความร้อนแบบอิสระ จึงมีจำนวนมากกว่าแต่ไม่ว่าจะเป็นการพาความร้อนแบบไหนก็ตาม ต่างก็มีสมการสำหรับหาอัตราการถ่ายเทความร้อนที่อยู่ในรูปของ “กฎการระบายความร้อนของนิวตัน”

$$q = h_c A (T_s - T_{r,\infty}) \quad (2.5)$$

เมื่อ

$h_c$  ; หนึ่งหน่วยการพาความร้อนหรือสัมประสิทธิ์การพาความร้อน  
เฉลี่ย (W/m<sup>2</sup>.k)

$A$  ; พื้นที่ผิววัตถุที่สัมผัสกับของไหล ,m<sup>2</sup>

เอกสารนี้เป็นเอกสารที่สงวนไว้สำหรับกรใช้เพื่อการศึกษาเท่านั้น ไม่อนุญาตให้นำไปใช้ประโยชน์ด้านการค้า ไม่ว่ากรณีใดๆ ทั้งสิ้น อีกทั้งห้ามมิให้ดัดแปลงเนื้อหา และต้องอ้างอิงถึงเจ้าของเอกสารทุกครั้งที่มีการนำไปใช้

Ts ; อุณหภูมิของผิววัสดุ ,k

T<sub>r,∞</sub>; อุณหภูมิของของไหลที่อยู่ห่างออกไปจากผิวที่มีการถ่ายเทความร้อน ,k

### 2.2.3 การถ่ายเทความร้อนโดยการแผ่รังสี (radiation heat transfer)

ความร้อนจากการนำและการพา จะไหลผ่านได้เฉพาะกรณีที่มีสื่อกลาง (medium) เท่านั้นสำหรับความร้อนจากการแผ่รังสีนั้นจะไหลผ่านได้แม้กระทั่งในสุญญากาศ ในการถ่ายเทความร้อน โดยการแผ่รังสีพลังงานจะเคลื่อนที่ไปในรูปของคลื่นแม่เหล็กไฟฟ้าที่มีความเร็วเท่ากับความเร็วของแสง ปรากฏการณ์จากการแผ่รังสีของแม่เหล็กไฟฟ้ามีอยู่ด้วยกันหลายแบบ (เช่น รังสีเอกซ์) ในที่นี้จะพิจารณาแต่เพียงการแผ่รังสีความร้อนที่มีความร้อนเป็นพลังงานที่ถูกเคลื่อนย้ายเท่านั้น

จำนวนพลังงานที่ถูกส่งออกจากผิวในลักษณะของรังสีความร้อน (radiant heat) นั้นขึ้นอยู่กับอุณหภูมิสมบูรณ์ และลักษณะของผิววัตถุที่สามารถแผ่รังสีได้สมบูรณ์หรือที่เรียกว่าวัตถุดำ (blackbody) จะแผ่รังสีความร้อน  $q_r$  ในอัตรา

$$q_r = \epsilon \sigma AT^4 \quad (2.6)$$

เมื่อ

$q_r$ ; อัตราการแผ่ความร้อน ,watt

$\epsilon$ ; ค่าการแผ่รังสี (remittance)

$A$ ; พื้นที่ผิวของตัวแผ่รังสี ,m<sup>2</sup>

$T$ ; อุณหภูมิผิวของตัวแผ่รังสี ,k

$\sigma$ ; ค่าคงที่ Stefan-Boltzmann constant มีค่าเป็น  $5.67 \times 10^{-8} \text{ w/m}^2 \cdot \text{k}^4$

## 2.3 เทคนิคการหลอมโลหะอะลูมิเนียม [ 7 : P 58 – 69 ]

คุณสมบัติของโลหะที่เหมาะสมสำหรับการหล่อหลอม (casting metal) ควรจะมีคุณสมบัติที่สำคัญหลายประการดังนี้ คือ

- ควรจะมีสมบัติไหลง่าย(good fluidity) สามารถไหลผ่านช่องทางแคบๆหรือไหลไปตามช่องทางของแบบที่สลับซับซ้อนได้โดยง่าย
- มีจุดหลอมเหลวต่ำสะดวกในการหล่อหลอม (Low melting point)
- ไม่ยอมให้เกิดก๊าซละลายได้ง่ายในขณะหลอมเหลว(Low gas solubility)
- ไม่เปราะแตกง่ายขณะเกิดการแข็งตัว(not hot shortness)
- สามารถผสมธาตุต่างๆเข้าได้ง่ายและสม่ำเสมอ (good chemical reproducibility)
- ให้ผิวงานหล่อที่เรียบไม่ติดทรายแบบหรือสเกล(good as-cast surface finish)

จะไม่พบโลหะชนิดใดที่จะ ให้คุณสมบัติทางด้านหล่อหลอมครบถ้วนตามที่กล่าวมานี้เลย ยกเว้น โลหะอะลูมิเนียมที่ให้คุณสมบัติที่เข้าใกล้มากที่สุด จะเห็นว่าโลหะอะลูมิเนียมมีจุดหลอมเหลวต่ำประมาณ 690-730°C มีช่วงของการแข็งตัวยาวและไหลได้ง่าย ทำให้ปัญหาทางด้านวัสดุทำแบบหล่อหมดไป ปัญหาที่สำคัญและจัดเป็นเรื่องที่ต้องระมัดระวังในการหล่อหลอมอะลูมิเนียมก็คือคุณสมบัติเปราะแตกง่ายในช่วงเกิดการแข็งตัว และอีกประการหนึ่งคือ อะลูมิเนียมยอมให้เกิด โดยเฉพาะไฮโดรเจนละลายได้ดีมากในสภาพหลอมเหลว และปริมาณของแก๊สจะลดลงเมื่อ

เอกสารนี้เป็นเอกสารที่สงวนไว้สำหรับการใช้งานเพื่อการศึกษาเท่านั้น ไม่อนุญาตให้นำไปใช้ประโยชน์ด้านการค้า ไม่ว่ากรณีใดๆ ทั้งสิ้น อีกทั้งห้ามมิให้ตัดแปลงเนื้อหา และต้องอ้างอิงถึงเจ้าของเอกสารทุกครั้งที่มีการนำไปใช้

อะลูมิเนียมแข็งตัว นอกจากนี้ อะลูมิเนียมรวมตัวกับออกซิเจนและกลายเป็นอะลูมิเนียมออกไซด์ ( $Al_2O_3$ ) ได้ง่ายและมีความถ่วงจำเพาะใกล้เคียงกับโลหะอะลูมิเนียม ทำให้การแยกตัวของอะลูมิเนียมออกไซด์เป็นไปได้ยาก อันจะมีผลทำให้ อะลูมิเนียมออกไซด์สามารถไหลปะปนไปกับโลหะอะลูมิเนียมเข้าแบบหล่อทำให้ได้ชิ้นงานหล่อที่คุณภาพต่ำ ประการสุดท้ายที่จัดว่าสำคัญไม่น้อยก็คือ เรื่องการหดตัวในสภาวะของแข็งที่ค่อนข้างสูง(3.8-8.5%) ทำให้ควบคุมขนาดของงานหล่อได้ยาก ทั้งหมดที่กล่าวมานี้เป็นสิ่งที่ต้องแก้ไขขณะทำการหล่อหลอม เพื่อให้ได้งานหล่อที่มีคุณภาพดีตามมาตรฐาน

### 2.3.1 เทคนิคการหล่อหลอมโลหะอะลูมิเนียมที่สำคัญแบ่งออกเป็น 4 ชั้น ดังนี้

1. เลือกละลาย(melting furnace)
2. การป้องกันและกำจัดแก๊สไฮโดรเจน
3. การป้องกันและกำจัดอะลูมิเนียมออกไซด์
4. การปรับปรุงคุณสมบัติของ โลหะอะลูมิเนียมขั้นสุดท้ายก่อนเทลงแบบหล่อ(modification)

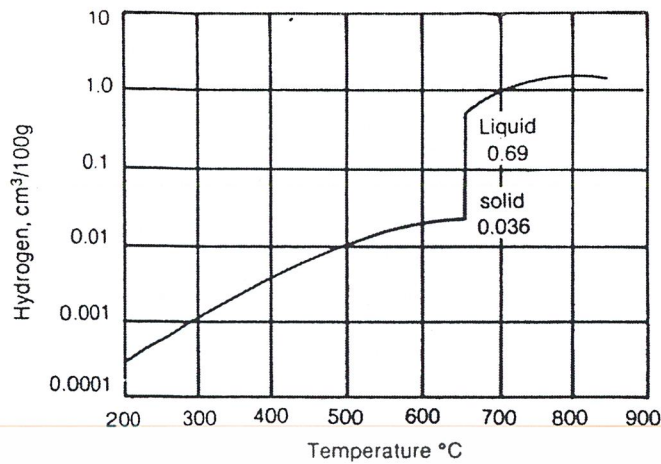
**การเลือกเตาหลอม (melting furnace)** เตาที่ใช้หลอมอะลูมิเนียมมีหลายแบบ ขึ้นอยู่กับปริมาณของโลหะอะลูมิเนียม เช่น เตาแบบ crucible เตากระทะ (reverberatory) และเตาไฟฟ้า(Induction หรือ resistance furnace)

ถ้าเป็นเตาแบบ ใช้ถ่านหรือน้ำมันเชื้อเพลิง ควรจะเป็นลักษณะที่เปลวความร้อนไม่สัมผัสกับ โลหะ (Indirect Fired Furnace) เพราะเปลวไฟจะมีไอน้ำปนอยู่ด้วย จะทำให้ไอน้ำแยกตัวเมื่อสัมผัสกับอะลูมิเนียม ได้แก๊สไฮโดรเจนกับออกซิเจน อะลูมิเนียมละลายแก๊สไฮโดรเจนได้ดี และกลายเป็นอะลูมิเนียมออกไซด์ได้ง่ายเมื่อสัมผัสกับออกซิเจน ในขั้นหลอมนี้จะต้องป้องกันแก๊สทั้งสองให้มากที่สุด

สำหรับเตาไฟฟ้า ถ้าเป็นแบบกระแสเหนี่ยวนำ(Induction) ไม่ว่าจะเป็ประเภทความถี่ต่ำหรือความถี่สูงจะมีผลทำให้เกิดการกวน (Stirring effect) น้ำโลหะที่กำลังหลอมเหลวทำให้มีโอกาสละลายแก๊สในอากาศได้มาก

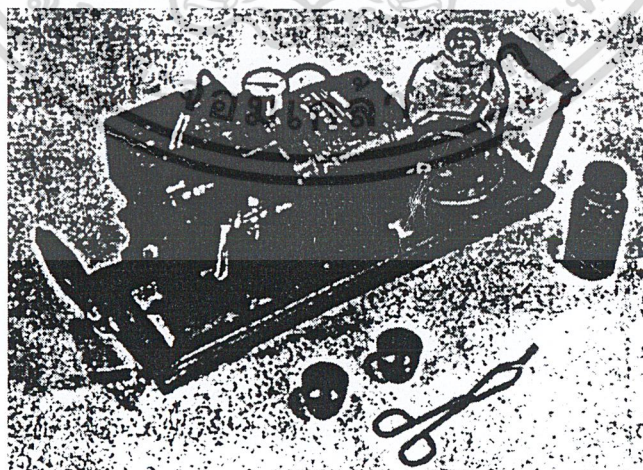
เตาหลอมไฟฟ้าที่ดีที่สุดควรจะเป็นแบบ ใช้ลวดความต้านทาน(Resistance) เนื่องจากสามารถควบคุมได้ง่ายทั้งการละลายแก๊ส และการเกิดอะลูมิเนียมออกไซด์ เพราะไม่เกิดการกวนน้ำ โลหะ

**การป้องกันและกำจัดแก๊สไฮโดรเจน** ในการหลอมโลหะอะลูมิเนียมย่อมจะหลีกเลี่ยงไม่ให้เกิดไฮโดรเจนมีที่มาได้หลายทาง เช่นติดมากับ โลหะที่จะนำมาหลอมในรูปของความชื้น มากับแก๊สที่ได้จากการเผาไหม้ และสุดท้ายมาจากความชื้นในอากาศเมื่อไอน้ำหรือความชื้นสัมผัสกับ โลหะอะลูมิเนียมหลอมเหลวจะเกิดแก๊สไฮโดรเจน ( $2Al + 3H_2O \longrightarrow Al_2O_3 + 6H$ ) ในตอนที่แก๊สไฮโดรเจนละลายอยู่ในอะลูมิเนียม จะอยู่ในสภาพที่เป็นอะตอมละลายอยู่ในโลหะอะลูมิเนียมหลอมเหลว ต่อเมื่อ โลหะอะลูมิเนียมเย็นตัวลง ปริมาณของแก๊สไฮโดรเจนที่ละลายได้จะลดน้อยลงตามลำดับ ทำให้อะตอมของไฮโดรเจนที่ถูกขับออกมารวมตัวกันเข้าเป็นโมเลกุลและในที่สุดก็กลายเป็นฟองเล็กๆกระจายอยู่ทั่วไปทำให้ได้คุณภาพของงานหล่อที่ต่ำ จะเห็น ได้ชัดเจนภายหลังนำเอาชิ้นงานไปกลึงหรือไสผิวออก



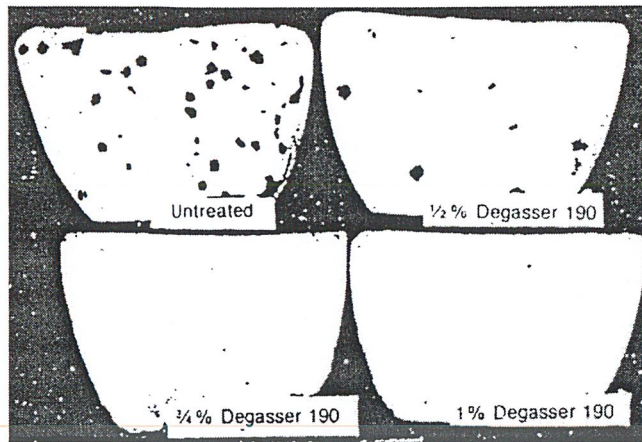
รูปที่ 2.4 Solubility of hydrogen in solid and liquid aluminium. [ 7 : P 59 ]

วิธีการกำจัดแก๊สไฮโดรเจนในทางปฏิบัติใช้แก๊สคลอรีนหรือแก๊สไนโตรเจนเป่าผ่านท่อลงไปที่ก้นเข้าทำให้เกิดเป็นฟอง(bubble) ที่ขึ้นมาที่ผิว ฟองของแก๊สคลอรีนหรือไนโตรเจนจะทำหน้าที่เป็นพาหนะนำเอาแก๊สไฮโดรเจนออกมาด้วย ในบางแห่งใช้อะลูมิเนียมคลอไรด์ ( $AlCl_3$ ) หรือเฮกซะคลอโรอีเทน( $C_2Cl_6$ ) ซึ่งเป็นของแข็ง กดลงใต้ผิวของโลหะอะลูมิเนียม จะทำให้เกิดฟองของแก๊สขึ้นมาทำหน้าที่ไล่แก๊สไฮโดรเจนได้เช่นเดียวกัน การกำจัดแก๊สไฮโดรเจนจะต้องกระทำก่อนเทลงแบบหล่อเล็กน้อยเมื่อได้แก๊สแล้วต้องรีบเทโลหะลงแบบหล่อ มิฉะนั้นอะลูมิเนียมอาจจะละลายแก๊สได้อีก ทำการทดสอบดูก่อนเพื่อให้แน่ใจว่าไม่มีแก๊สไฮโดรเจนเหลืออยู่ในน้ำโลหะอะลูมิเนียม การทดสอบจะกระทำได้โดยดักโลหะอะลูมิเนียมหลอมเหลวหลังจากการไล่แก๊สแล้วใส่ลงในเบ้าโลหะขนาดเล็ก นำเอาครอบแก้วที่มีท่อต่อไปยังเครื่องวัดคัม ดูอากาศสออกทำให้ครอบแก้วมีความดันต่ำกว่าบรรยากาศ เอาครอบแก้ววางครอบเบ้าโลหะอะลูมิเนียม เมื่อโลหะอะลูมิเนียมแข็งตัว ถ้ายังมีแก๊สไฮโดรเจนเหลืออยู่ แก๊สไฮโดรเจนจะถูกดูดโดยสุญญากาศ ทำให้ผิวด้านบนของโลหะอะลูมิเนียมในเบ้าฟูขึ้นมา แต่ถ้าไม่มีแก๊สไฮโดรเจนเหลืออยู่ในอะลูมิเนียมผิวหน้าของโลหะอะลูมิเนียมจะยุบตัวเป็นแอ่งลึก อุปกรณ์สำหรับวัดคัมทดสอบปรากฏดังภาพแสดง



รูปที่ 2.5 Foseco Porotec apparatus. [ 7 : P 61 ]

เอกสารนี้เป็นเอกสารที่สงวนไว้สำหรับการใช้งานเพื่อการศึกษาเท่านั้น ไม่อนุญาตให้นำไปใช้ประโยชน์ด้านการค้า ไม่ว่าจะกรณีใดๆ ทั้งสิ้น อีกทั้งห้ามมิให้ตัดแปลงเนื้อหา และต้องอ้างอิงถึงเจ้าของเอกสารทุกครั้งที่มีการนำไปใช้



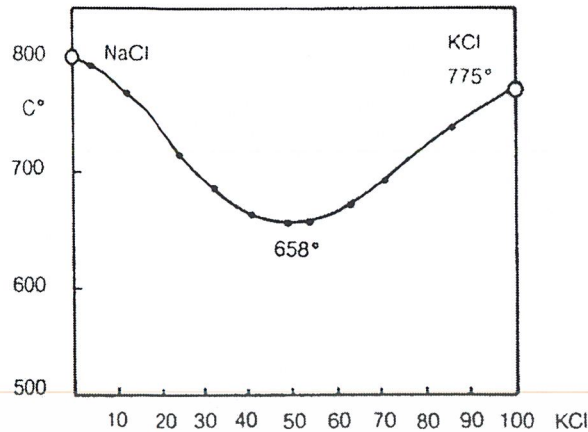
รูปที่ 2.6 Some Porotec samples. [ 7 : P 62 ]

### 2.3.2 การป้องกันและกำจัดอะลูมิเนียมออกไซด์(Dross)

จากที่ทราบว่าอะลูมิเนียมออกไซด์มีความถ่วงจำเพาะใกล้เคียงกับอะลูมิเนียมหลอมเหลวมากคือประมาณ  $2.6 \text{ g/cm}^3$  ทำให้อะลูมิเนียมออกไซด์สามารถลอยปะปนไปกับน้ำโลหะได้ง่าย ในขณะที่โลหะอะลูมิเนียมเหลวลงแบบหล่อ จะมีผลทำให้งานหล่อมีคุณภาพต่ำ คือมีผิวไม่เรียบ และความต้านทานแรงดึงต่ำ การแก้ไขปัญหาคือต้องกระทำทั้งการป้องกันไม่ให้เกิดหรือเกิดอะลูมิเนียมออกไซด์ให้น้อยที่สุด โลหะอะลูมิเนียมสามารถละลายอะลูมิเนียมออกไซด์ได้ระหว่าง 0.003-0.04%

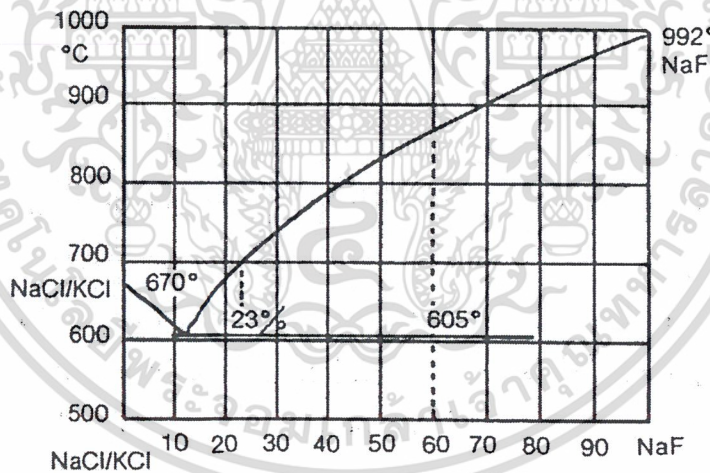
ปรกติอะลูมิเนียมสามารถรวมตัวกับออกซิเจนได้ง่ายมาก แต่ออกไซด์ของอะลูมิเนียมจะมีความแน่นที่บวมมาก ไม่ยอมให้ออกซิเจนซึมผ่านเข้าไปทำปฏิกิริยากับอะลูมิเนียมใต้ผิวของออกไซด์ได้ ดังนั้นอะลูมิเนียมออกไซด์ที่เกิดบริเวณผิวหน้าจะทำหน้าที่เป็นฟิล์มป้องกันการเกิดออกไซด์ได้เป็นอย่างดี ถ้าทำการหลอมโลหะอะลูมิเนียมด้วยวิธีธรรมดา การป้องกันการเกิดออกไซด์ทำได้โดยจะต้องไม่ตะต้องหรือกวนโลหะหลอมเหลว ทำให้ฟิล์มของอะลูมิเนียมออกไซด์ถูกทำลาย การเกิดออกไซด์ก็จะน้อยแต่เพื่อให้การป้องกันมีประสิทธิภาพมักจะใช้ฟลักซ์เข้าช่วย ซึ่งฟลักซ์ที่ใช้มี 3 ประเภทคือ

ฟลักซ์ปิดคลุมผิวหน้า(Covering fluxes) ทำหน้าที่ปกคลุมผิวหน้าของอะลูมิเนียมหลอมเหลวเอาไว้เป็นการป้องกันทั้งไม่ให้เกิดออกไซด์และการละลายของแก๊สไฮโดรเจน ฟลักซ์ชนิดนี้จะต้องมีจุดหลอมตัวต่ำกว่าจุดหลอมตัวของอะลูมิเนียมและมีความถ่วงจำเพาะต่ำกว่าด้วย ได้แก่ เกลือคลอไรด์ของโซเดียมและโพแทสเซียม (NaCl, KCl) ที่ส่วนผสมยูเทคติก (50%)จะมีจุดหลอมเหลว  $658^\circ\text{C}$  (ดังปรากฏในรูปที่ 2.7)



รูปที่ 2.7 Diagram of sodium chloride/potassium chloride mixtures. [ 7 : P 65 ]

ฟลักซ์ทำความสะอาด (Cleaning fluxes) ทำหน้าที่ป้องกันการเกิดออกไซด์ และช่วยให้ออกไซด์และสิ่งเจือปนอื่น (Suspended particle) ถูกจับติดกับฟลักซ์ทำให้สามารถกำจัดออกไซด์และกวาดสเลกออกได้ง่าย ฟลักซ์ชนิดนี้ประกอบด้วยเกลือของโซเดียมและโพแทสเซียมเช่นเดียวกันแต่จะผสมฟลูออไรด์ของโซเดียมเข้าไปด้วยทำให้มีจุดหลอมเหลวและความถ่วงจำเพาะต่ำลงไปอีก ดังแผนภูมิสมดุลที่แสดงระหว่างเกลือ NaCl + KCl กับ NaF



รูปที่ 2.8 Diagram of sodium chloride/potassium chloride/sodium fluoride mixtures. [ 7 : P 66 ]

ฟลักซ์ลดการสูญเสียอะลูมิเนียมที่ติดไปกับออกไซด์ (Drossing off fluxes) เป็นฟลักซ์ที่ทำหน้าที่ลดการสูญเสียอะลูมิเนียม ซึ่งส่วนใหญ่จะมีอะลูมิเนียมเป็นเม็ดเล็กๆ ปนอยู่กับออกไซด์ หรือ Dross ฟลักซ์ชนิดนี้จะให้ปฏิกิริยาเกิดความร้อน (Exothermic reaction) จำนวนหนึ่งพอที่จะทำให้เม็ดเล็กๆ ของอะลูมิเนียมละลายรวมตัวกันเป็นหยดและตกลงไปรวมกับอะลูมิเนียมหลอมเหลวในเบ้าหลอม ทำให้ลดการสูญเสียโลหะอะลูมิเนียมไปกับฟลักซ์ ซึ่งฟลักซ์ชนิดนี้จะผสมผงโซเดียมซัลเฟต ( $\text{Na}_2\text{SO}_4$ ) หรือ ไนเตรต ( $\text{Na}_2\text{NO}_3$ ) ซึ่งจะให้อะตอมของออกซิเจนไปรวมกับผงอะลูมิเนียมส่วนหนึ่งกลายเป็น  $\text{Al}_2\text{O}_3$  และให้ความร้อน

เอกสารนี้เป็นเอกสารที่สงวนไว้สำหรับการใช้งานเพื่อการศึกษาเท่านั้น ไม่อนุญาตให้นำไปใช้ประโยชน์ด้านการค้า ไม่ว่าจะกรณีใดๆ ทั้งสิ้น อีกทั้งห้ามมิให้ตัดแปลงเนื้อหา และต้องอ้างอิงถึงเจ้าของเอกสารทุกครั้งที่มีการนำไปใช้

### 2.3.3 การปรับปรุงคุณสมบัติขั้นสุดท้ายก่อนเทลงแบบหล่อ(Grain refinement)

อะลูมิเนียมเป็นโลหะที่มีช่วงในการแข็งตัวกว้าง(Long range freezing) จึงมักจะให้เกรนมีขนาดโต ทำให้เสียคุณสมบัติเชิงกล โดยเฉพาะตามบริเวณชิ้นงานที่มีความหนามากยิ่งขึ้นแบบหล่อทำด้วยทรายยังจะได้ขนาดของเกรนโตมากยิ่งขึ้น ความประสงค์ในการปรับปรุงคุณสมบัติขั้นสุดท้ายก่อนเทลงแบบ จึงต้องแก้ไขให้โลหะอะลูมิเนียมที่ได้มีขนาดเกรนเล็กและสม่ำเสมอ (equiaxed) การปรับปรุงดังกล่าวมีลักษณะที่สำคัญ 2 ประการคือ

1. การทำให้เย็นอย่างรวดเร็ว (rapid cooling rate) เป็นการลดช่วงของการเกิดการแข็งตัวให้สั้นที่สุด เพื่อไม่ให้โอกาสเกรนที่กำเนิดขึ้นมีการขยายตัววิธีนี้ใช้ได้ทั่วไป โดยการใช้โลหะเป็นแบบหล่อเช่นที่ใช้กันในการหล่อแบบใช้แรงดัน (die casting) หรือการหล่อโดยใช้แบบหล่อเป็นโลหะ (permanent mold)
2. โดยการผสมโลหะช่วยลดขนาดของเกรน(grain-refining) ซึ่งจะไม่ทำให้ส่วนผสมของโลหะอะลูมิเนียมเปลี่ยนไป โลหะที่จัดเป็น grain refiner ได้แก่ไทเทเนียม, โบรอน หรือเซอร์โคเนียมการผสมโลหะเหล่านี้จะกระทำก่อนการเทโลหะลงแบบเล็กน้อย ซึ่งไทเทเนียมหรือโบรอน จะรวมตัวกันให้สารประกอบ เช่น ไทเทเนียมโบไรด์ หรือสารประกอบเชิงโลหะอื่นๆ และสารประกอบเหล่านี้จะอยู่ในสภาพของแข็งลอยอยู่ในโลหะอะลูมิเนียมหลอมเหลว ซึ่งจะทำหน้าที่ให้กำเนิดนิวเคลียสเทียม (heterogeneous nucleus) แก่โลหะอะลูมิเนียม ทำให้ได้เกรนที่ละเอียดและสม่ำเสมอ

โลหะผสมหรือสารช่วยลดขนาดเกรน(Grain refiner) ที่ใช้กันทั่วไปจะอยู่ในรูปของฟลักซ์ เช่น โปแทสเซียมไทเทเนียมฟลูออไรด์ ( $K_2TiF_6$ ) และ โปแทสเซียมโบโรฟลูออไรด์ (KBF) เมื่อผสมลงไปโลหะอะลูมิเนียมหลอมเหลวจะเกิดปฏิกิริยาแยกตัวออก และจะให้ไทเทเนียม โบไรด์ในที่สุด

นอกจากสารช่วยลดขนาดเกรนจะอยู่ในรูปของฟลักซ์แล้ว ยังมีใช้กันในรูปของโลหะผสม (Hardener) ระหว่างอะลูมิเนียมกับธาตุที่เป็น grain refiner เช่น อะลูมิเนียมไทเทเนียม , อะลูมิเนียมโบรอน หรืออะลูมิเนียม-ไทเทเนียม-โบรอน ซึ่งจะมีไทเทเนียมไม่เกิน 5% และมีโบรอนไม่เกิน 2.5 และมีโบรอนไม่เกิน 2.5%

ปริมาณของสารช่วยลดขนาดเกรน(grain refiner) ที่ต้องการสำหรับ โลหะผสมอะลูมิเนียมต่างๆ ไปจะมีไทเทเนียมประมาณ 0.05-0.15% โบรอนประมาณ 0.04% หรือระหว่าง0.01-0.08%ไทเทเนียมและ 0.003%โบรอน ถ้าใช้ปริมาณของสารช่วยลดขนาดเกรนมากเกินไปจะเกิดข้อเสียตรงที่มีการแยกตัวโดยเฉพาะไทเทเนียม โบไรด์จะมีความหนาแน่น (Density) สูงกว่าอะลูมิเนียมจะแยกตัวตกตะกอนและจะอยู่ส่วนล่าง นอกจากนั้นไทเทเนียม โบไรด์มีความแข็งค่อนข้างสูง เมื่อเกิดการขัดสีกับแม่พิมพ์อาจจะทำให้อายุของแม่พิมพ์ โดยเฉพาะการอัดขึ้นรูป(extrusion die)สั้นลงมาก

## 2.4 คุณสมบัติทั่วไปของโลหะอะลูมิเนียม [ 6 : P128 – 137 ]

อะลูมิเนียมจัดเป็นโลหะที่มีน้ำหนักเบา มีความต้านทานต่อการเป็นสนิม มีความแข็งแรงอยู่ในเกณฑ์ปานกลาง แต่มีความเหนียวสูงสามารถนำไปใช้งาน ได้กว้างขวางแทนเหล็ก และทองแดงได้ในหลายๆ ด้านของงานวิศวกรรมและอุตสาหกรรม อะลูมิเนียมมีคุณสมบัติทางด้านหล่อหลอมที่ดี โดยมีอุณหภูมิหลอมเหลวต่ำ สามารถรวมตัวกับ โลหะอื่นๆ เป็นโลหะผสม ได้ง่ายมีความสามารถในการไหลอยู่ในเกณฑ์สูง สามารถหล่อหลอมได้ง่าย ข้อเสียของอะลูมิเนียมมีอยู่บ้างเหมือนกัน โดยเฉพาะอะลูมิเนียมมีขอบเขตการยืดหยุ่น(Elastic limit)ต่ำ ทำให้การใช้งานถูกจำกัดขอบเขตไปมาก

#### 2.4.1 คุณสมบัติทางฟิสิกส์

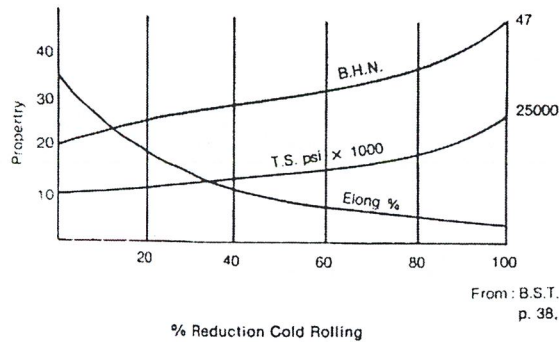
น้ำหนักอะตอม	26.97
ระบบผลึก	FCC(a=b=c=4.041Å)
ความหนาแน่น(20°C)	2.70 g/cm <sup>3</sup>
อุณหภูมิหลอมเหลว	658 °C
จุดเดือดกลายเป็นไอ(Boiling)	1800 °C
ความร้อนจำเพาะ(0-100°C)	0.2259 Cal/g °C
ความร้อนแฝงของการกลายหลอมละลาย	93 Cal/g
อัตราการหดตัวจากสภาพหลอมเหลว	6.6%
สัมประสิทธิ์การขยายตัว(20 °C)	23.8 10 <sup>-6</sup> /°C
ความต้านทานจำเพาะ(20 °C)	2.699 microhm.cm
สภาพตัวนำความร้อน(20 °C)	0.52 Cal.cm/cm <sup>2</sup> .°C.sec

#### 2.4.2 คุณสมบัติเชิงกล

ความแข็งแรง(Tensile Strength)	8-10 kg/mm <sup>2</sup>
พิกัดความยืดหยุ่น(Elastic limit)	3 kg/mm <sup>2</sup>
อัตราการยืดตัว(Percent Elongation)	40-45 %
ความแข็ง(Hardness)	16-20 H <sub>B</sub>
โมดูลัสของการยืดหยุ่น(Modulus of Elasticity)	7800 kg/mm <sup>2</sup>

#### 2.4.3 การใช้งานโลหะอะลูมิเนียม

เนื่องจากโลหะอะลูมิเนียม มีความต้านทานต่อการเป็นสนิม อันเนื่องมาจากฟิล์มของ Al<sub>2</sub>O<sub>3</sub> ที่เกิดจากการรวมตัวของอะลูมิเนียมกับออกซิเจน มีความเหนียวมากช่วยป้องกันมิให้ออกซิเจนสามารถแทรกซึมลงไปทำปฏิกิริยากับอะลูมิเนียมได้ฟิล์มของ Al<sub>2</sub>O<sub>3</sub> ได้ ทำให้โลหะอะลูมิเนียมเกิดภูมิคุ้มกันต่อการเป็นสนิมได้ด้วยตัวเอง (Passive state) และคุณสมบัติที่ยึดตัวได้ง่ายของอะลูมิเนียม จึงทำให้สามารถขึ้นรูปได้ง่าย ด้วยการรีดเป็นแผ่น หรืออัดขึ้นรูปให้มีรูปร่างได้สะดวก ทำให้การใช้งานอะลูมิเนียมมีขอบเขตกว้างขวางมาก เช่น ใช้ทำกรอบประตูหน้าต่าง ทำท่อ ทำเป็นเส้นลวดแทนลวดทองแดง เนื่องจากมีคุณสมบัติเป็นตัวนำไฟฟ้าที่ดี ปกติอะลูมิเนียมที่ใช้กันถึงแม้จะอยู่ในประเภทบริสุทธิ์ก็ตาม แต่ในทางปฏิบัติจะยอมให้มีโลหะเจือปนได้บ้าง โดยเฉพาะธาตุเหล็ก ซิลิกอน และทองแดงยอมให้มีได้ไม่เกิน 0.5% ซึ่งธาตุเจือปนเหล่านี้มีผลทำให้คุณสมบัติด้านความเหนียวและความต้านทานการกัดกร่อนลดลง การผ่านงานขึ้นรูปเย็นมีผลทำให้ความแข็งแรงเพิ่มมากขึ้นแต่จะทำให้ความเหนียวลดลงมาก ดังปรากฏในภาพแสดงผลของความแข็ง, ความแข็งแรง และอัตราการยืดตัว ที่มีต่อปริมาณการรีดเย็น (% Reduction Cold Rolling)



รูปที่ 2.9 Effect of Cold Working Upon Mechanical Properties [ 6 : P 130 ]

## 2.5 วัสดุที่มีคุณสมบัติเป็นฉนวน [ 5 : P 79 – 87 ]

เตาเผาและเตาถลุงในระยะแรกๆ ก่อสร้างด้วยอิฐทนไฟซึ่งทนไฟได้สูงและมีความแข็งแรงสูง แต่ผนังเตาทั้งสองแบบ ก่อนข้างหนา ทั้งนี้เพราะว่าอิฐทนไฟ ที่ผลิตจากดินทนไฟทั่วไปมีคุณสมบัติเป็นฉนวนไม่ดีนัก และรวมทั้งเกิดความกลัวการเผาวัสดุกรุผนังเตามากเกินไปอันเป็นผลเนื่องมาจากคุณภาพของอิฐก่อเตาด้านนอกออกมา มีคุณสมบัติเป็นฉนวนไม่ดี อย่างไรก็ดีเมื่อมีการเผาที่อุณหภูมิสูงมากขึ้น และราคาเชื้อเพลิงสูงขึ้นจึงมีการนำวัสดุฉนวนมาใช้ก่อสร้างเป็นส่วนหนึ่งของผนังเตา เพื่อให้ผนังเตามีคุณสมบัติเป็นฉนวนมากขึ้น วิธีการเช่นนี้ช่วยทำให้เกิดการก่อสร้างผนังเตาบางลง พร้อมกับทำให้การสูญเสียความร้อนน้อยลง ใช้พื้นที่และปริมาณวัสดุทนไฟในการก่อสร้างเตาน้อยลง และช่วยประหยัดเชื้อเพลิงเพราะว่าผนังเตาเก็บกักความร้อนไว้น้อยลง

การเกิดอิฐฉนวนทนไฟเป็นการเกิดการวิวัฒนาการที่ยิ่งใหญ่อันหนึ่งของวัสดุทนไฟ แต่การเกิดการพัฒนาวัสดุฉนวนทนไฟที่อุณหภูมิสูงก็ยังไม่เป็นการวิวัฒนาการที่ยิ่งใหญ่ไปกว่าการเกิดวิวัฒนาการความคิดที่ว่า การสร้างให้เกิดฉนวนกันความร้อนสามารถกระทำให้เกิดขึ้นได้ในผนังเตา วิธีการเช่นนี้ทำให้การออกแบบเตาเผาและเตาถลุงเปลี่ยนแปลงไปอย่างมากมาย ช่วยทำให้ผนังเตามีขนาดและน้ำหนักลดลงอย่างมากมาย ปัจจุบันผนังเตาที่มีความหนา 9" หรือ 4.5" มีใช้กันอย่างแพร่หลาย

อิฐฉนวนทนไฟสามารถใช้ได้กับอุณหภูมิสูงกว่า 3000°F

อิฐฉนวนทนไฟยังมีข้อดีกว่าอิฐทนไฟอีกอย่างหนึ่งคือ การเก็บกักความร้อนไว้ในผนังและหลังคาเตามี้น้อยกว่า จึงช่วยส่งเสริมให้เตาเผาแบบเผาเป็นครั้งคราวมีประสิทธิภาพสูงมากขึ้น

อิฐฉนวนทนไฟไม่ควรใช้กับขี้ดลูงหรือเนื้อแก้วที่เหลว เพราะว่ารูพรุนในอิฐจะถูกของเหลวแทรกเข้าไปอยู่ทำให้ค่าความเป็นฉนวนลดลง นอกจากนี้ อิฐฉนวนทนไฟไม่มีโครงสร้างที่เปราะ พรุน จะถูกกัดกร่อนได้ดี

### 2.5.1 คุณสมบัติต่างๆ

คุณสมบัติที่สำคัญมากอันหนึ่งของวัสดุฉนวนความร้อน ได้แก่ สภาพความนำความร้อน เพราะฉนวนความร้อนเมื่อใช้ที่ที่มีความร้อนสูงมากขึ้นจะมีปริมาตรมากขึ้นและสภาพนำความร้อนก็สูงขึ้นเช่นกัน

คุณสมบัติที่สำคัญอีกอันหนึ่งคือ ความสามารถในการเก็บกักความร้อนไว้ในตัว คุณสมบัตินี้โดยคร่าวๆ แล้วเป็นสัดส่วนโดยตรงกับความหนาแน่น ดังนั้นสำหรับเตาเผาชั่วคราวถ้าก่อสร้างด้วยอิฐเบาจะได้ประโยชน์อย่างแท้จริง

วัสดุฉนวนมีความทนทานต่อแรงกดและการขีดที่ต่ำกว่าอิฐทนไฟ แต่คุณสมบัตินี้ก็ไม่เป็นผลดีเฉพาะบางกรณีเท่านั้น ตัวอย่างเช่น การสร้างฉนวนระหว่างโครงเหล็กและปลอกของเตาเผาซีเมนต์ชนิดหมุนจะต้องไม่แตกสลาย เมื่ออยู่ภายใต้การสั่นสะเทือนและเกิดแรงเค้นตลอดเวลา นักอุตสาหกรรมควรจะได้รับคำปรึกษาเมื่อต้องมีการเลือกใช้อิฐฉนวนเพื่อใช้งานอย่างเช่นกรณีดังกล่าวมานี้

อิฐฉนวนทนไฟหลายชนิดแตกสลายเมื่อใช้งานในบรรยากาศของ ไฮโดรเจนในเตาดลุงโลหะบางชนิด อิฐที่ทนทานต่อปฏิกิริยาได้ดีควรเป็นอิฐที่ประกอบด้วย 95 %  $Al_2O_3$  และ 5 %  $CaO$  ไม่ควรมี  $SiO_2$  ,  $Fe_2O_3$  และ  $TiO_2$  เพราะว่าจะถูกรีดิวซ์ได้เมื่ออยู่ภายใต้สภาวะเช่นที่กล่าวมา

### 2.5.2 อิฐฉนวนกันความร้อน

อิฐฉนวนกันความร้อนคุณภาพเอชไอ ผลิตจากดินทนไฟคุณภาพสูงผสมกับวัสดุที่ใหม่ไฟซึ่งบดละเอียด มีคุณสมบัติในการนำความร้อนต่ำ มีการหดตัวน้อย มีการต้านทานการเปลี่ยนแปลงอุณหภูมิฉับพลันกะทันหันได้สูง และไม่มีการยุบตัวเนื่องจากปฏิกิริยาเคมีเหมาะสมสำหรับใช้ก่ออิฐทนไฟเพื่อกันความร้อนบริเวณที่มีอุณหภูมิสูง

### 2.5.3 อิฐฉนวนกันความร้อน เอชไอ

คุณสมบัติทางฟิสิกส์ :

ความหนาแน่น ( Bulk Densi) ( กรัม / ลบ.ซม. )	0.90
ความพรุนปรากฏ ( Apparent Porosity ) ( % )	55 - 65
กำลังต้านแรงบีบคั้นเมื่อเย็น ( Cold Crushing Strength ) ( กก. / ตร.ซม. )	30 - 40
ความเปลี่ยนแปลงตามยาวถาวร 2 ชั่วโมง ที่อุณหภูมิ 1300 °C ( % ) ( Permanent Linear Change 2 hour at 1300 °C )	- 0.5
ความทนไฟ ( Refractoriness ) ( เอสเค )	32
( °C )	1710
การต้านอุณหภูมิเปลี่ยนแปลงฉับพลันกะทันหัน ( Resistance to Thermal Shock )	สูง
ความทนไฟภายใต้น้ำหนักบรรทุก ( Refractoriness Under Load )	
$t_a$ ( °C )	1350
$t_b$ ( °C )	1500
การนำความร้อน ( Thermal Conductivity )	( กิโลแคลอรี / m.hr.°C )
อุณหภูมิกลาง 400 °C ( Mean Temperature ) 400 °C	( K.Cal. / m.hr.°C ) 0.38
อุณหภูมิกลาง 600 °C ( Mean Temperature ) 600 °C	( K.Cal. / m.hr.°C ) 0.43
อุณหภูมิกลาง 800 °C ( Mean Temperature ) 800 °C	( K.Cal. / m.hr.°C ) 0.48
อุณหภูมิกลาง 1000 °C ( Mean Temperature ) 1000 °C	( K.Cal. / m.hr.°C ) 0.53
ส่วนประกอบทางเคมี	
$Al_2O_3 + TiO_2$	( % ) 20
$SiO_2$	( % ) 75
$Fe_2O_3$	( % ) 1.5

เอกสารนี้เป็นเอกสารที่สงวนไว้สำหรับการใช้งานเพื่อการศึกษาเท่านั้น ไม่อนุญาตให้นำไปใช้ประโยชน์ด้านการค้าไม่ว่ากรณีใดๆ ทั้งสิ้น อีกทั้งห้ามมิให้ตัดแปลงเนื้อหา และต้องอ้างอิงถึงเจ้าของเอกสารทุกครั้งที่มีการนำไปใช้

## 2.5.4 ปูนทนไฟ

ปูนทนไฟเป็นตัวประสานระหว่างก้อนอิฐที่ใช้ในการก่ออิฐทนไฟ โรงงานอิฐทนไฟทำหลวผลิตปูนทนไฟ ทั้งชนิดแข็งตัวเมื่อได้รับความร้อน ( Heat Setting Mortar ) และแข็งตัวในอากาศ ( Air Setting Mortar ) และผลิตขึ้นเพื่อใช้กับอิฐทนไฟทุกชนิด ปูนทนไฟของโรงงานอิฐทนไฟทำหลวเป็นผงละเอียดและมีคุณสมบัติสม่ำเสมอเพื่อใช้ก่ออิฐทนไฟ โดยมีรอยต่อเชื่อมระหว่างก้อนอิฐที่บางและเกาะตัวแน่น การเลือกใช้ปูนทนไฟที่ถูกต้องเหมาะสมกับชนิดของอิฐทนไฟจะช่วยให้งานก่ออิฐมีคุณภาพดีสม่ำเสมอ และสามารถใช้งานได้นานกว่า

ปูนทนไฟชนิดแข็งตัวเมื่อได้รับความร้อนเป็นปูนทนไฟที่ต้องใช้ความร้อนที่อุณหภูมิสูง เพื่อให้เกิดการเชื่อมตัว ดังนั้นในระยะเริ่มอุ่นเตาเผาจะต้องยังไม่มี ความแข็งแรงเท่าใดนัก ฉะนั้นจึงเหมาะกับงานที่ต้องการยืดหยุ่นในขณะเริ่มอุ่นเตาเผาในระยะแรก

ปูนทนไฟชนิดแข็งตัวในอากาศเป็นปูนทนไฟที่ผสมสารเคมีพิเศษเพื่อเป็นตัวประสาน ปูนทนไฟชนิดนี้จะแข็งตัวอย่างรวดเร็วในขณะที่เริ่มอบได้ความชื้น หรือแม้แต่ที่อุณหภูมิของบรรยากาศปกติ การเชื่อมตัวระหว่างก้อนอิฐทนไฟนี้จะดำเนินเรื่อยไปจนกระทั่งเกิดการเชื่อมตัวอย่างสมบูรณ์ที่อุณหภูมิสูง ซึ่งจะทำได้งานก่ออิฐที่แข็งแรงตลอดระยะเวลาที่ใช้งาน

## 2.5.5 ข้อมูลทางเทคนิคสำหรับปูนทนไฟ

	คุณภาพสูง	คุณภาพต่ำ
ปริมาณอะลูมินา ( Al <sub>2</sub> O <sub>3</sub> Content ) ( % )	40 - 43	70 - 75
ขนาดเม็ดโคที่ที่สุด ( mm . ) ( Maximum grain size )	0.5	0.5
ชนิดของการก่อตัว ( type of set )	ด้วยความร้อน ( เอช เอ็ม เค ) ในอากาศ ( เอ เอ็ม เค )	ด้วยความร้อน ( เอช เอ็ม บี ) ในอากาศ ( เอช เอ็ม บี )
ความทนไฟ ( refractoriness )	( เอสเค ) 34 ( °C ) 1755	36 1850
จำนวนปูนทนไฟค่อน้ำหนักอิฐ ( Mortar required by weight of brick ) ( % )	6 - 10	8 - 12
ปริมาณน้ำที่ผสมค่อน้ำหนักปูนทนไฟ ( Water added by weight of refractory mortar ) ( % )	20	20
เฉพาะปูนทนไฟชนิดก่อตัวด้วยความร้อน ( Heat setting mortars only )		
การใช้งาน : ( Application )	สำหรับอิฐทนไฟ ที่มีอลูมินา ไม่เกิน 43 %	สำหรับอิฐทนไฟ ที่มีอลูมินา ระหว่าง 50 - 80 %

เอกสารนี้เป็นเอกสารที่สงวนไว้สำหรับการใช้งานเพื่อการศึกษาเท่านั้น ไม่อนุญาตให้นำไปใช้ประโยชน์ด้านการค้า ไม่ว่ากรณีใดๆ ทั้งสิ้น อีกทั้งห้ามมิให้ตัดแปลงเนื้อหา และต้องอ้างอิงถึงเจ้าของเอกสารทุกครั้งที่มีการนำไปใช้

### บทที่ 3

#### การออกแบบและการดำเนินงาน

##### 3.1 แผนการดำเนินงาน

งานที่ต้องดำเนินการ	2544							2545		
	มิ.ย.	ก.ค.	ส.ค.	ก.ย.	ต.ค.	พ.ย.	ธ.ค.	ม.ค.	ก.พ.	มี.ค.
1. ศึกษาและรวบรวมข้อมูล										
2. ออกแบบโครงสร้างเตาหลอม										
3. ติดตั้งและจัดซื้ออุปกรณ์										
4. สร้างเตาตามทีออกแบบไว้										
5. ทดสอบเตาหลอม										
6. ปรับปรุงและแก้ไข										
7. รวบรวมข้อมูลและสรุปผล										

##### 3.2 วัสดุทนไฟ [5: P 79-87]

เนื่องจากเตาหลอมนั้นมีอุณหภูมิ 1000 °c ดังนั้นวัสดุที่นำมาใช้สร้างเตาหลอมต้องใช้วัสดุทนไฟมาเป็นส่วนประกอบในการสร้าง วัสดุทนไฟที่จะนำมาใช้นั้นจะต้องมีคุณสมบัติที่ทนความร้อนได้สูง และยังสามารถรักษาคุณสมบัติทางกลไว้ได้ที่อุณหภูมิสูง ในทางการค้าแบ่งวัสดุทนไฟออกเป็น ดินทนไฟ(Fiercely), คอนกรีตทนไฟ (Costable), ปูนทนไฟ(Mortar), ซิลิกา (Silica), เบสิก (Basic) และ High Alumina ซึ่งรวมทั้งมัลไลต์ และ วัสดุทนไฟคอร์รันคัมเบส บางครั้งก็แบ่งตามคุณสมบัติทางเคมี ออกเป็น กรด,ด่าง และ กลาง

ชนิดกรด : ซิลิกา,ดินทนไฟ,เซอร์คอน และ เซอร์โคเนียม

ชนิดด่าง : แมกนีไซต์ และ โคโลไมท์

ชนิดกลาง : อลูมิน่า,โครม,คาร์บอน,ซิลิคอนคาร์ไบด์และมัลไลต์

ในการเลือกวัสดุทนไฟนอกจากคุณสมบัติทางกายภาพแล้ว ยังต้องพิจารณาคุณสมบัติทางเคมีด้วยว่า เมื่อขณะที่อุณหภูมิสูงนั้น สารต่างๆที่ประกอบอยู่ในวัสดุทนไฟจะเกิดออกซิเดชันออกมามีผลกับโลหะที่เราหล่ออยู่หรือไม่

##### 3.3 ฉนวนกันความร้อน[5: P 79-87]

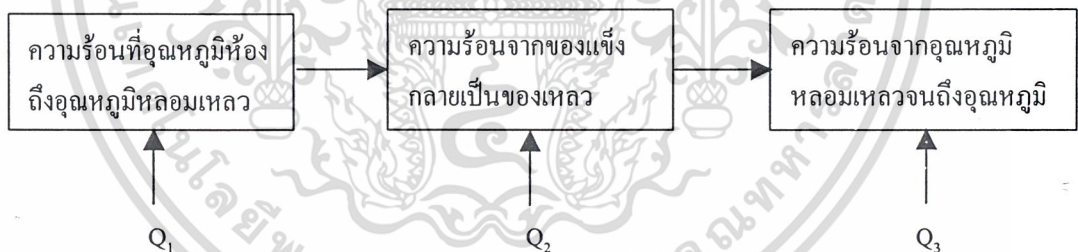
ฉนวนกันความร้อนที่ใช้จะเป็นฉนวนกันความร้อนแบบเซรามิคไฟเบอร์เพราะเป็นฉนวนกันความร้อนที่สามารถทนความร้อนได้สูงถึง1200 °C และมีน้ำหนักเบา ส่วนความหนาของฉนวนคือ 25 mm จะปิดทับอิฐ และมีโครงเตาภายนอกมาปิดทับอีกชั้นหนึ่งเพื่อความแข็งแรง คุณสมบัติของฉนวนแบบ เซรามิคไฟเบอร์ประเภทต่าง ๆ แสดงในตารางที่ 3.1

เอกสารนี้เป็นเอกสารที่สงวนไว้สำหรับการใช้งานเพื่อการศึกษาเท่านั้น ไม่อนุญาตให้นำไปใช้ประโยชน์ด้านการค้าไม่ว่ากรณีใดๆ ทั้งสิ้น อีกทั้งห้ามมิให้ตัดแปลงเนื้อหา และต้องอ้างอิงถึงเจ้าของเอกสารทุกครั้งที่มีการนำไปใช้

ตารางที่ 3.1 คุณสมบัติด้านเคมีของฉนวนกันความร้อน [5: P 80]

	Durablanket Hot Face	Durablanket	Duraback
Al <sub>2</sub> O <sub>3</sub>	52-53%	47.90%	37-43%
SiO <sub>2</sub>	46-47%	51.70%	55-60%
Fe <sub>2</sub> O <sub>3</sub>	0.06	0.04%	1.30%
TiO <sub>3</sub>	0.04	0.00%	Up to 1.7%
Leachable Chlorides	< 10 PPM	< 10 PPM	< 10 PPM
Alkali	0.30%	-	-
CaO	-	-	Up to 7.5%
MgO & other Trace Inorganic	0.01%	-	Up to 0.3%

3.4 การคำนวณหาพลังงานไฟฟ้าที่ใช้ [1: P 105 - 118]



กำหนด

อุณหภูมิหลอมเหลว 660°C

อุณหภูมิเท 900°C

Q = ปริมาณความร้อน (kcal)

K = Thermal Conductivity (kcal/mhC)

S = ความร้อนจำเพาะของอะลูมิเนียมมีค่า 0.2098 cal/gmC

L = ความร้อนแฝงของอะลูมิเนียมมีค่า 92.4 cal/gm

3.4.1 ความร้อนในการหลอมละลาย

$$Q = m(s\Delta T + L + st_p) \quad (3.1)$$

$$= 10[0.2096 \times (660-25) + 92.4 + 0.2096 \times (900-660)]$$

เอกสารนี้เป็นเอกสารที่สงวนลิขสิทธิ์ไว้สำหรับงานเพื่อการศึกษานี้เท่านั้น ไม่อนุญาตให้นำไปใช้ประโยชน์ด้านการค้า

ไม่ว่ากรณีใดๆ ทั้งสิ้น อีกทั้งห้ามมิให้คัดแปลงเนื้อหา และต้องอ้างอิงถึงเจ้าของเอกสารทุกครั้งที่มีการนำไปใช้

$$= 2758 \text{ kcal.}$$

### 3.4.2 ความสูญเสียที่เข้าหาลอมซิลิกอนคาร์ไบด์

$$Q = ms\Delta T \quad \text{เมื่อ } s \text{ คือค่าความร้อนจำเพาะของซิลิกอนคาร์ไบด์} \quad (3.2)$$

$$= 3 \times (0.32) \times (660-25+240)$$

$$= 840 \text{ kcal.}$$

### 3.4.3 กำลังที่ใช้ในการหลอมอะลูมิเนียม 10 kg.

ใช้เวลาในการหลอมประมาณ 90 นาที

$$\text{จาก} \quad P = Q/0.24t \quad (3.3)$$

$$\text{ดังนั้นจะได้} \quad P = 2758+840/(0.24 \times 60 \times 90)$$

$$= 2.776 \text{ kwatt.}$$

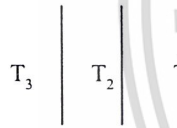
### 3.4.4 จำนวนหาความร้อนสูญเสีย (Heat loss)

ผนังที่ใช้มี 2 ส่วน คือชั้นในจะใช้อูฐทนไฟ มีค่า K = 0.21 หนา 76 mm. ส่วนผนังด้านนอกใช้ฉนวน มีค่า K =

0.27 หนา 25 mm.

กำหนด  $T_1$  ด้านในเตา =  $1000^\circ\text{C}$  ส่วน  $T_2$  ด้านนอกเตา =  $50^\circ\text{C}$

จาก  $Q = kA(\Delta T)$



25 76

$$\text{จะได้ } Q = 0.21 A(1000 - T_2) / 0.076 \quad \text{--- 1}$$

$$Q = 0.27 A(T_2 - 50) / 0.025 \quad \text{--- 2}$$

สมการ 1=2 จะได้

$$0.21 A(1000 - T_2) / 0.076 = 0.27 A(T_2 - 50) / 0.025$$

$$T_2 = 243.55^\circ\text{C}$$

กำหนด A = พื้นที่ผนังเตาด้านนอก

$$= 450 \times 460 \text{ mm}^2.$$

จะได้

$$Q = [0.21 \times 0.450 \times 0.460 \times (1000-243.55)] / 0.076$$

$$= 714.845 \text{ kcal/h.}$$

ใช้เวลา 90 นาที ดังนั้น

$$Q = 1.5 \times 714.845$$

$$= 1072.27 \text{ kcal.}$$

$$P_{\text{loss}} = 1072.27 / (0.24 \times 60 \times 90)$$

$$= 0.827 \text{ กิโลวัตต์}$$

$$\text{ผนังมีทั้งหมด 6 ด้าน ดังนั้น } P_{\text{loss}} = 0.827 \times 6$$

$$= 4.964 \text{ กิโลวัตต์}$$

เอกสารนี้เป็นเอกสารที่สงวนไว้สำหรับการใช้งานเพื่อการศึกษาเท่านั้น ไม่อนุญาตให้นำไปใช้ประโยชน์ด้านการค้า  
ไม่ว่ากรณีใดๆ ทั้งสิ้น อีกทั้งห้ามมิให้ตัดแปลงเนื้อหา และต้องอ้างอิงถึงเจ้าของเอกสารทุกครั้งที่มีการนำไปใช้

$$\begin{aligned} \text{กำลังที่ใช้ทั้งหมด} &= 2.776 + 4.964 \\ &= 7.74 \text{ กิโลวัตต์} \end{aligned}$$

เพื่อค่าความสูญเสียโดยจะใช้กำลังทั้งหมดประมาณ 10 กิโลวัตต์

### 3.5 การออกแบบขดลวดความต้านทาน [3: P 1-15]

#### 3.5.1 การคำนวณและการออกแบบขดลวดทำความร้อนชนิดกลม

สิ่งที่จะต้องทราบก่อนการคำนวณขดลวด คือ

1. อุณหภูมิภายในเตาที่ต้องการ
2. กำลังวัตต์ หรือกิโลวัตต์ที่ต้องการ
3. แรงเคลื่อนไฟฟ้าที่จะจ่ายให้กับเตา ( ทั้งแรงเคลื่อนและแรงเฟส )
4. พื้นที่ที่ใช้วางขดลวดความต้านทาน
5. คุณสมบัติของขดลวดความต้านทาน
6. คุณสมบัติของฉนวนและอิฐทนไฟ

เมื่อทราบทั้ง 6 หัวข้อแล้ว ขั้นตอนต่อไปจะต้องเลือกชนิดของขดลวดทำความร้อนว่าจะ

ใช้ชนิด Kanthal หรือชนิด Nikrothal โดยคุณสมบัติของขดลวดทั้ง 2 ชนิด จากตารางที่ 6 (ในภาคผนวก)

เมื่อได้ชนิดของขดลวดที่ต้องการแล้ว ขั้นตอนต่อไปจะต้องกำหนด Surface Load (  $W / cm^2$  ) ที่เหมาะสมสำหรับลักษณะและอุณหภูมิของเตา

Surface Load คือ กำลังวัตต์ที่ป้อนให้กับขดลวดความต้านทานชิ้นนั้น หากด้วยพื้นที่ผิวของขดลวดความต้านทานส่วนที่ให้ความร้อนจะได้ตัวเลขจำนวนหนึ่ง เลขจำนวนนั้นเรียกว่า Surface Load

$$\rho = P / A_c \tag{3.4}$$

เมื่อ

- |        |   |                                   |
|--------|---|-----------------------------------|
| $\rho$ | ; | Surface Load                      |
| $P$    | ; | กำลังวัตต์                        |
| $A_c$  | ; | พื้นที่ผิวเฉพาะส่วนที่ให้ความร้อน |

ในระบบเมตริกจะกำหนด Surface Load เป็นวัตต์ต่อตารางเซนติเมตร (  $W / cm^2$  ) แต่ระบบอื่น อาจเป็นวัตต์ต่อตารางนิ้ว (  $W / in^2$  )

อุณหภูมิบนขดลวดความต้านทานมีความสำคัญมากต่อขดลวดความต้านทานซึ่งจะมีผลให้ขดลวดความต้านทานมีอายุการใช้งานสั้น อุณหภูมิบนขดลวดความต้านทานจะกำหนดจาก Surface Load ของตัวมันเองและสภาพรอบๆ ขดลวดความต้านทานว่าจะระบายความร้อนออกจากตัวขดลวดความต้านทานได้ดีเพียงใด

ความจริงแล้วลวด Kanthal สามารถที่จะให้อุณหภูมิสูงกว่าลวด Nikrothal นั้นหมายถึงว่าลวด Kanthal สามารถกำหนดให้มี Surface Load ได้สูงกว่าลวด Nikrothal และอายุการใช้งานจะยืนนานกว่าหรือเท่ากัน

มีปัจจัยสำคัญอยู่ 3 ประการในการพิจารณา กำหนด Surface Load ของขดลวดความต้านทานใดๆก็ตามดังนี้ คือ

1. อุณหภูมิของผิวขดลวดความต้านทาน
2. รูปทรงของขดลวดความต้านทาน
3. กระแสที่ไหลผ่าน

ซึ่งทำให้ขดลวดความต้านทานระบายความร้อนออกจากตัวได้เร็วเท่าไร จะทำให้สามารถกำหนด Surface Load ได้สูงเท่านั้น ดังนั้น ขดลวดชนิด R.O.B. (Rod Over Bend) จึงเป็นชนิดที่สามารถให้ Surface Load ได้สูงที่สุดในขบวนการ ในทางกลับกันการพันขดลวดความต้านทานเป็นคอล์ย มีส่วนที่บังกัน ไม่สามารถจะระบายความร้อนได้ดี จึงไม่สามารถที่จะกำหนดให้มี Surface Load สูงๆได้ หรือจะเห็นว่าขดลวดความต้านทานพันเป็นขดบนท่อกระเบื้องจะมี Surface Load สูงกว่าขดลวดที่ฝังอยู่ในก้อนอิฐ

### 3.5.2 การหาขนาดของขดลวด

#### ก) การกำหนดขนาดเส้นผ่านศูนย์กลางของขดลวด

มีการคำนวณ 2 วิธี คือ

- คำนวณตามทฤษฎี
  - คำนวณโดยวิธีลัด
- ( ทั้ง 2 วิธี ให้ผลเช่นเดียวกัน )

การคำนวณตามทฤษฎีสามารถคำนวณได้จากสูตร  $P/V)^2 \rho C/p$

$$d = \frac{1}{2.91} \sqrt[3]{\frac{P}{E} \frac{2 \rho C t}{p}}$$

(3.5)

เมื่อ

- P ; กำลังวัตต์ ( Watts )
- E ; แรงเคลื่อนไฟฟ้า ( Volts )
- $\rho$  ; ความต้านทานจำเพาะของขดลวดความต้านทาน ( $\Omega \text{ mm}^2 / \text{m}^{-1}$ )
- C ; สัมประสิทธิ์ทางอุณหภูมิของขดลวดความต้านทาน
- P ; Surface Load ขดลวดของขดลวดความต้านทาน ( $\text{W} / \text{m}^2$ )

การคำนวณ

กำหนดให้

กำลังวัตต์	=	10,000	Watts
แรงเคลื่อนไฟฟ้า	=	220	Volts
ความต้านทานจำเพาะของ heater	=	1.39	
สัมประสิทธิ์ทางอุณหภูมิของ heater	=	1.06	
Surface load ของ heater	=	3.5	$\text{W}/\text{cm}^2$

แทนค่าลงในสูตร

$$d = \frac{1}{2.91} \sqrt[3]{\frac{3,333.33}{220} \frac{2 \cdot 1.39 \times 1.06}{3.5}}$$

(3.6)

เอกสารนี้เป็นเอกสารที่สงวนไว้สำหรับการใช้งานเพื่อการศึกษาเท่านั้น ไม่อนุญาตให้นำไปใช้ประโยชน์ด้านการค้า ไม่ว่ากรณีใดๆ ทั้งสิ้น อีกทั้งห้ามมิให้ตัดแปลงเนื้อหา และต้องอ้างอิงถึงเจ้าของเอกสารทุกครั้งที่มีการนำไปใช้

$$= 1.57 \text{ mm.}$$

$$= 1.5 \text{ mm.}$$

จากตาราง KANTHAL AF จะเห็นว่าลวดขนาด 1.5 mm. ใกล้เคียงที่สุด ควรเลือกใช้ขนาด 1.5 mm.

การคำนวณโดยวิธีลัดซึ่งจะได้ผลเช่นเดียวกัน กระทำได้คือการใช้พื้นที่ผิวของลวดและความต้านทานของลวดขณะเย็น จากข้อมูลทั้ง 2 อัน จะได้อัตราส่วนระหว่างพื้นที่ผิวต่อความต้านทาน ( $\text{cm}^2 / \Omega$ )

ถ้ากำหนดข้อมูลทางไฟฟ้าเราสามารถคำนวณหา ( $\text{cm}^2 / \Omega$ ) ได้ดังนี้

$$\boxed{\text{cm}^2 / \Omega = I^2 C_t / p} \quad (3.7)$$

เมื่อ

$I$  ; กระแสไฟฟ้าที่ผ่านขดลวดความต้านทาน ( Ampere )

$C_t$  ; สัมประสิทธิ์ทางอุณหภูมิของลวด

$P$  ; Surface Load (  $W / \text{cm}^2$  )

ถ้าคำนวณหา  $\text{cm}^2 / \Omega$  เราก็สามารถไล่จากตารางลวดเพื่อหาขนาดของลวดได้อย่างไรก็ตาม ขนาดลวดที่ได้ จะเหมาะสมหรือไม่ จะแล้วแต่ชนิดของเตา และลักษณะการใช้งานด้วย

ใช้ข้อมูลเช่นเดียวกับตัวอย่างการคำนวณทางทฤษฎีและก่อนจะใช้สูตร จะต้องคำนวณหากระแส ดัง

นี้

$$\begin{aligned} I &= P / E \\ &= 3,333.33 / 220 \\ &= 15.15 \text{ A} \end{aligned} \quad (3.8)$$

จากตาราง KANTHAL AF จะเห็นว่าค่า  $\text{cm}^2 / \Omega$  ที่ใกล้เคียงที่สุด นั่นคือ ลวดขนาด 1.5 mm. ที่ควรเลือกใช้

### 3.5.3 การคำนวณเพื่อออกแบบลวดชนิดขดเป็นคอยล์

หลังจากที่ได้กำหนดขนาดของลวดแล้ว ขั้นต่อไป จะต้องกำหนดความยาวของลวด เพื่อจะพันเป็นคอยล์ ขั้นแรก เราต้องคำนวณหาความต้านทานขณะเย็น แต่ก่อนที่จะคำนวณ เราต้องทราบความต้านทานของลวดขดลวดความต้านทานขณะร้อนก่อน คือ

$$\boxed{R_T = V^2 / P} \quad (3.9)$$

เมื่อ

$R_T$  ; ความต้านทานขณะลวดร้อน (อุณหภูมิใช้งาน)

$V$  ; แรงเคลื่อนไฟฟ้าที่จ่ายให้กับขดลวดความต้านทาน

$P$  ; กำลังวัตต์ของขดลวดความต้านทาน

จากตาราง KANTHAL AF จะเห็นว่ามิช้องบอกความต้านทานของลวดต่อความยาวของลวดขนาดต่างๆ ฉะนั้น ความยาวของลวดขณะเย็นก็คือ

$$L = \frac{R_{20}}{\Omega/m}$$

(3.10)

ตัวอย่าง ( ใช้รายละเอียดจากตัวอย่างการคำนวณทฤษฎี ที่กล่าวมาแล้ว )

กำหนดให้

$$P = 3,333.33 \text{ Watts}$$

$$V = 220 \text{ Volts}$$

เลือกลวดชนิด AF

$$\text{อุณหภูมิลวด} = 1,200^\circ \text{ C}$$

$$\text{สัมประสิทธิ์ทางอุณหภูมิ } C_t = 1.06$$

$$\text{Surface Load} = 3.5 \text{ W / cm}^2$$

ขนาดลวดที่คำนวณแล้ว คือ 1.5 mm.

$$R_t = \frac{(220)^2}{3333.33}$$

$$= 14.52 \Omega$$

ค่าของความต้านทานขณะเย็นหาได้จากสูตร

$$R_{20} = \frac{R_t}{C_t}$$

(3.11)

$$R_{20} = \frac{14.52}{1.06}$$

$$= 13.699 \Omega$$

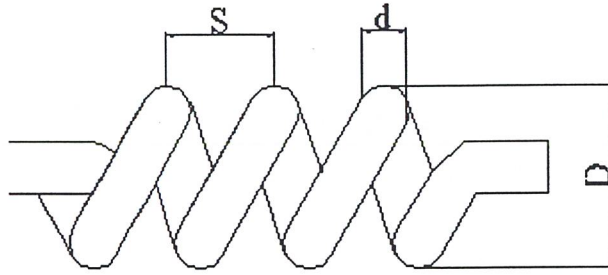
จากตาราง KANTHAL AF ค่าความต้านทานต่อความยาวของลวด 1.5 mm. คือ 0.787  $\Omega/m$ .

ความยาวของลวดที่จะต้องตัด คือ ( ยังไม่เผื่อปลายเพื่อต่อสายไฟ )

$$\text{Length} = 13.699/0.787$$

$$= 17.405 \text{ m.}$$

หลังจากที่กำหนดขนาดของเส้นผ่านศูนย์กลางแล้ว และได้ความยาวเรียบร้อยแล้วขั้นต่อไปจะต้องกำหนดขนาดของเส้นผ่านศูนย์กลางภายนอกของคอยล์ ดังรูปที่ 3.1



รูปที่ 3.1 แสดงการวัดขนาดต่างๆของขดลวด

- D ; ขนาดเส้นผ่านศูนย์กลางภายนอกของคอยล์
- d ; เส้นผ่านศูนย์กลางภายนอกของขดลวด
- S ; ระยะห่างระหว่างเกลียว

จากคู่มือ Kanthal AF ได้ให้ข้อแนะนำอัตราส่วนระหว่าง  $D/d$  สำหรับเตาอุตสาหกรรมที่อุณหภูมิต่างๆและลวดประเภทต่างๆดังนี้  
ลวดประเภท Kanthal

อุณหภูมิผิวลวด	วางในร่อง	พันกระบอก
ต่ำกว่า 1,000 °C	$D/d = 6$ ถึง $9$	12 ถึง 14
สูงกว่า 1,000 °C	$D/d = 5$ ถึง $8$	12 ถึง 14

การเลือกอัตราส่วนต่ำ จะทำให้ความเครียดในลวดสูง แต่ถ้าเลือกอัตราส่วนสูงจะทำให้ขดลวดล้มง่าย จากตัวอย่างที่กล่าวมาข้างต้น อัตราส่วนของ  $D/d$  (เพื่อหาขนาด  $D$ ) คือเลือกขนาด  $D/d=8$

$$\begin{aligned} \text{ดังนั้นจะได้ } D &= 8 \times 1.5 \\ &= 12 \text{ mm.} \end{aligned}$$

ตามความยาวของลวดที่คำนวณได้ จะคำนวณจำนวนรอบ ( $W$ ) ที่จะต้องพันได้ดังนี้

$$W = \frac{1,000 \times l}{\pi(D - d)} \tag{3.12}$$

$$\begin{aligned} W &= \frac{1000 \times 17.405}{\pi(12 - 1.5)} \\ &= 527.65 \text{ รอบ} \end{aligned}$$

ความยาวของขดลวดเมื่อชิดกัน

$$L_w = Wd \tag{3.13}$$

$$L_w = 527.65 \times 1.5$$

$$= 791.476 \text{ mm.}$$

เพื่อให้ระยะ pitch สม่าเสมอ ได้กำหนดอัตราส่วน  $s/d = 2-4$  เลือกใช้ค่า  $s = 2$

ความยาวลวดเมื่อยึดตามระยะ pitch แล้ว

$$L = L_w \times S$$

(3.14)

$S$  = ระยะห่างระหว่างขดต่อขด ซึ่งกำหนดได้จาก

$$S = d \times (2 \text{ ถึง } 4)$$

หรือ  $S$  จะต้องอยู่ระหว่าง 2 ถึง 4 เท่าของความโตเส้นผ่านศูนย์กลางลวด

$$L = 791.476 \times 2$$

$$= 1582.95 \text{ mm.}$$

ความยาวของเตาที่จจะร้อยลวด  $L_r = 200 \text{ mm.}$

$$\text{ดังนั้นจำนวนขดลวดที่ใช้} = 1582.95 / 200$$

$$= 7.914 \text{ ขด/เฟส}$$

ดังนั้นจะใช้ลวดประมาณ 8 ขด/เฟส

คำนวณค่าใหม่จะได้

$$L = 200 \times 8$$

$$= 1600 \text{ mm.}$$

$$L_w = 1600 / 2$$

$$= 800 \text{ mm.}$$

$$W = 800 / 1.5 = 533.33 \text{ รอบ}$$

$$\text{Length} = 533.33(12-1.5)\pi / 1000$$

$$= 17.59 \text{ m.}$$

ดังนั้น - จะใช้ขดลวด 8 ขด/เฟส

- ความยาวขดละ 200 มม.

- ค่าความยาวที่ยึดตามระยะ pitch แล้ว / 1เฟส คือ 1600 มม.

- 3 เฟส จะใช้ทั้งหมด 24 ขด

- ความยาวลวดที่ขดแล้วยึดตามระยะ pitch ทั้งหมด 4800 มม.

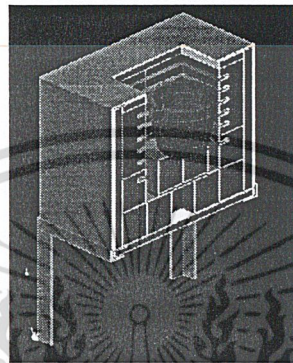
- ค่าความต้านทาน ต่อ 1 เฟส คือ  $14.52 \Omega$

- ปริมาณกระแสไฟฟ้า ต่อ 1 เฟส คือ 15.15 A.

เอกสารนี้เป็นเอกสารที่สงวนไว้สำหรับการใช้งานเพื่อการศึกษาเท่านั้น ไม่อนุญาตให้นำไปใช้ประโยชน์ด้านการค้า  
ไม่ว่ากรณีใดๆ ทั้งสิ้น อีกทั้งห้ามมิให้ตัดแปลงเนื้อหา และต้องอ้างอิงถึงเจ้าของเอกสารทุกครั้งที่มีการนำไปใช้

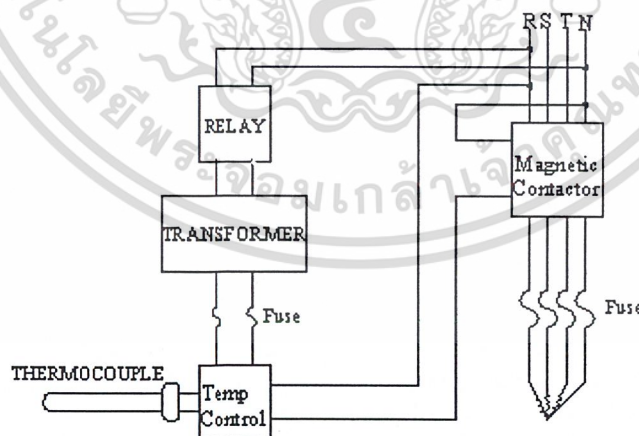
### 3.6 การออกแบบตัวเตาหลอม

เตาหลอมที่ออกแบบจะมีชั้นของฉนวน 2 ชั้น ชั้นที่หนึ่งคือ อิฐทนไฟซึ่งจะถูกเซาเป็นร่องเพื่อใส่ขดลวดต้านทาน ชั้นที่สองซึ่งเป็นชั้นฉนวนออกมาจะเป็น ceramic fiber ซึ่งชั้นของอิฐและ ceramic fiber จะถูกก่อก่ออยู่ในโครงที่ทำจากเหล็กฉากหนา 4 mm ทางด้านล่างของเตาจะเจาะรูไว้เพื่อไม่ให้แม่แรงยกเข้าหลอมขึ้นเหนือปากเตาได้ ส่วนตัวโครงสร้างของเตาจะใช้เหล็กแผ่นมาทำเป็นโครงสร้าง ปิดทับโครงอีกชั้นหนึ่ง ขาดังจะทำจากเหล็กฉาก ซึ่งรูปแบบที่ออกแบบแล้วแสดงดังรูปที่ 3.2



รูปที่ 3.2 ภาพของเตาหลอมที่ออกแบบ

### 3.7 การออกแบบวงจรไฟฟ้า



รูปที่ 3.3 วงจรไฟฟ้า

เมื่อเปิดสวิตช์รีเลย์จะทำงาน ทำให้ไฟ 220 V. ผ่านเข้าตัวควบคุมอุณหภูมิโดยผ่านการแปลงแรงดันผ่าน Transformer เหลือ 110 V. Thermocouple ที่ต่ออยู่กับ Them control ทำหน้าที่ตรวจสอบอุณหภูมิภายในเตาหลอม ถ้ายังเอกสารนี้เป็นเอกสารที่สงวนไว้สำหรับการใช้งานเพื่อการศึกษาเท่านั้น ไม่อนุญาตให้นำไปใช้ประโยชน์ด้านการค้า ไม่ว่าจะกรณีใดๆ ทั้งสิ้น อีกทั้งห้ามมิให้ตัดแปลงเนื้อหา และต้องอ้างอิงถึงเจ้าของเอกสารทุกครั้งที่มีการนำไปใช้

ไม่ได้อุณหภูมิตามที่ต้องการ Them control จะสั่งให้ สวิตช์แม่เหล็กไฟฟ้า(Magnetic contractor) ทำงานทำให้มีกระแสไฟฟ้าไหลเข้าสู่ขดลวดความต้านทาน เพื่อผลิตความร้อน เมื่ออุณหภูมิสูงขึ้นจนถึงอุณหภูมิที่ต้องการแล้วตัวควบคุมอุณหภูมิ จะหยุดสั่งงาน สวิตช์แม่เหล็กไฟฟ้าทำให้ตัดการจ่ายไฟให้กับขดลวดความต้านทาน

### 3.8 อุปกรณ์ที่ใช้ในการสร้างเตาหลอม

#### 3.8.1 ส่วนตัวเตาและฝาเตา

1. เหล็กฉากหนา 4 มม. ความกว้าง 1.5 นิ้ว
2. อิฐทนไฟ
3. ปูนทนไฟ
4. เซรามิกไฟเบอร์
5. ขดลวดความต้านทานขนาด 1.5 มม.
6. เหล็กแผ่น

#### 3.8.2 ส่วนฝาเตา

1. เหล็กฉากหนา 4 มม. ความกว้าง 1.5 นิ้ว
2. อิฐทนไฟ
3. ปูนทนไฟ
4. เซรามิกไฟเบอร์
5. ขดลวดความต้านทานขนาด 1.5 มม.
6. เหล็กแผ่น

#### 3.8.3 ส่วนชุดยก

1. แม่แรง
2. เพลากลม
3. คอนกรีตทนไฟ

#### 3.8.4 ส่วนชุดควบคุมและให้ความร้อน

1. กล่องไฟฟ้า ขนาด 25x35x15 ซม.
2. ตัวควบคุมอุณหภูมิ (Temp control)
3. สวิตช์แม่เหล็กไฟฟ้า
4. อุปกรณ์วัดอุณหภูมิ (Thermocouple)
5. รีเลย์
6. ฟิวส์
7. สวิตช์ฉุกเฉิน
8. สวิตช์เปิด-ปิด
9. สายไฟ
10. หางปลา
11. เทปพันสายไฟ

เอกสารนี้เป็นเอกสารที่สงวนไว้สำหรับการใช้งานเพื่อการศึกษาเท่านั้น ไม่อนุญาตให้นำไปใช้ประโยชน์ด้านการค้า ไม่ว่าจะกรณีใดๆ ทั้งสิ้น อีกทั้งห้ามมิให้ตัดแปลงเนื้อหา และต้องอ้างอิงถึงเจ้าของเอกสารทุกครั้งที่มีการนำไปใช้

### 3.9 ขั้นตอนการปฏิบัติงาน

1. เชื่อม โครงสร้างเตาและฐาน
2. เซาะร่องอิฐสำหรับร้อยขดลวดความต้านทาน
3. นำอิฐที่เซาะร่องเรียบร้อยแล้วมาก่อเป็นตัวเตา
4. ใส่ขดลวดความต้านทานตามร่องอิฐที่ได้เซาะไว้
5. ใส่เซรามิกไฟเบอร์
6. ติดตั้งแม่แรงสำหรับยกเบ้าหลอม
7. นำแผ่นเหล็กมาประกอกรอบตัวเตา
8. ทำฝาเตา(ซึ่งมีรูปแบบคล้ายตัวเตา)
9. ติดตั้งระบบควบคุมอุณหภูมิ
10. ทดสอบการทำงานของเตาหลอมอะลูมิเนียมไฟฟ้า
11. คบแต่ง



เอกสารนี้เป็นเอกสารที่สงวนไว้สำหรับการใช้งานเพื่อการศึกษาเท่านั้น ไม่อนุญาตให้นำไปใช้ประโยชน์ด้านการค้า  
ไม่ว่ากรณีใดๆ ทั้งสิ้น อีกทั้งห้ามมิให้ตัดแปลงเนื้อหา และต้องอ้างอิงถึงเจ้าของเอกสารทุกครั้งที่มีการนำไปใช้

## บทที่ 4

### ผลการดำเนินงาน

ขั้นตอนการทดลองและผลที่ได้จากการทดลอง โดยทำการทดลองขึ้นเพื่อหาประสิทธิภาพและความสามารถของเตาหลอม ซึ่งจะทำการหลอมอะลูมิเนียม 10 กิโลกรัม แล้วนำลงไปเทในแบบหล่อ หลังจากนั้นทำการหลอมอะลูมิเนียมเพิ่ม 10 กิโลกรัม โดยที่เบ้าแรกจะจับเวลาในขณะที่เบ้าเย็นจนกระทั่งอะลูมิเนียมหลอมละลายและถึงอุณหภูมิของอะลูมิเนียม เบ้าที่สองจะจับเวลาเมื่อเริ่มใส่อะลูมิเนียมและวัดอุณหภูมิขณะใส่อะลูมิเนียมเพื่อที่จะเปรียบเทียบว่าเบ้าที่สองใช้เวลาในการหลอมแตกต่างจากเบ้าแรกอย่างไร จากนั้นทำการบันทึกผลของการวัดอุณหภูมิกับเวลาเพื่อหาเวลาทั้งหมดที่จะให้ความร้อนแก่อะลูมิเนียมก่อนที่จะนำไปเทลงแบบหล่อ

#### 4.1 ขั้นตอนการทดลอง

##### 4.1.1 การเปิดเตาหลอมครั้งแรก

การทดลองครั้งแรกหลังจากสร้างเตาหลอมเสร็จ เพื่อตรวจสอบสภาพการทำงานเบื้องต้นของ วงจรควบคุม รวมถึงความบกพร่องต่างๆ เช่น การบิดตัวของขดลวดออกมาจากร่องอิฐฉนวนทนไฟหรือไม่ และ เป็นการไล่ความชื้นที่มีอยู่ภายในเตา โดยมีขั้นตอนการทดลองดังนี้

1. เปิดสวิตช์เตาหลอม ตั้งอุณหภูมิไว้ที่ 100 °C เมื่ออุณหภูมิสูงถึง 100 °C ทำการคงอุณหภูมิไว้ประมาณ 5 นาที
2. ตั้งอุณหภูมิไว้ที่ 200 °C เมื่ออุณหภูมิสูงถึง 200 °C ทำการคงอุณหภูมิไว้ประมาณ 5 นาที
3. ตั้งอุณหภูมิไว้ที่ 300 °C เมื่ออุณหภูมิสูงถึง 300 °C ทำการคงอุณหภูมิไว้ประมาณ 5 นาที
4. ปิดเตา

จากการทดลองตามขั้นตอนข้างต้น ผลที่ได้คือ มีน้ำเกาะอยู่บนปากเตา น้ำที่เกาะอยู่บนปากเตานี้ มาจากความชื้นที่ยังคงอยู่ในปูนทนไฟ ขณะทำการก่ออิฐ และมีควันลอยออกมาจากภายในเตาเนื่องจากเศษฝุ่นผงได้ถูกเผาไหม้

##### 4.1.2 การหลอมอะลูมิเนียมเบ้าแรก

1. ใส่อะลูมิเนียม น้ำหนัก 300 กรัม ลงในเบ้าหลอม
2. ทำการเปิดสวิตช์เตาหลอม โดยตั้งอุณหภูมิตอนแรกไว้ที่ 100 °C รอจนกระทั่งอุณหภูมิภายในเตาหลอมมีอุณหภูมิเท่ากับอุณหภูมิที่ตั้งไว้
3. ตั้งอุณหภูมิเพิ่มขึ้นหลังจากที่อุณหภูมิภายในเตามีค่าคงที่แล้ว ครั้งละ 100 °C จนถึง 800 °C
4. บันทึกการเปลี่ยนแปลงอุณหภูมิเทียบกับเวลา และทำการคงอุณหภูมิในช่วงอุณหภูมิต่างๆที่เพิ่มขึ้น
5. ในขณะที่อุณหภูมิถึงประมาณ 600-800 °C ทำการตรวจสอบอะลูมิเนียมในเบ้าหลอมว่ามีการเปลี่ยนแปลงอย่างไร

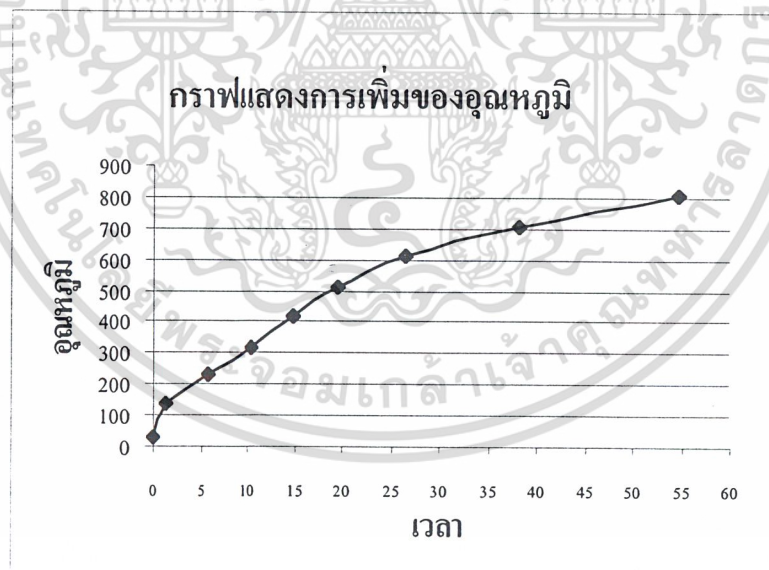
เอกสารนี้เป็นเอกสารที่สงวนไว้สำหรับการใช้งานเพื่อการศึกษาเท่านั้น ไม่อนุญาตให้นำไปใช้ประโยชน์ด้านการค้า ไม่ว่าจะกรณีใดๆ ทั้งสิ้น อีกทั้งห้ามมิให้ตัดแปลงเนื้อหา และต้องอ้างอิงถึงเจ้าของเอกสารทุกครั้งที่มีการนำไปใช้

6. เมื่ออะลูมิเนียมที่อยู่ในบ้ำหลอมละลายหมดแล้วใส่ผง slag remover ลงในบ้ำหลอม รอจนกระทั่ง slag รวมตัวกัน แล้วจึงทำการคัดออก

7. ยกบ้ำหลอมออกมาเพื่ออะลูมิเนียมลงสู่แบบหล่อที่เตรียมไว้

ตารางที่ 4.1 บันทึกผลการทดลองที่ 1

ช่วงอุณหภูมิ °C	เวลาที่ใช้ ( นาที )	อุณหภูมิที่ขึ้นไปสูงสุด °C	หมายเหตุ
35 - 100	1.35	139	คงอุณหภูมิไว้ 3 นาที
100 - 200	1.57	228	คงอุณหภูมิไว้ 3 นาที
200 - 300	1.52	320	คงอุณหภูมิไว้ 3 นาที
300 - 400	1.53	417	คงอุณหภูมิไว้ 3 นาที
400 - 500	1.58	514	คงอุณหภูมิไว้ 5 นาที
500 - 600	2.05	611	คงอุณหภูมิไว้ 10 นาที
600 - 700	1.57	709	คงอุณหภูมิไว้ 15 นาที
700 - 800	1.52	807	คงอุณหภูมิไว้ 20 นาที อลูมิเนียมจึงละลายหมด



รูปที่ 4.1 กราฟแสดงผลการทดลองที่ 1

เอกสารนี้เป็นเอกสารที่สงวนไว้สำหรับการใช้งานเพื่อการศึกษาเท่านั้น ไม่อนุญาตให้นำไปใช้ประโยชน์ด้านการค้า  
ไม่ว่ากรณีใดๆ ทั้งสิ้น อีกทั้งห้ามมิให้ตัดแปลงเนื้อหา และต้องอ้างอิงถึงเจ้าของเอกสารทุกครั้งที่มีการนำไปใช้

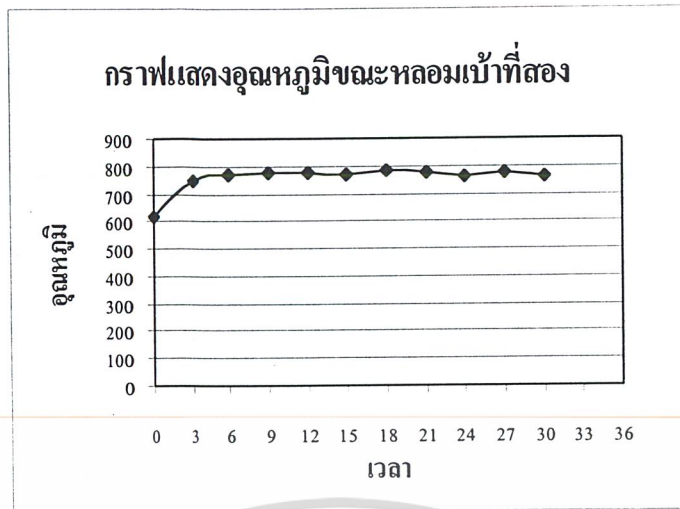
#### 4.1.3 การหลอมอะลูมิเนียมเข้าสอง

1. หลังจากหลอมอะลูมิเนียมเข้าแรกเสร็จและเทออกจากเบ้าหลอมใส่อะลูมิเนียม น้ำหนัก 300 กรัม ลงในเบ้าหลอม
2. ทำการเปิดสวิตช์เตาหลอม โดยตั้งอุณหภูมิตอนแรกไว้ที่ 770 °C
3. บันทึกการเปลี่ยนแปลงอุณหภูมิเทียบกับเวลา(จับเวลาทุกๆ 3 นาที) และทำการคงอุณหภูมิไว้ที่ 770 °C
4. ทำการตรวจสอบอะลูมิเนียมในเบ้าหลอมว่ามีการเปลี่ยนแปลงอย่างไรเทียบกับเวลา
5. เมื่ออะลูมิเนียมที่อยู่ในเบ้าหลอมละลายหมดแล้วใส่ผง slag remover ลงในเบ้าหลอม รอจนกระทั่ง slag รวมตัวกัน แล้วจึงทำการตักออก
6. ยกเบ้าหลอมออกมาเทอะลูมิเนียมลงสู่แบบหล่อที่เตรียมไว้

เมื่อทำการเปิดสวิตช์เตาหลอมอุณหภูมิในเตาหลอมมีค่า 615 °C แต่อุณหภูมิที่ตั้งไว้มีค่า 770 °C เนื่องจากหลังจากเทน้ำอะลูมิเนียมในเบ้าแรกแล้วความร้อนในเตาหลอมมีการระบายออกสู่บรรยากาศภายนอก

ตารางที่ 4.2 บันทึกผลการทดลองที่ 2

นาทีที่	อุณหภูมิ °C	หมายเหตุ
3	748	-
6	769	-
9	776	อะลูมิเนียมเริ่มละลาย
12	775	-
15	770	-
18	784	-
21	774	อะลูมิเนียมยังละลายไม่หมด
24	762	-
27	776	-
30	764	อะลูมิเนียมละลายหมด



**รูปที่ 4.2 กราฟแสดงผลการทดลองที่ 2**

ในการหลอมอะลูมิเนียมเบ้าสอง ใช้เวลาทั้งหมดประมาณ 30 นาที จะสังเกตเห็นว่าเวลาที่ใช้ในการหลอมอะลูมิเนียมลดลงประมาณ 60 % จากเวลาเดิม เนื่องเตาหลอมสามารถเก็บความร้อนจากการหลอมเบ้าแรกไว้ภายในเตาได้

#### 4.1.4 การหลอมอะลูมิเนียมเบ้าสอง(เพิ่มน้ำหนักของอะลูมิเนียมเป็น 2 เท่าจากเดิม)

1. หลังจากหลอมอะลูมิเนียมเบ้าแรกเสร็จและเทออกจากเบ้าหลอมใส่อะลูมิเนียม น้ำหนัก 600 กรัม ลงในเบ้าหลอม
2. ทำการเปิดสวิชเตาหลอม โดยตั้งอุณหภูมิคอนแรกไว้ที่ 770 °C
3. บันทึกการเปลี่ยนแปลงอุณหภูมิเทียบกับเวลา(จับเวลาทุกๆ 3 นาที) และทำการคงอุณหภูมิไว้ที่ 770 °C
4. ทำการตรวจสอบอะลูมิเนียมในเบ้าหลอมว่ามีการเปลี่ยนแปลงอย่างไรเทียบกับเวลา
5. เมื่ออะลูมิเนียมที่อยู่ในเบ้าหลอมละลายหมดแล้วใส่ผง slag remover ลงในเบ้าหลอม รอจนกระทั่ง slag รวมตัวกัน แล้วจึงทำการตักออก
6. ยกเบ้าหลอมออกมาเทอะลูมิเนียมลงสู่แบบหล่อที่เตรียมไว้

เมื่อทำการเปิดสวิชเตาหลอมอุณหภูมิในเตาหลอมมีค่า 615 °C แต่อุณหภูมิที่ตั้งไว้มีค่า 770 °C เนื่องจากหลังจากเทน้ำอะลูมิเนียมในเบ้าแรกแล้วความร้อนในเตาหลอมมีการระบายออกสู่บรรยากาศภายนอก

ตารางที่ 4.3 บันทึกผลการทดลองที่ 3

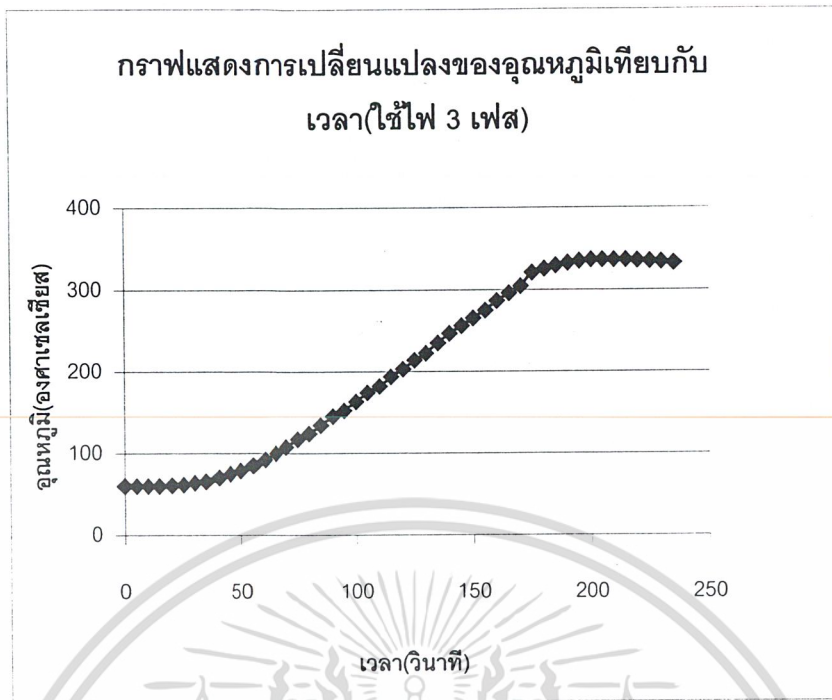
นาทีที่	อุณหภูมิ °C	หมายเหตุ
3	770	-
6	771	-
9	763	-
12	769	-
15	761	-
18	771	อะลูมิเนียมเริ่มละลาย
21	779	-
24	782	-
27	781	-
30	775	อะลูมิเนียมละลายหมด

ในการหลอมอะลูมิเนียมเข้าสอง ใช้เวลาทั้งหมดประมาณ 30 นาที จะสังเกตเห็นว่าเวลาที่ใช้ในการหลอมอะลูมิเนียมมีเวลาเท่ากับเวลาที่ใช้ในการหลอมอะลูมิเนียม 300 กรัม เนื่องจากอุณหภูมิหลอมเหลวของอะลูมิเนียมอยู่ที่ 660 °C ฉะนั้นไม่ว่าจะหลอมอะลูมิเนียมน้ำหนักขนาดใดก็ตาม (ไม่เกิน 10 กิโลกรัม) เวลาที่ใช้ในการหลอมจะไม่แตกต่างกันมากนัก

## 4.2 การทดลองหาอัตราการเพิ่มขึ้นของอุณหภูมิ

ตารางที่ 4.4 แสดงข้อมูลความสัมพันธ์ระหว่างอุณหภูมิกับเวลา (ใช้ไฟ 3 เฟส)

วินาทีที่	อุณหภูมิ °C	วินาทีที่	อุณหภูมิ °C
0	60	120	203
5	60	125	214
10	60	130	223
15	60	135	235
20	61	140	247
25	62	145	256
30	64	150	266
35	66	155	275
40	70	160	287
45	75	165	296
50	79	170	305
55	85	175	321
60	92	180	326
65	100	185	330
70	108	190	333
75	117	195	335
80	124	200	337
85	134	205	337
90	145	210	337
95	152	215	337
100	163	220	336
105	174	225	335
110	182	230	334
115	194	235	333



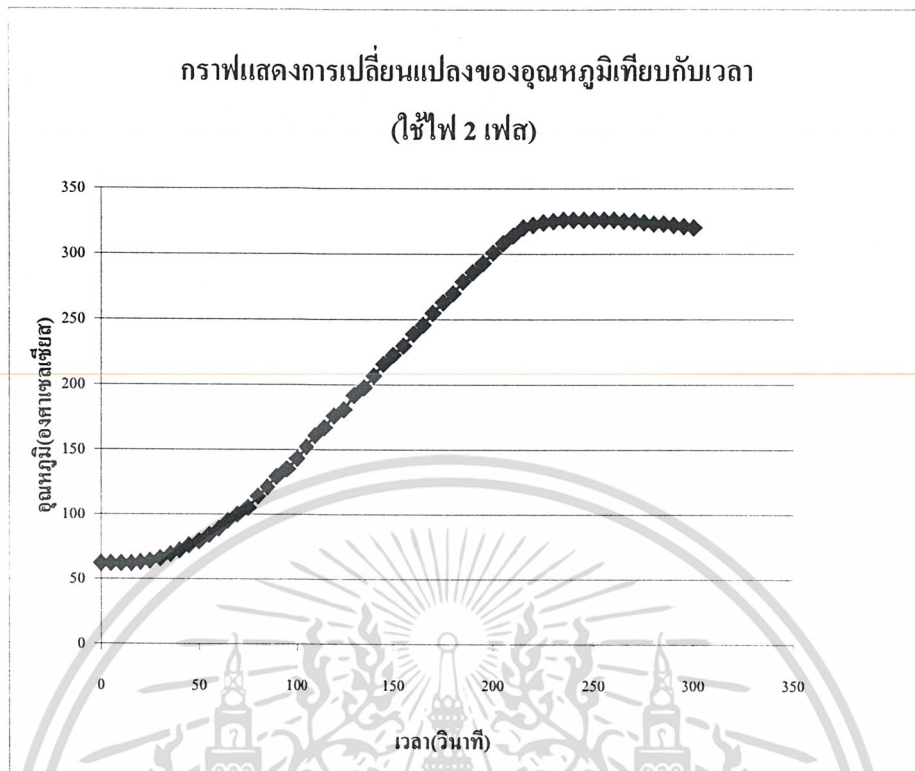
รูปที่ 4.3 กราฟแสดงการเปลี่ยนแปลงของอุณหภูมิเทียบกับเวลา (ใช้ไฟ 3 เฟส)

เอกสารนี้เป็นเอกสารที่สงวนไว้สำหรับการใช้งานเพื่อการศึกษาเท่านั้น ไม่อนุญาตให้นำไปใช้ประโยชน์ด้านการค้า  
ไม่ว่ากรณีใดๆ ทั้งสิ้น อีกทั้งห้ามมิให้ตัดแปลงเนื้อหา และต้องอ้างอิงถึงเจ้าของเอกสารทุกครั้งที่มีการนำไปใช้

ตารางที่ 4.5 แสดงข้อมูลความสัมพันธ์ระหว่างอุณหภูมิกับเวลา (ใช้ไฟ 2 เฟส)

วินาทีที่	อุณหภูมิ °C	วินาทีที่	อุณหภูมิ °C
0	62	155	230
5	62	160	239
10	62	165	246
15	62	170	255
20	63	175	263
25	64	180	270
30	66	185	279
35	69	190	286
40	72	195	293
45	76	200	301
50	79	205	308
55	84	210	314
60	89	215	320
65	95	220	322
70	100	225	324
75	105	230	325
80	114	235	326
85	121	240	326
90	129	245	326
95	135	250	326
100	143	255	326
105	152	260	326
110	161	265	325
115	167	270	325
120	176	275	324
125	181	280	323
130	192	285	323
135	198	290	322
140	207	295	321
145	216	300	320
150	223		

เอกสารนี้เป็นเอกสารที่สงวนไว้สำหรับการใช้งานเพื่อการศึกษาเท่านั้น ไม่อนุญาตให้นำไปใช้ประโยชน์ด้านการค้า  
ไม่ว่ากรณีใดๆ ทั้งสิ้น อีกทั้งห้ามมิให้ตัดแปลงเนื้อหา และต้องอ้างอิงถึงเจ้าของเอกสารทุกครั้งที่มีการนำไปใช้



รูปที่ 4.4 กราฟแสดงการเปลี่ยนแปลงของอุณหภูมิเทียบกับเวลา (ใช้ไฟ 2 เฟส)

จากกราฟรูปที่ 4.3 และ 4.4 จะเห็นว่า เมื่อจ่ายไฟ 2 เฟสให้กับเตาหลอมอลูมิเนียมไฟฟ้าจะใช้เวลาในการเพิ่มอุณหภูมิไปยังอุณหภูมิเป้าหมาย โดยใช้เวลามากกว่าการใช้ไฟ 3 เฟส

### 4.3 การหาประสิทธิภาพของเตาหลอมอะลูมิเนียมไฟฟ้า

การหาประสิทธิภาพของเตาหลอมอลูมิเนียมเพื่อที่จะทราบถึงความสามารถของเตาหลอมอลูมิเนียมไฟฟ้า ในการกักเก็บความร้อนไว้ภายในเตาทำให้เราทราบถึงการสูญเสียความร้อนภายในเตา วิธีในการหาประสิทธิภาพภายในเตาทำได้โดย

1. ทำการเปิดสวิตซ์เตาหลอมอลูมิเนียม ไฟฟ้าแล้วทำการเพิ่มอุณหภูมิจนกระทั่งอุณหภูมิภายในเตาหลอม มีอุณหภูมิ 900 °C ( ทำการเพิ่มอุณหภูมิครั้งละ 100 °C ตั้งแต่อุณหภูมิห้องจนกระทั่งถึง 900 °C )
2. คงอุณหภูมิที่ 900 °C
3. จับเวลาในช่วงที่ magnetic contractor ON ( จ่ายไฟให้กับขดลวดความต้านทาน ) และช่วงที่ magnetic contractor OFF ( ไม่จ่ายไฟให้กับขดลวดความต้านทาน )

จากการทดลองได้ผลการทดลองดังนี้

ตารางที่ 4.6 แสดงข้อมูลช่วงเวลาที่มี magnetic contractor ON และ OFF

ช่วงเวลาที่ magnetic contractor ON (วินาที)	ช่วงเวลาที่ magnetic contractor OFF (วินาที)
22	55
21	51
23	46
24	46
25	44
28	43
28	44
29	43
30	42
30	41
Total 260 วินาที	Total 455 วินาที

จากผลการทดลองข้างต้นทำให้สามารถหาประสิทธิภาพของเตาหลอมอลูมิเนียมไฟฟ้าได้ โดยอาศัยการหาการสูญเสียกำลังที่จ่ายให้กับเตาหลอมอลูมิเนียมไฟฟ้า

$$\text{การสูญเสียกำลัง (loss)} = \frac{\text{เวลาที่จ่ายกำลังไฟให้กับขดลวดความต้านทาน}}{\text{เวลารวมทั้งหมด}} \quad (4.1)$$

จากสูตรทำให้สามารถหาค่าที่สูญเสียได้ดังนี้

$$\begin{aligned} \text{กำลังที่สูญเสีย (loss)} &= \frac{260}{260 + 455} \\ &= 0.36 \end{aligned}$$

เนื่องจากการจ่ายกำลังไฟให้กับเตาหลอมอลูมิเนียมไฟฟ้า 10 กิโลวัตต์ ดังนั้นกำลังที่สูญเสียคือ 0.36 x 10 กิโลวัตต์ (3.6 กิโลวัตต์)

ประสิทธิภาพ (Efficiency) ของเตาหลอมอลูมิเนียมไฟฟ้าหาได้จาก

$$\begin{aligned} \text{ประสิทธิภาพ} &= 1 - \frac{\text{กำลังไฟฟ้าที่สูญเสีย(loss)}}{\text{กำลังไฟฟ้าที่จ่ายให้กับเตาหลอมอลูมิเนียมไฟฟ้า}} \quad (4.2) \\ &= 1 - \frac{3.6 \text{ กิโลวัตต์}}{10 \text{ กิโลวัตต์}} \\ &= 0.64 \text{ หรือ } 64 \% \end{aligned}$$

เตาหลอมอลูมิเนียมไฟฟ้ามีประสิทธิภาพ 64 %

## บทที่ 5

# สรุปและวิเคราะห์ผลการดำเนินงาน

### 5.1 สรุปผลการดำเนินงาน

การสร้างเตาหลอมอะลูมิเนียมไฟฟ้าจะแบ่งการทำงานออกเป็น 2 ส่วน คือ

#### 5.1.1 การศึกษาข้อมูล

การศึกษาข้อมูลนั้น จะต้องทำการศึกษาถึง

1. รูปแบบ โครงสร้าง และส่วนประกอบที่เกี่ยวข้องกับการสร้างเตาหลอมอะลูมิเนียมไฟฟ้า
2. คุณสมบัติของวัสดุที่เป็นส่วนประกอบของเตาหลอมอะลูมิเนียมไฟฟ้าทั้งในด้านของการทนความร้อน การเก็บกักอุณหภูมิ และค่าการนำความร้อน เช่น อิฐทนไฟ ปูนทนไฟ เซรามิก ไฟเบอร์ เป็นต้น
3. ปริมาณความร้อนที่ต้องการในการหลอมอะลูมิเนียม 10 กิโลกรัม โดยต้องคำนึงถึงความร้อนที่ใช้ในการหลอมละลาย และความร้อนที่สูญเสีย
4. กำลังไฟฟ้าที่จะจ่ายให้กับขดลวดความต้านทาน เพื่อให้สามารถหลอมอะลูมิเนียมได้
5. คุณสมบัติของขดลวดความต้านทานที่สามารถทนกำลังไฟฟ้าที่ต้องการ (ที่ได้จากการคำนวณ) เพื่อที่ขดลวดความต้านทานจะไม่เกิดความเสียหายเมื่อทำการจ่ายกำลังไฟฟ้าให้กับขดลวดความต้านทาน
6. ระบบควบคุมอุณหภูมิที่เหมาะสมกับการใช้งาน

#### 5.1.2 การสร้างเตาหลอมอะลูมิเนียมไฟฟ้า

หลังจากได้ทำการศึกษาข้อมูลในด้านต่างๆแล้วในส่วนของงานด้านการสร้างเตาหลอมอะลูมิเนียมไฟฟ้า ได้มีการหาวัสดุและอุปกรณ์ตามคุณสมบัติและลักษณะที่ได้ทำการศึกษามาข้างต้น จากนั้นนำวัสดุและอุปกรณ์มาสร้างและทำการประกอบตามรูปแบบและโครงสร้างที่ได้ออกแบบไว้ รวมถึงระบบการควบคุมอุณหภูมิภายในเตาหลอมอะลูมิเนียมไฟฟ้า

### 5.2 วิเคราะห์ผลการดำเนินงาน

จากการดำเนินงานตามแผนการดำเนินงานที่ได้กำหนดไว้ทำให้สามารถสร้างเตาหลอมอะลูมิเนียมไฟฟ้าที่หลอมอะลูมิเนียมได้ครั้งละ 10 กิโลกรัมและเสร็จตามเวลาที่ได้วางแผนไว้

### 5.3 ปัญหา,แนวทางพัฒนาและปรับปรุง

#### 5.3.1 ปัญหาที่เกิดขึ้น

1. โครงสร้างของตัวเตา

เกิดปัญหา คือ เมื่อทำการเชื่อมขาของตัวเตาแล้ว ขาไม่ตั้งฉากกับฐานของตัวเตา

เอกสารนี้เป็นเอกสารที่สงวนไว้สำหรับการใช้งานเพื่อการศึกษาเท่านั้น ไม่อนุญาตให้นำไปใช้ประโยชน์ด้านการค้า ไม่ว่ากรณีใดๆ ทั้งสิ้น อีกทั้งห้ามมิให้ตัดแปลงเนื้อหา และต้องอ้างอิงถึงเจ้าของเอกสารทุกครั้งที่มีการนำไปใช้

วิธีแก้ปัญหา คือ นำเหล็กมาตามแต่ละด้านเพื่อให้ขาของตัวเตามีความแข็งแรงและทำให้ขาตั้งฉากกับตัวเตามากขึ้น

## 2. การฉาบปูนเพื่อเชื่อมอิฐแต่ละก้อน

เกิดปัญหา คือ เมื่อทำการฉาบปูนลงบนอิฐแล้วไม่สามารถทำให้อิฐติดกันได้

วิธีแก้ปัญหา คือ เนื่องจากในตอนแรกที่ทำการฉาบปูนนั้นได้มีการทาน้ำลงบนอิฐทำให้อิฐดูดซับน้ำจนอิฐตัวฉาบปูนไม่สามารถติดกับเนื้ออิฐได้ รวมถึงเนื้อของปูนที่ทำการผสมนั้นไม่เป็นเนื้อเดียวกัน จึงได้สอบถามจากทางร้านขายอิฐทนไฟและปูนทนไฟว่า ในการฉาบปูนนั้นจะต้องผสมปูนให้เป็นเนื้อเดียวกันให้หมดและที่สำคัญคือ ไม่ต้องทาน้ำบนผิวอิฐ เมื่อทำตามคำแนะนำดังกล่าวแล้วทำให้อิฐสามารถติดกับปูนได้

## 3. ความยาวระหว่างขดลวดความต้านทาน

เกิดปัญหา คือ ทางร้านที่ขายขดลวดความต้านทานนั้นไม่ทำการพันขดลวดให้มีความยาวระหว่างขดตามที่ต้องการ(จากที่ต้องการ คือ ให้ขดลวดความต้านทาน มีความยาวระหว่างขด 5 ซม. แต่ทางร้านทำมาให้มีระยะห่างถึง 20 ซม.)

วิธีแก้ปัญหา คือ ทำการพันขดลวดเพิ่มเองด้วยมือ โดยใช้แท่งเหล็กเป็นแกนในการพันเพื่อให้ได้ขนาดตามที่ต้องการ

## 4. การใส่ เซรามิกไฟเบอร์ รอบตัวเตา

เกิดปัญหา คือ ไม่สามารถใส่ เซรามิกไฟเบอร์ ได้ เนื่องจาก เซรามิกไฟเบอร์ มีความนิ่มและยุบมากกว่ารวมถึงระยะระหว่างอิฐและตัวโครงสร้างมีขนาดพอดีกับความหนาของ เซรามิกไฟเบอร์ มาก

วิธีแก้ปัญหา คือ ตัด เซรามิกไฟเบอร์ แบ่งครึ่งแล้วใส่ทีละครึ่ง (ครึ่งบนและครึ่งล่าง)ทำให้สามารถใส่ เซรามิกไฟเบอร์ รอบตัวเตาได้

## 5. แม่แรงที่ต่อกับแท่งเหล็กไม่สามารถใส่เข้าไปในตัวเตาได้

เกิดปัญหา คือ เมื่อทำการทดลองนำแท่งเหล็กติดกับตัวแม่แรงแล้วทำการใส่เข้าทางด้านล่างของตัวเตาแต่ไม่สามารถใส่ขึ้นไปได้

วิธีแก้ปัญหา คือ จากที่ในตอนแรกจะทำการเชื่อมแท่งเหล็กเข้ากับตัวแม่แรงก็ได้เปลี่ยนเป็นใช้เหล็กประกบระหว่างแท่งเหล็กกับแม่แรงแล้วใช้น็อตเป็นตัวยึดทำให้สามารถใส่แท่งเหล็กจากด้านบนได้และทำการจับยึดแม่แรงได้

## 6. แม่แรงยกเข้าแล้ว โครงเคลง

เกิดปัญหา คือ เมื่อนำแม่แรงที่ต่อกับแท่งเหล็กแล้วดันเข้าหลอมขึ้น เบ้าหลอมจะเกิดการเอียงเนื่องจากอยู่ที่อยู่ใต้เตาหลอมนั้นมีขนาดใหญ่กว่าแท่งเหล็กที่ต่อกับแม่แรง

วิธีแก้ปัญหา คือ นำท่อเหล็กที่มีขนาดใกล้เคียงกับแท่งเหล็กที่ติดกับแม่แรง มาเชื่อมต่อกับแผ่นเหล็กแล้วนำไปติดไว้ที่ก้นเตาหลอม จะทำให้ในการยกเข้าหลอมขึ้นนั้น ท่อเหล็กจะเป็นตัวบังคับทิศทางของแท่งเหล็กที่ยกเข้าหลอมขึ้น

### 5.3.2 ข้อเสนอแนะ

จากปัญหาที่เกิดขึ้นข้างต้นทำให้ทราบถึงแนวทางในการสร้างเตาหลอมอะลูมิเนียมไฟฟ้าเพื่อไม่ให้เกิดปัญหาขณะสร้างเตาหลอมอะลูมิเนียมไฟฟ้าจึงควร

1. ก่อนจะทำโครงสร้างของตัวเตาควรมีการวัดขนาดอย่างละเอียดและในการประกอบ โครงสร้างควรทำด้วยความระมัดระวัง โดยเฉพาะในส่วนที่ต้องการความตึงฉากเนื่องจาก โครงสร้างถือเป็นส่วนที่สำคัญที่สุดในการสร้างเตาหลอมอะลูมิเนียม ไฟฟ้าเพื่อความสวยงามและคงทน
2. ควรทำความสะอาดอิฐทนไฟก่อนทำการก่อ
3. ในการใส่เซรามิกไฟเบอร์ควรทำการใส่ก่อนการก่ออิฐเพราะเซรามิกไฟเบอร์มีความนุ่มและยุ่ยมาก
4. ในการเจาะรูใต้เตาหลอมอะลูมิเนียมไฟฟ้า เพื่อให้แม่แรงสามารถยกเบ้าหลอมขึ้นนั้นควรเจาะรูให้พอดีกับขนาดของแม่แรงเพื่อไม่ให้เกิดความ โคร่งเครง
5. ในการเปิดเตาครั้งแรกควรมีการคงอุณหภูมิประมาณ 300 °C เพื่อให้ น้ำ หรือความชื้นที่อยู่ภายในตัวเตา ระเหยออกมา

### 5.3.3 แนวทางพัฒนาและปรับปรุง

1. สามารถใช้แนวทางในการปฏิบัติและวิธีการคำนวณเพื่อทำการประยุกต์ใช้สร้างเตาหลอมอะลูมิเนียม ไฟฟ้าที่มีขนาดต่างๆ ได้ รวมถึงยังสามารถประยุกต์ใช้ในระบบที่เกี่ยวข้องกับการ ใช้ความร้อน
2. ถ้าต้องการควบคุมอุณหภูมิให้มีความแม่นยำและละเอียดมากยิ่งขึ้นอาจ ใช้ระบบควบคุมที่เป็นแบบสัดส่วน(P controller) ,แบบอินทิกรัล(I controller) , แบบเดอริเวทีฟ(D controller) หรืออาจใช้ คอมพิวเตอร์มาช่วยในการควบคุม
3. ในการจะหลอมอะลูมิเนียมให้ได้ขนาดมากขึ้นอาจทำการเปลี่ยนเบ้าหลอมให้มีขนาดใหญ่ขึ้นแต่ต้องมี ขนาดเล็กกว่าปากเตา

## บรรณานุกรม

- [1] นักสิทธิ์ คูวัฒนาชัย , การถ่ายเทความร้อน,พิมพ์ครั้งที่ 3,ฟิลิปปินส์เซ็นเตอร์การพิมพ์,2531
- [2] กิตติ ตีรเศรษฐ,วิทยา ทิพย์สุวรรณพร,วิศวกรรมระบบควบคุม,พิมพ์ครั้งที่ 1
- [3] บริษัท แอสเสปสตีลส์ (ประเทศไทย)จำกัด,เอกสารประกอบการคำนวณขดลวด Kanthal
- [4] ห้างหุ้นส่วนจำกัด ไทย.เอส.เอส อัฐทนไฟ,เอกสารข้อมูลวัสดุทนไฟ
- [5] รศ.ปรีดา พิมพ์ขาวขำ , “ วัสดุทนไฟ (refractories)” , ภาควิชาวัสดุศาสตร์ คณะวิทยาศาสตร์ จุฬาลงกรณ์มหาวิทยาลัย , บริษัทสุรพิมพ์ จำกัด, 2538
- [6] รศ.มนัส สติรจินดา, “โลหะนอกกลุ่มเหล็ก” , โรงพิมพ์จุฬาลงกรณ์มหาวิทยาลัย
- [7] ดร.หริส สุตตะบุตร, ดร.เคนยิ จิยิอิวา, “หล่อโลหะ” ,บริษัทศูนย์การพิมพ์ดวงกมลจำกัด



เอกสารนี้เป็นเอกสารที่สงวนไว้สำหรับการใช้งานเพื่อการศึกษาเท่านั้น ไม่อนุญาตให้นำไปใช้ประโยชน์ด้านการค้า  
ไม่ว่ากรณีใดๆ ทั้งสิ้น อีกทั้งห้ามมิให้ตัดแปลงเนื้อหา และต้องอ้างอิงถึงเจ้าของเอกสารทุกครั้งที่มีการนำไปใช้



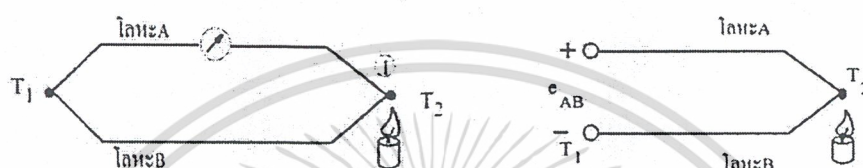
## ภาคผนวก

เอกสารนี้เป็นเอกสารที่สงวนไว้สำหรับการใช้งานเพื่อการศึกษาเท่านั้น ไม่อนุญาตให้นำไปใช้ประโยชน์ด้านการค้า  
ไม่ว่ากรณีใดๆ ทั้งสิ้น อีกทั้งห้ามมิให้ดัดแปลงเนื้อหา และต้องอ้างอิงถึงเจ้าของเอกสารทุกครั้งที่มีการนำไปใช้

## เทอร์โมคัปเปิล(Thermocouple)

### หลักการของเทอร์โมคัปเปิล

ในปี ค.ศ. 1821 โทมัส ซีเบ็ค (Thomus Seebeck) นักวิทยาศาสตร์ชาวเยอรมัน ได้ทำการทดลองและค้นพบว่า เมื่อทำการเชื่อมปลายโลหะ 2 เส้นที่เป็นโลหะต่างชนิดกันเข้าด้วยกัน ถ้าอุณหภูมิที่ปลายทั้งสองด้านไม่เท่ากันจะเกิดกระแสไหลในโลหะทั้งสองเส้น นั้นแสดงว่า ถ้าเปิดปลายจุดต่อด้านหนึ่งออกแล้วนำโวลต์มิเตอร์ไปวัด จะได้แรงเคลื่อนไฟฟ้าระหว่างโลหะ 2 เส้นค่าหนึ่ง (ค่านี้มีปริมาณน้อย หน่วยเป็น mV)เรียกแรงเคลื่อนไฟฟ้านี้ว่า Seebeck Voltage



รูปที่1 แสดง Seebeck Voltage

ปริมาณแรงเคลื่อนไฟฟ้าจะแปรผัน โดยตรงกับผลต่างอุณหภูมิของปลายจุดต่อทั้งสอง โดยมีความสัมพันธ์ดังนี้

$$e_{AB} = \Delta T$$

$e_{AB}$  : Seebeck voltage

: ค่าสัมประสิทธิ์ของ Seebeck มีหน่วยเป็น Volt / K

$\Delta T$  : ผลต่างอุณหภูมิของปลายจุดต่อทั้งสอง

### เทอร์โมคัปเปิลแบบมาตรฐาน

เทอร์โมคัปเปิลมีหลายชนิดให้เลือกแล้วแต่ย่านอุณหภูมิ และลักษณะการใช้งาน โดยความแตกต่างของแต่ละชนิดนี้เกิดจากการเลือกใช้คู่ของวัสดุ(Element)ของโลหะ ที่จะนำมาเชื่อมเข้าด้วยกัน ให้แตกต่างกัน เพราะโลหะแต่ละชนิดย่อมมีคุณสมบัติพิเศษเฉพาะตัวของมันอยู่แล้ว เมื่อนำโลหะชนิดต่างๆกันมาจับคู่เชื่อมเข้าด้วยกัน จะทำให้คุณสมบัติของเทอร์โมคัปเปิลที่ได้แตกต่างกันไป นอกจากนี้ได้มีการทดลองผสมโลหะต่างชนิดเข้าด้วยกัน เพื่อปรับปรุงคุณสมบัติของโลหะเดิมให้ดีขึ้น หรือเพื่อใช้แทนโลหะบางชนิดที่ใช้ทำอยู่เดิม เช่น แพลทินัม เนื่องจากมีราคาสูง ตัวอย่างโลหะผสมที่เกิดขึ้น เช่น โครเมล (Cromel) คือ โลหะผสมของนิกเกิล 90% และโครเมียม 10%, อลูเมล (Alumel) คือ โลหะผสมของทองแดง 95% อลูมิเนียม 2 % แมงกานีส 2%และซิลิคอน 1%,คอนสแตนแตน(Constantan) คือ โลหะผสมของทองแดง60% และนิกเกิล40% เป็นต้น

การใช้งานเทอร์โมคัปเปิล ควรเลือกใช้ให้ถูกต้องและเหมาะสมกับงานนั้นๆ โดยพิจารณามีหลายข้อ เช่น ค่าอุณหภูมิสูงสุดที่ใช้งาน,ราคา,ความถี่รบกวนของสารที่เทอร์โมคัปเปิลสัมผัส,ต้องใช้Thermowellหรือไม่,ลักษณะบรรยากาศที่เป็น Oxidizing, Reducing ,Inert หรือ Vacuum เป็นต้น

เอกสารนี้เป็นเอกสารที่สงวนไว้สำหรับการใช้งานเพื่อการศึกษาเท่านั้น ไม่อนุญาตให้นำไปใช้ประโยชน์ด้านการค้า ไม่ว่ากรณีใดๆ ทั้งสิ้น อีกทั้งห้ามมิให้ตัดแปลงเนื้อหา และต้องอ้างอิงถึงเจ้าของเอกสารทุกครั้งที่มีการนำไปใช้

ตารางที่ 1 แสดงคุณสมบัติเปรียบเทียบเทอร์โมคัปเปิ้ลแบบมาตรฐานชนิดต่าง

Type	ส่วนผสม	ย่านอุณหภูมิใช้งาน		แรงเคลื่อนไฟฟ้าที่ได้ mV
		°C	°F	
B	แพลทินัม - 30% โรเดียม	0 ถึง 1820	32 ถึง 3310	0 ถึง 13.814
R	แพลทินัม - 6 % โรเดียม แพลทินัม	-50 ถึง 1768	-60 ถึง 3210	-0.226 ถึง 21.108
S	แพลทินัม - 10 % โรเดียม แพลทินัม	-50 ถึง 1768	-60 ถึง 3210	-0.236 ถึง 18.698
J	เหล็ก/คอนสแตนแตน	-210 ถึง 760	-350 ถึง 1400	-8.096 ถึง 42.922
K	โครเมล/อะลูเมล	-270 ถึง 1372	-450 ถึง 2500	-6.458 ถึง 54.875
T	ทองแดง/คอนสแตนแตน	-270 ถึง 400	-450 ถึง 750	-6.258 ถึง 20.869
E	โครเมล/คอนสแตนแตน	-270 ถึง 1000	-450 ถึง 1830	-9.835 ถึง 76.358

ตารางที่ 2 แสดงสภาวะแวดล้อมในการใช้งานเทอร์โมคัปเปิ้ลแบบมาตรฐานโดยไม่ต้องใช้ Protecting Tube

ความเหมาะสมในการใช้งาน							
TC TYPE	บรรยากาศ Oxidizing	บรรยากาศ Reducing	บรรยากาศ Inert	Vacuum	บรรยากาศ Sulferous	อุณหภูมิ < 0 °C	มีไอของโลหะ
B	ได้	ไม่ได้	ได้	ได้ในช่วงสั้นๆ	ไม่ได้	ไม่ได้	ไม่ได้
R	ได้	ไม่ได้	ได้	ไม่ได้	ไม่ได้	ไม่ได้	ไม่ได้
S	ได้	ไม่ได้	ได้	ไม่ได้	ไม่ได้	ไม่ได้	ไม่ได้
J	ได้	ได้	ได้	ได้	ไม่ได้ถ้า > 500 °C	ไม่ได้	ได้
K	ได้*	ไม่ได้	ได้	ไม่ได้	ไม่ได้	ได้	ได้
T#	ได้	ได้	ได้	ได้	ไม่ได้	ได้	ได้
E	ได้	ไม่ได้	ได้	ไม่ได้	ไม่ได้	ได้	ได้

\* ใช้งานได้ดีกว่าแบบ E, J และ T เมื่ออุณหภูมิ > 550 °C

# โดยเฉพาะกับอุณหภูมิ < 0 °C

Oxidizing : กระบวนการทางเคมีที่ดึงออกซิเจนจากภายนอกเข้าไปทำปฏิกิริยากับสารนั้น

Reducing : กระบวนการทางเคมีที่ออกซิเจนถูกดึงออกจากสารนั้นเพื่อไปทำปฏิกิริยากับสารภายนอก

Vacuum : ค่าความดันที่ต่ำกว่าบรรยากาศจนถึงสภาวะสุญญากาศ

Inert : สภาวะเฉื่อยที่ไม่เกิดปฏิกิริยาเคมี

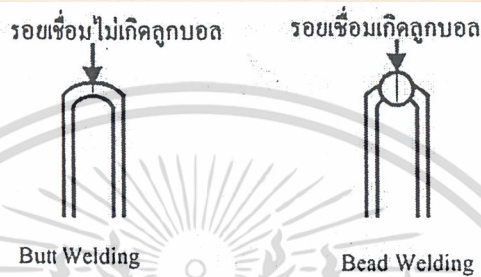
เอกสารนี้เป็นเอกสารที่สงวนไว้สำหรับการใช้งานเพื่อการศึกษาเท่านั้น ไม่อนุญาตให้นำไปใช้ประโยชน์ด้านการค้า ไม่ว่ากรณีใดๆ ทั้งสิ้น อีกทั้งห้ามมิให้ตัดแปลงเนื้อหา และต้องอ้างอิงถึงเจ้าของเอกสารทุกครั้งที่มีการนำไปใช้

## ส่วนประกอบของเทอร์โมคัปเปิ้ล

### - ตัวเทอร์โมคัปเปิ้ล

การเชื่อมหัวเทอร์โมคัปเปิ้ล ที่ด้าน T<sub>1</sub> มีความสำคัญมาก ต้องเชื่อมให้ถูกต้องตามหลักการ เพื่อให้ได้การวัดแม่นยำ และมีอายุการใช้งานยาว การเชื่อมหัวเทอร์โมคัปเปิ้ล มีการแบ่งตามขนาดของลวดดังนี้

1. ลวด โคที่มีขนาดพื้นที่หน้าตัดตั้งแต่ประมาณ 2 ตร.มม. ขึ้นไป ใช้เครื่องเชื่อมแบบใช้มือธรรมดาโดยมีก๊าซอาร์กอนซึ่งเป็นก๊าซเฉื่อยไม่ทำปฏิกิริยาเคมีกับสารโคชนิดปกคลุมบริเวณเชื่อมเพื่อไม่ให้เกิด Oxide ขึ้นตรงรอยต่อของลวด เรียกว่าการเชื่อมแบบ Butt ซึ่งง่ายกว่าการเชื่อมลวดขนาดเล็ก



รูปที่ 2 รอยเชื่อมแบบ Butt และ Bead

2. ลวดที่มีพื้นที่หน้าตัดเล็กกว่า 2 ตร.มม. การเชื่อมด้วยมือจะมี Human Error (ความผิดพลาดจากคนทำ) ได้มาก เพราะขึ้นกับทักษะ และสมาธิ ซึ่งต้องผ่านการฝึกฝนมาอย่างดี จึงควรใช้เครื่องจักรอัตโนมัติเชื่อมเพื่อให้เกิดรอยต่อที่สนิท, สมมาตร และ ไม่มีค่าความผิดพลาดเกิดขึ้นได้ การเชื่อมลวดขนาดเล็กเรียกว่าการเชื่อมแบบ Bead Welding ซึ่งเครื่องจักรอัตโนมัติจะเชื่อมให้เกิดรอยต่อที่เป็นลูกบอลครึ่งลูก 2 ชิ้น เชื่อมต่อกันสนิทตลอดรอยต่อดังรูปที่ 3



<p>(a) การเชื่อมโดยใช้เครื่องจักรอัตโนมัติระยะห่างระหว่างลวดทั้งสองและระยะจากหัวเชื่อมเท่ากันทุกครั้งที่ทำให้รอยเชื่อมเกิดลูกบอลติดสนิทและสมมาตรกันทำให้วัดได้แม่นยำและอายุการใช้งานนานกว่า</p>	<p>(b) การเชื่อมโดยใช้มือไม่แน่นอน รอยเชื่อมอาจจะไม่ติดสนิท ไม่สมมาตรอายุการใช้งานสั้นและค่าผิดพลาดมากกว่า</p>
---	--

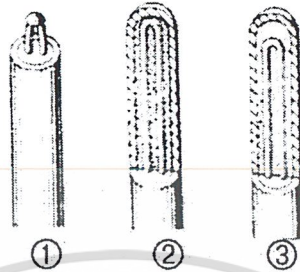
หมายเหตุ เทอร์โมคัปเปิ้ลของ  ที่มีลวดขนาดเล็ก จะเชื่อมด้วยเทคโนโลยีเครื่องจักรอัตโนมัติเสมอ

รูปที่ 3 รอยเชื่อมที่เกิดจากการเชื่อมที่ต่างกัน

เอกสารนี้เป็นเอกสารที่สงวนไว้สำหรับการใช้งานเพื่อการศึกษาเท่านั้น ไม่อนุญาตให้นำไปใช้ประโยชน์ด้านการค้าไม่ว่ากรณีใดๆ ทั้งสิ้น อีกทั้งห้ามมิให้ตัดแปลงเนื้อหา และต้องอ้างอิงถึงเจ้าของเอกสารทุกครั้งที่มีการนำไปใช้

#### - Metal Sheath

เพื่อให้เทอร์โมคัปเปิลมีความเรียบร้อยแข็งแรง พร้อมในการใช้งาน คู่สายของเทอร์โมคัปเปิลจะประกอบอยู่ใน Metal Sheath โดยลักษณะการประกอบตัวเทอร์โมคัปเปิลเข้ากับ Metal Sheath มี 3 วิธีดังนี้



รูปที่ 4 ลักษณะการประกอบตัวเทอร์โมคัปเปิลเข้ากับ Metal Sheath

1. แบบเปลือย (Exposed junction) ให้ผลการวัดไวที่สุด (Minimum response Time) จุดต่อสำหรับวัดสัมผัสกับของเหลวที่ต้องการวัดโดยตรง ผลเสียของแบบเปลือย คือ ชำรุดเสียหายง่ายและอายุการใช้งานสั้น ไม่เหมาะสำหรับงานความดันสูงหรือของเหลวที่มีการกลั่นตัว
2. แบบ Grounded Junction สายคู่ของเทอร์โมคัปเปิลที่เชื่อมติดกัน จะถูกเชื่อมต่อกับส่วนปลายท่อโลหะของ Metal Sheath อีกทีหนึ่ง สามารถใช้ได้กับของเหลวที่เป็นสารกัดกร่อน ให้ผลการตอบสนองต่ออุณหภูมิไวกว่าแบบ Ungrounded Junction แต่มีข้อเสียคือ ถ้ามีกระแสไฟรั่วจากอุปกรณ์อื่นมาที่ Metal Sheath จะทำให้ค่าวัดอุณหภูมิผิดพลาดได้
3. แบบ Ungrounded Junction ใช้ได้กับของเหลวที่เป็นสารกัดกร่อน มีอายุการใช้งานยืนยาวที่สุด แต่มีข้อเสียคือ ให้ผลการวัดช้า เหมาะกับงานที่อุณหภูมิไม่ค่อยเปลี่ยนแปลง ในงานอุตสาหกรรมจะใช้แบบนี้เกือบทั้งหมด

สำหรับ Metal Sheath ที่เป็น Ceramic นั้นมักจะใช้ในกรณีที่อุณหภูมิการใช้งานสูง เช่น 800 °C ขึ้นไป หรือในบรรยากาศที่มีการกัดกร่อนสูง

ซีทเทอร์โมคัปเปิล (Sheath Thermocouple) คือ เทอร์โมคัปเปิลที่ตัว Metal Sheath ผลิตสำเร็จรูปมาพร้อมกับตัวสายเทอร์โมคัปเปิลเลย จึงทนอุณหภูมิได้สูงกว่าแบบธรรมดา เพราะฉนวนไฟฟ้าที่อยู่ระหว่างขดลวดเทอร์โมคัปเปิล กับ Metal Sheath จะถูกบีบอัดแน่นกว่าปรกติหลายเท่า ท่อ Metal Sheath มักจะทำจากโลหะเหนียวและยืดหยุ่น สามารถดัดท่อองได้ตามความเหมาะสมกับงาน

#### - ฉนวนของเทอร์โมคัปเปิล

เป็นส่วนที่ใช้กั้นระหว่างตัวเทอร์โมคัปเปิล กับ Metal Sheath ส่วนใหญ่จะเป็นสารประเภทแมกนีเซียมออกไซด์, อลูมิเนียมออกไซด์ หรือเบอริลเลียมออกไซด์

#### - Thermowell

เป็นอุปกรณ์เสริมใช้ป้องกันไม่ให้เทอร์โมคัปเปิล สัมผัสกับสารที่ต้องการวัดอุณหภูมิโดยตรง เช่น สารที่กัดกร่อน, มีความดันสูง หรือในบางกรณี ที่ต้องการถอดตัวเทอร์โมคัปเปิลเพื่อซ่อมบำรุง โดยไม่รบกวนการทำงานของระบบ จำเป็นต้องใช้ Thermowell เป็นตัวกลางด้วยเช่นกัน

เอกสารนี้เป็นเอกสารที่สงวนไว้สำหรับการใช้งานเพื่อการศึกษาเท่านั้น ไม่อนุญาตให้นำไปใช้ประโยชน์ด้านการค้า ไม่ว่าจะกรณีใดๆ ทั้งสิ้น อีกทั้งห้ามมิให้ดัดแปลงเนื้อหา และต้องอ้างอิงถึงเจ้าของเอกสารทุกครั้งที่มีการนำไปใช้

- **Extension Wire**

คือ สายที่ใช้ในการเชื่อมต่อ หรือต่อเพิ่มจากตัวที่เทอร์โมคัปเปิลมีอยู่แล้ว ในกรณีจุดที่วัดอุณหภูมิและจุดที่ต้องการรับสัญญาณจากเทอร์โมคัปเปิล อยู่ห่างกันมี 2 แบบ คือ แบบที่ทำจากสารประเภทเดียวกับเทอร์โมคัปเปิล (เช่น Type E,J,K,T) และแบบที่ทำจากโลหะต่างชนิดกับ เทอร์โมคัปเปิล (เช่น Type R,S,B) เนื่องจากวัสดุที่ใช้ทำสาย คือ แพลทินัม มีราคาแพง

**การเลือกสั่งซื้อเทอร์โมคัปเปิล**

เทอร์โมคัปเปิล คือ โลหะ 2 ชนิดต่างกันที่นำมาเชื่อมปลายเข้าด้วยกันที่ด้านหนึ่งซึ่งเป็นด้านที่ใช้วัดอุณหภูมิ ส่วนอีกด้านหนึ่งต่อเข้ากับอุปกรณ์ใช้งาน เช่น เครื่องควบคุมอุณหภูมิ, เครื่องบันทึกอุณหภูมิ เป็นต้น

อย่างไรก็ตาม อุณหภูมิสูงสุดที่ใช้งานได้ นอกจากขึ้นอยู่กับชนิดของเทอร์โมคัปเปิลแล้ว ยังขึ้นอยู่กับชนิดของปลอก (Protecting Tube) และขนาดของลวดเทอร์โมคัปเปิลที่ใช้ด้วย

**ตารางที่ 3 ชนิดของปลอก (Protecting Tube)**

ชนิดของปลอก	คุณสมบัติ	อุณหภูมิใช้งานสูงสุด (°C)
SUS304เส้นผ่านศูนย์กลาง 5,6 มม.	ใช้งานทั่วไปกับอากาศ,ของเหลว	600
SUS304เส้นผ่านศูนย์กลาง 9.5,12.7มม.	หรือของแข็ง	800
SUS304เส้นผ่านศูนย์กลาง 22 มม.		1000
SUS316	ใช้กับอากาศ หรือของเหลวที่มีลักษณะกัดกร่อน	เหมือน SUS304
เซรามิก Pythagoras	ใช้ในเตาเผา หรือเตาอบอุณหภูมิสูง	1400
เซรามิก Alsint 99.7		1700
Sheath Thermocouple	ใช้ได้กับงานทั่วไปและสารที่กัดกร่อน(เป็น SUS 316)	1200
Inconel 600	ใช้ได้ดีในบรรยากาศที่สกรปรก หรือมีเศษโลหะปนอยู่ เช่น เตาเผาขยะ ทนการกระแทกและทนการกัดกร่อน ได้ดีที่สุดใน	1200
กราไฟต์	ใช้ในเตาหลอมอลูมิเนียม,ทองเหลือง	1000

ตารางที่ 4 ขนาดของลวดเทอร์โมคัปเปิล

เทอร์โมคัปเปิล Type	เส้นผ่านศูนย์กลาง(มม.)		JIS C 1602		ANSI
	JIS	ANSI	อุณหภูมิใช้งานสูงสุด ในงานทั่วไป(°C)	อุณหภูมิสูงสุดใน งาน Overheated(°C)	อุณหภูมิใช้งานสูง สุด(°C)
B	0.05	0.50	1500	1700	1700
R	0.05	0.50	1400	1600	1400
S	0.05	0.50			
K	3.2	3.2	1000	1200	1260
	2.3	-	900	1100	-
	1.6	1.6	850	1050	1090
	1.0	-	750	950	-
	-	0.8	-	-	980
	0.65	-	650	850	-
	-	0.5	-	-	870
	-	0.32	-	-	870
E	3.2	3.2	700	800	870
	2.3	-	600	750	-
	2.6	1.6	550	650	650
	1.0	-	500	550	-
	-	0.8	-	-	540
	0.65	-	450	550	-
	-	0.5	-	-	430
	-	0.32	-	-	430
J	3.2	3.2	600	750	760
	2.3	-	550	750	-
	1.6	1.6	500	650	590
	1.0	-	450	550	-
	-	0.8	-	-	480
	0.65	-	400	500	-
	-	0.5	-	-	370
	-	0.32	-	-	370

เอกสารนี้เป็นเอกสารที่สงวนไว้สำหรับการใช้งานเพื่อการศึกษาเท่านั้น ไม่อนุญาตให้นำไปใช้ประโยชน์ด้านการค้า  
ไม่ว่ากรณีใดๆ ทั้งสิ้น อีกทั้งห้ามมิให้ตัดแปลงเนื้อหา และต้องอ้างอิงถึงเจ้าของเอกสารทุกครั้งที่มีการนำไปใช้

T	1.6	1.6	300	350	370
	1.0	-	250	300	-
	-	0.8	-	-	260
	0.65	-	200	250	-
	-	0.5	-	-	200
	0.32	0.32	450	250	200



รูปที่ 5 เทอร์โมคัปเปิล

## ฮีตเตอร์(Heater)

### หลักการของฮีตเตอร์

ฮีตเตอร์ เป็นอุปกรณ์ทำความร้อนในอุตสาหกรรม ที่มีหลักการพื้นฐานคือ เมื่อมีกระแสไหลผ่านลวดตัวนำที่มีค่าความต้านทานสูง ลวดตัวนำจะร้อน ดังนั้นลวดที่ใช้ผลิตฮีตเตอร์จะต้องมีคุณสมบัติเหนียวและทนอุณหภูมิได้สูง สำหรับลวดฮีตเตอร์ของ TIC เป็นลวด Khantal (นิกเกิล : โครเมียม / 80 : 20) จากประเทศสวีเดน ทนอุณหภูมิได้ถึง 1250 °C เป็นลวดผลิตฮีตเตอร์ที่ดีที่สุดในโลก ส่วนประกอบอื่นๆในการผลิตฮีตเตอร์มีดังนี้

- ฉนวนแมกนีเซียมออกไซด์(MgO) จาก USA มีค่าความนำไฟฟ้าต่ำแต่ทำความร้อนได้ดีมากทำหน้าที่กั้นกลางระหว่างลวดฮีตเตอร์กับปลอกโลหะ เพื่อป้องกันไม่ให้เกิดกระแสรั่ว (Leak Current) จากลวดฮีตเตอร์ออกไปยังเอกสารนี้เป็นเอกสารที่สงวนไว้สำหรับการใช้งานเพื่อการศึกษาเท่านั้น ไม่อนุญาตให้นำไปใช้ประโยชน์ด้านการค้าไม่ว่ากรณีใดๆ ทั้งสิ้น อีกทั้งห้ามมิให้ตัดแปลงเนื้อหา และต้องอ้างอิงถึงเจ้าของเอกสารทุกครั้งที่มีการนำไปใช้

ผิวโลหะ จุดสำคัญ คือ ห้ามมีความชื้น ในฉนวนเค็ดขาดเพราะจะทำให้ค่าความนำไฟฟ้าสูงขึ้น หากมีความชื้น แก้ไขได้โดยการอบในเตาอบ

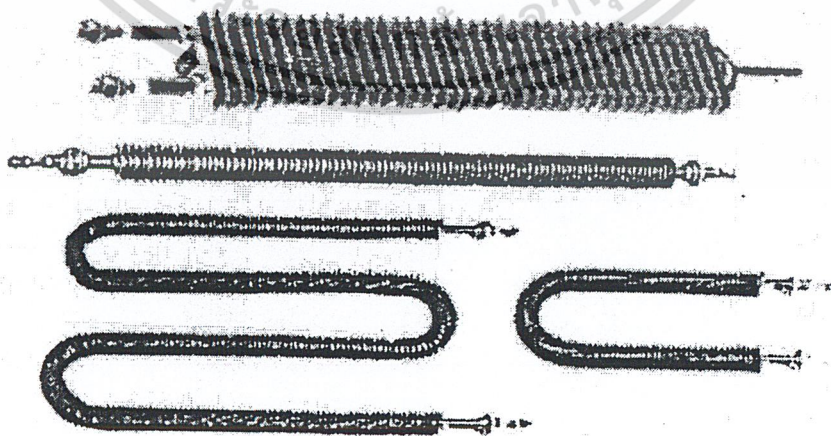
- ท่อสแตนเลส 304 และ 316 จากออสเตรเลีย เลือกที่มีความหนาเป็นพิเศษ ทำให้ทนอุณหภูมิได้สูงกว่าปรกติ และไม่มีตะเข็บด้านนอกของผิวท่อ จึงไม่มีปัญหาการแตกปริตามแนวตะเข็บท่อฮีตเตอร์เมื่ออุณหภูมิสูง
- Insulation Tester เป็นเครื่องทดสอบความเป็นฉนวนของฮีตเตอร์เพื่อให้แน่ใจว่าในการใช้งานจริงจะไม่มีกระแสรั่วจากลวดฮีตเตอร์สู่ผิวโลหะซึ่งอาจเป็นอันตรายต่อผู้ใช้ได้ มาตรฐานของ TIC ได้กำหนดการทดสอบ แรงดันที่ 1500 VAC และค่าความเป็นฉนวนต้องมากกว่า 500M

ฮีตเตอร์ถูกแบ่งออกเป็นชนิดต่างๆตามลักษณะการใช้งานที่แตกต่างกันดังนี้

- ฮีตเตอร์แท่ง หรือ Cartridge Heater ใช้ให้ความร้อนกับวัสดุที่เป็นของแข็ง เช่น เหล็ก และ โลหะต่างๆ ตัวอย่างการใช้งาน เช่น งานบรรจุหีบห่อ งานขึ้นรูปพลาสติก
- ฮีตเตอร์ครีป หรือ Finned Heater และฮีตเตอร์ท่อกลม หรือ Tubular Heater ใช้ให้ความร้อนกับอากาศ เช่น ใช้ในห้องอบแห้ง ในเตาอบ
- ฮีตเตอร์จุ่ม หรือ Immersion Heater หรือบางที่เรียกว่า ฮีตเตอร์ดัดน้ำ ใช้ให้ความร้อนกับของเหลวทุกชนิด ตัวอย่างการใช้งาน เช่น งานดัดน้ำ ดัดน้ำมัน งานผสมสาร
- บอบบี้ฮีตเตอร์ (Bobbin Heater) ใช้ให้ความร้อนของเหลวเหมือนฮีตเตอร์จุ่ม
- ฮีตเตอร์อินฟราเรด (Infrared Heater) ใช้ให้ความร้อนกับวัตถุโดยไม่ต้องสัมผัสโดยตรง ไม่เหมาะกับวัตถุที่มีลักษณะมันวาว เนื่องจากวัตถุมันวาวจะมีคุณสมบัติสะท้อนแสง ทำให้ไม่สามารถดูดซับรังสีอินฟราเรดได้อย่างเต็มที่ที่ติดตั้งในเตาอบ หรือเหนือคอนเวเยอร์ได้
- ฮีตเตอร์รัดท่อ หรือ Band Heater ใช้ให้ความร้อนกับของเหลวที่อยู่ในท่อ
- ฮีตเตอร์แผ่น หรือ Strip Heater ใช้ให้ความร้อนโดยแนบกับวัตถุโดยตรง

### ฮีตเตอร์ครีป Finned Heater และฮีตเตอร์ท่อกลม หรือ Tubular Heater

ฮีตเตอร์ครีป ทำจาก Tubular Heater ที่ดัดเป็นรูปต่างๆและเพิ่มแผ่นครีปม้วนติดกับท่อฮีตเตอร์อย่างต่อเนื่องจากปลายด้านหนึ่ง ไปอีกด้านหนึ่ง ส่วนของแผ่นครีปที่เพิ่มขึ้นจะทำให้ฮีตเตอร์ สามารถถ่ายเทความร้อนได้เร็วขึ้น ส่วนฮีตเตอร์ท่อกลมคือ Tubular Heater ที่ใช้ให้ความร้อนโดยตรงโดยไม่ติดครีป



รูปที่ 6 ฮีตเตอร์ครีป Finned Heater และฮีตเตอร์ท่อกลม หรือ Tubular Heater

เอกสารนี้เป็นเอกสารที่สงวนไว้สำหรับการใช้งานเพื่อการศึกษเท่านั้น เมื่อผู้ผู้ใดเห็นประโยชน์ด้านการค้าไม่ว่ากรณีใดๆ ทั้งสิ้น อีกทั้งห้ามมิให้ดัดแปลงเนื้อหา และต้องอ้างอิงถึงเจ้าของเอกสารทุกครั้งที่มีการนำไปใช้

ฮีตเตอร์ครีปและฮีตเตอร์ท่อกลมใช้กับงานต่อไปนี้

- ใช้ในเตาอบ
- ใช้ในท่อ DUCT
- ใช้กับเครื่องปรับอากาศ

การติดตั้งสามารถทำได้ 2 วิธี คือ ติดตั้งแบบให้ความร้อน โดยตรง และแบบส่งผ่านความร้อนจากห้องเผาไปยังห้องอบโดยใช้ลมร้อน เป็นฮีตเตอร์ที่ใช้กับอากาศ ไม่ควรใช้กับของเหลว เนื่องจากจะเกิดตะกรันจับที่ครีปของฮีตเตอร์ทำให้ความร้อนไม่สามารถถ่ายเทได้ ในกรณีที่ให้ความร้อนกับอากาศที่ไม่หมุนเวียน ควรเลือกวัสดุที่ใช้ทำฮีตเตอร์เป็นอินโคลอย เนื่องจากมีคุณสมบัติถ่ายเทความร้อนได้ดี และทนอุณหภูมิได้สูงกว่าชนิดอื่นๆ

### สายไฟฟ้าทนความร้อนหุ้มไฟเบอร์กลาส

สายทนความร้อนคุณภาพสูงจากประเทศญี่ปุ่น ทนอุณหภูมิสูงสุด 250 °C ใช้ต่อกับฮีตเตอร์หรือใช้ในเตาอบที่อุณหภูมิสูง มีหลายขนาดให้เลือกใช้งาน

ตารางที่ 5 คุณสมบัติของสายไฟฟ้าทนความร้อนหุ้มไฟเบอร์กลาส

พื้นที่หน้าตัด (Sq.mm.)	ความหนาต่ำสุด ของฉนวน(mm.)	เส้นผ่าศูนย์กลาง		ความต้านทานมากที่สุด ในสายที่20°C(/km)	ปริมาณกระแสที่ ทนได้(A)
		ทั่วไป(mm)	มากที่สุด(mm.)		
0.75	0.3	2.4	2.65	25.8	8
1.0	0.3	2.5	2.75	19.4	10
1.5	0.3	2.6	2.85	13.2	15
2.0	0.35	3.2	3.5	9.91	19
2.5	0.35	3.6	3.9	9.52	23
3.5	0.4	4.1	4.4	5.38	26
4.0	0.4	4.5	4.8	5.12	29
5.5	0.4	4.7	5.0	3.46	35
8.0	0.6	5.7	6.0	2.45	50

เอกสารนี้เป็นเอกสารที่สงวนไว้สำหรับการใช้งานเพื่อการศึกษาเท่านั้น ไม่อนุญาตให้นำไปใช้ประโยชน์ด้านการค้าไม่ว่ากรณีใดๆ ทั้งสิ้น อีกทั้งห้ามมิให้ตัดแปลงเนื้อหา และต้องอ้างอิงถึงเจ้าของเอกสารทุกครั้งที่มีการนำไปใช้

## KANTHAL HANDBOOK

วิธีการเลือกหลอด Kanthal หรือ Nikrothal

จะพิจารณาจากคุณสมบัติของหลอดตามตารางที่ 6

ตารางที่ 6 A 120 kW furnace equipped with R.O.B. elements. 3 elements of 40 kW each, 380 V.

Element Data	NiCr 80/20		KANTHAL AF	
Furnace temperature, °C °F	1000	1830	1000	1830
Element temperature, °C °F	1068	1955	1106	2025
Hot resistance, R <sub>h</sub>	3.61		3.61	
Temperature factor, C <sub>t</sub>	1.05		1.06	
Cold resistance, R <sub>c</sub>	3.44		3.41	
Wire diameter, mm in	5.5	0.217	5.5	0.217
Surface load, W/cm <sup>2</sup> W/in <sup>2</sup>	3.09	19.9	3.98	25.7
Wire length, m. ft 3 elements	224.9	738	174.6	573
Wire weight, kg, lb 3 elements	44.4	98	29.6	65
Weight saving:	$\frac{44.4 - 29.6}{44.4} = 33\%$		$\frac{98 - 65}{98} = 33\%$	

เอกสารนี้เป็นเอกสารที่สงวนไว้สำหรับการใช้งานเพื่อการศึกษาเท่านั้น ไม่อนุญาตให้นำไปใช้ประโยชน์ด้านการค้า  
ไม่ว่ากรณีใดๆ ทั้งสิ้น อีกทั้งห้ามมิให้ตัดแปลงเนื้อหา และต้องอ้างอิงถึงเจ้าของเอกสารทุกครั้งที่มีการนำไปใช้

คุณสมบัติทาง Physical และ Mechanical ของลวด Kanthal และ Nikrothal

ลวด Kanthal และ Nikrothal จะมีลักษณะแบน หรือ กลม ซึ่งจะมี คุณสมบัติทาง Physical และ Mechanical ของลวดต่างกันดังตารางที่ 7

ตารางที่ 7 KANTHAL and NIKROTHAL , Wire and Strip.

# Physical and Mechanical Properties

KANTHAL and NIKROTHAL alloys are generally available in wire or strip form. Physical and mechanical properties of the alloys are listed in Table 2.

Table 2. KANTHAL and NIKROTHAL, Wire and Strip.

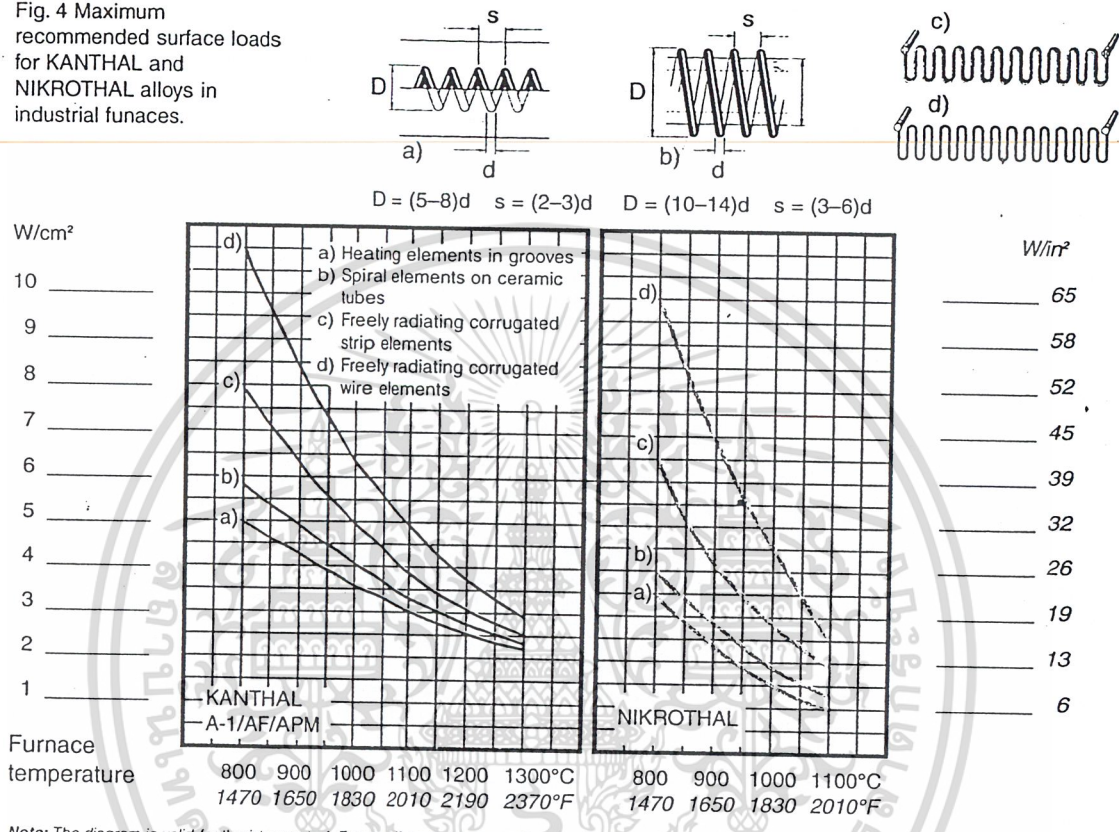
	KANTHAL APM	KANTHAL A-1	KANTHAL AF	KANTHAL D	NIKROTHAL 80	NIKROTHAL 70	NIKROTHAL 60	NIKROTHAL 40
Max continuous operating temp., °C	1425	1400	1300	1300	1200	1250	1150	1100
°F	2600	2550	2370	2370	2190	2280	2100	2010
Nominal composition, % Cr	22	22	22	22	20	30	15	20
Al	5.8	5.8	5.3	4.8	—	—	—	—
Fe	Rest	Rest	Rest	Rest	—	—	—	—
Ni	—	—	—	—	80	70	60	35
Resistivity at 20°C, Ωmm <sup>2</sup> m <sup>-1</sup>	1.45	1.45	1.39	1.35	1.09	1.18	1.11	1.04
at 68°F, Ω/cm <sup>2</sup>	872	872	836	812	655	704	668	626
Density, g/cm <sup>3</sup>	7.10	7.10	7.15	7.25	8.3	8.1	8.2	7.9
lb/in <sup>3</sup>	0.256	0.256	0.259	0.262	0.300	0.296	0.296	0.285
Coefficient of thermal expansion, K <sup>-1</sup>								
20-750°C, 68-1380°F	14.10 <sup>6</sup>	14.10 <sup>6</sup>	14.10 <sup>6</sup>	14.10 <sup>6</sup>	17.10 <sup>6</sup>	16.10 <sup>6</sup>	16.10 <sup>6</sup>	18.10 <sup>6</sup>
20-1000°C, 68-1838°F	15.10 <sup>6</sup>	15.10 <sup>6</sup>	15.10 <sup>6</sup>	15.10 <sup>6</sup>	18.10 <sup>6</sup>	17.10 <sup>6</sup>	17.10 <sup>6</sup>	19.10 <sup>6</sup>
Thermal conductivity at 20°C								
W m <sup>-1</sup> K <sup>-1</sup>	13	13	13	13	15	13	13	13
68°F, Btu in ft <sup>2</sup> h <sup>-1</sup> °F <sup>-1</sup>	90	90	90	90	104	90	90	90
Specific heat capacity								
KJ kg <sup>-1</sup> K <sup>-1</sup> , 20°C	0.46	0.46	0.46	0.46	0.46	0.46	0.46	0.50
Btu lb <sup>-1</sup> °F <sup>-1</sup> , 68°F	0.110	0.110	0.110	0.110	0.110	0.110	0.110	0.119
Melting point, °C	1500	1500	1500	1500	1400	1380	1390	1390
°F	2730	2730	2730	2730	2550	2515	2535	2535
Mechanical properties (approx.)*								
Tensile strength, N mm <sup>2</sup>	680	680	680	680	750	875	750	750
psi	99000	99000	99000	99000	109000	127000	109000	109000
Yield point, N mm <sup>2</sup>	445	445	445	445	450	450	450	450
psi	65000	65000	65000	65000	65000	65000	65000	65000
Hardness, Hv	230	230	230	230	180	185	180	180
Elongation at rupture, %	19	19	19	19	30	30	30	30
Tensile strength at 900°C, Nmm <sup>2</sup>	40	34	37	34	100	120	100	120
1650°F, psi	5800	5000	5400	5000	14500	17400	14500	17400
Creep strength at 800°C, N mm <sup>2</sup>	14	6	8	6	15	15	15	20
1000°C, N mm <sup>2</sup>	1.8	1	1.5	1	4	4	4	4
1470°F, psi	2000	870	1160	870	2160	2160	2160	2160
1830°F, psi	260	145	215	145	580	580	580	580
Magnetic properties	Magnetic (Curie point 600°C 1100°F) Non							
Emissivity, fully oxidized condition	0.70	0.70	0.70	0.70	0.88	0.88	Slightly 0.88	Non 0.88

\* The values given apply for sizes of 4 mm, 0.16 in diameter for the KANTHAL alloys and of 1 mm, 0.04 in for the NIKROTHAL alloys.

**Element surface load**

ค่าของ surface load ของแต่ละช่วงนั้นจะหาได้จากกราฟความสัมพันธ์ระหว่างอุณหภูมิกับค่า surface load ดังรูปที่ 7

Fig. 4 Maximum recommended surface loads for KANTHAL and NIKROTHAL alloys in industrial furnaces.



Note: The diagram is valid for thyristor control. For on-off control lower surface loads should be chosen. (About 20%).

รูปที่ 7 Maximum recommended surface loads for KANTHAL and NIKROTHAL alloy in industrial furnaces.

# KANTHAL A-1 and APM

Wire and strip. Standard stock items.

Resistivity  $1.45 \Omega \text{ mm}^2 \text{ m}^{-1}$ . Density  $7.1 \text{ g cm}^{-3}$ . To obtain resistivity at working temperature, multiply by factor  $C_t$  in following table.

°C	20	100	200	300	400	500	600	700	800	900	1000	1100	1200	1300	1400
$C_t$	1.00	1.00	1.00	1.00	1.00	1.01	1.02	1.02	1.03	1.03	1.04	1.04	1.04	1.04	1.05

Wire dia mm	Resistance $\Omega/\text{m}$ 20°C	Weight g/m	$\text{cm}^2/\Omega$ 20°C	Strip*) WxT mm	Resistance $\Omega/\text{m}$ 20°C	Weight g/m	$\text{cm}^2/\Omega$ 20°C
1.0.....	1.85.....	5.58.....	17.0.....	5.0x1.0.....	0.290.....	35.5.....	414.....
1.1*).....	1.53.....	6.75.....	22.7.....	10.0x1.0.....	0.145.....	49.7.....	1520.....
1.2.....	1.28.....	8.03.....	29.4.....	15.0x1.0.....	0.0967.....	107.....	3310.....
1.3*).....	1.09.....	9.43.....	37.4.....	20.0x1.0.....	0.725.....	142.....	5790.....
1.4*).....	0.942.....	10.9.....	46.7.....	12.0x1.2.....	0.101.....	102.....	2620.....
1.5.....	0.821.....	12.5.....	57.4.....	15.0x1.2.....	0.101.....	128.....	4020.....
1.6*).....	0.721.....	14.3.....	69.7.....	10.0x1.5.....	0.097.....	107.....	2380.....
1.7.....	0.639.....	16.1.....	83.6.....	12.0x1.5.....	0.0806.....	128.....	3350.....
1.8.....	0.570.....	18.1.....	99.2.....	15.0x1.5.....	0.0644.....	160.....	5120.....
2.0.....	0.462.....	22.3.....	136.....	20.0x1.5.....	0.0483.....	213.....	8900.....
2.2.....	0.381.....	27.0.....	181.....	25.0x1.5.....	0.0387.....	266.....	13700.....
2.3.....	0.349.....	29.5.....	207.....	30.0x1.5.....	0.0320.....	320.....	19600.....
2.4*).....	0.321.....	32.1.....	235.....	15.0x2.0.....	0.0483.....	213.....	7040.....
2.5.....	0.295.....	34.9.....	266.....	20.0x2.0.....	0.0363.....	284.....	12100.....
2.6.....	0.273.....	37.7.....	299.....	25.0x2.0.....	0.0290.....	355.....	18600.....
2.8.....	0.235.....	43.7.....	374.....	30.0x2.0.....	0.0242.....	426.....	26500.....
2.9.....	0.219.....	47.0.....	416.....	20.0x2.5.....	0.0290.....	355.....	15500.....
3.0.....	0.205.....	50.2.....	460.....	25.0x2.5.....	0.0232.....	444.....	23700.....
3.25.....	0.175.....	58.9.....	584.....	30.0x2.5.....	0.0193.....	533.....	33600.....
3.5.....	0.151.....	68.3.....	730.....	20.0x3.0.....	0.0242.....	426.....	19008.....
3.75.....	0.131.....	78.4.....	897.....	25.0x3.0.....	0.0193.....	533.....	26200.....
4.0.....	0.115.....	89.2.....	1090.....	30.0x3.0.....	0.0161.....	639.....	41000.....
4.25.....	0.102.....	101.....	1306.....				
4.5.....	0.0912.....	113.....	1550.....				
4.75.....	0.0818.....	126.....	1824.....				
5.0.....	0.0738.....	139.....	2127.....				
5.5.....	0.0610.....	169.....	2831.....				
6.0.....	0.0513.....	201.....	3676.....				
6.5.....	0.0437.....	236.....	4673.....				
7.0.....	0.0377.....	273.....	5840.....				
7.35.....	0.0340.....	300.....	5840.....				
8.0.....	0.0288.....	357.....	8690.....				
8.25.....	0.0271.....	380.....	9560.....				
9.5.....	0.0205.....	503.....	14600.....				
10.0.....	0.0185.....	558.....	17000.....				

เอกสารนี้เป็นเอกสารที่สงวนไว้สำหรับการใช้งานเพื่อการศึกษาเท่านั้น ไม่อนุญาตให้นำไปใช้ประโยชน์ด้านการค้า  
ไม่ว่ากรณีใดๆ ทั้งสิ้น อีกทั้งห้ามมิให้คัดลอกเนื้อหา และต้องอ้างอิงถึงเจ้าของเอกสารทุกครั้งที่มีการนำไปใช้

# KANTHAL AF

## Wire and strip. Standard stock items.

Resistivity 1.39  $\Omega$  mm<sup>2</sup> m<sup>-1</sup>. Density 7.15 g cm<sup>-3</sup>. To obtain resistivity at working temperature, multiply by factor C<sub>t</sub> in following table.

°C	20	100	200	300	400	500	600	700	800	900	1000	1100	1200	1300	1400
C <sub>t</sub>	1.00	1.00	1.01	1.01	1.02	1.03	1.04	1.04	1.05	1.05	1.06	1.06	1.06	1.06	1.07

Wire dia mm	Resistance $\Omega$ /m 20°C	Weight g/m	cm <sup>2</sup> / $\Omega$ 20°C	Strip*) WxT mm	Resistance $\Omega$ /m 20°C	Weight g/m	cm <sup>2</sup> / $\Omega$ 20°C
1.0	1.77	5.62	17.8	10.0x1.0	0.139	71.5	1582
1.1	1.46	6.79	23.6	15.0x1.0	0.0927	107	3453
1.2	1.23	8.09	30.7	20.0x1.0	0.0695	143	6043
1.3	1.05	9.49	39.0	10.0x1.2	0.1158	86	1934
1.4	0.903	11.0	48.7	12.0x1.2	0.0965	103	2735
1.5	0.787	12.6	59.9	15.0x1.2	0.0772	129	4196
1.6	0.691	14.4	72.7	15.0x1.5	0.0618	161	5342
1.7	0.612	16.2	87.2	20.0x1.5	0.0463	215	9281
1.8	0.546	18.2	104	25.0x1.5	0.00371	268	14302
2.0	0.442	22.5	142	15.0x2.0	0.0463	215	7339
2.2	0.366	27.2	189	20.0x2.0	0.0348	286	12664
2.3	0.335	29.7	216	25.0x2.0	0.0278	358	19424
2.4	0.307	32.3	245	30.0x2.0	0.0232	429	27623
2.5	0.283	35.1	277	15.0x2.5	0.0371	268	27623
2.6	0.262	38.0	312	20.0x2.5	0.0278	358	16190
2.8	0.226	44.0	390	25.0x2.5	0.0222	447	24733
2.9	0.210	47.2	433	30.0x2.5	0.0185	536	35071
3.0	0.197	50.5	479	20.0x3.0	0.0232	429	19828
3.25	0.168	59.3	609	25.0x3.0	0.0185	536	27331
3.5	0.144	68.8	761	30.0x3.0	0.0154	644	39223
3.75	0.126	79.0	936				
4.0	0.111	89.8	1136				
4.25	0.0980	101	1363				
4.5	0.0874	114	1618				
4.75	0.0784	127	1902				
5.0	0.0708	140	2219				
5.5	0.0585	170	2953				
6.0	0.0492	202	3834				
6.5	0.0419	237	4875				
7.0	0.0361	275	6089				
7.35	0.0328	303	7048				
7.5	0.0315	316	7489				
8.0	0.0277	359	9089				
8.25	0.0260	382	9968				
9.27	0.0206	483	14141				

เอกสารนี้เป็นเอกสารที่สงวนไว้สำหรับการใช้งานเพื่อการศึกษาเท่านั้น ไม่อนุญาตให้นำไปใช้ประโยชน์ด้านการค้า  
ไม่ว่ากรณีใดๆ ทั้งสิ้น อีกทั้งห้ามมิให้ตัดแปลงเนื้อหา และต้องอ้างอิงถึงเจ้าของเอกสารทุกครั้งที่มีการนำไปใช้

# KANTHAL D

Wire and strip. Standard stock items.

Resistivity  $1.35 \Omega \text{ mm}^2 \text{ m}^{-1}$ . Density  $7.25 \text{ g cm}^{-3}$ . To obtain resistivity at working temperature, multiply by factor  $C_t$  in following table.

°C	20	100	200	300	400	500	600	700	800	900	1000	1100	1200	1300
$C_t$	1.00	1.00	1.01	1.01	1.02	1.03	1.04	1.05	1.06	1.06	1.07	1.07	1.08	1.08

Wire dia mm	Resistance $\Omega/\text{m } 20^\circ\text{C}$	Weight g/m	$\text{cm}^2/\Omega$ $20^\circ\text{C}$	Strip*) WxT mm	Resistance $\Omega/\text{m } 20^\circ\text{C}$	Weight g/m	$\text{cm}^2/\Omega$ $20^\circ\text{C}$
1.0	1.72	5.7	18.3	5.0x0.1	2.70	3.6	43
1.1	1.42	6.9	24.3	5.0x0.2	1.35	7.3	76
1.2	1.19	8.2	31.6	5.0x0.3	0.900	10.9	118
1.3	1.02	9.6	40.2	5.0x0.4	0.657	14.5	160
1.4	0.877	11.2	50.2	10.0x1.2	0.113	87	1990
1.5	0.764	12.8	61.7	12.0x1.2	0.0938	104	2820
1.6	0.671	14.6	74.9	15.0x1.2	0.0750	131	4320
1.7	0.595	16.5	89.8	15.0x1.5	0.0600	163	5500
1.8	0.531	18.4	107	20.0x1.5	0.0450	218	9560
2.0	0.430	22.8	146	15.0x2.0	0.0450	218	7560
2.5	0.275	35.6	286	20.0x2.0	0.0338	290	13000
2.8	0.219	44.6	401	25.0x2.0	0.0270	363	20000
3.0	0.191	51.2	493	20.0x2.5	0.0270	363	16700
3.25	0.163	60.1	627				
3.5	0.140	69.8	784				
3.75	0.122	80.1	964				
4.0	0.107	91.1	1170				
4.25	0.0952	103	1403				
4.5	0.0849	115	1666				
4.75	0.0762	128	1959				
5.0	0.0688	142	2285				
5.5	0.0568	172	3041				
6.0	0.0477	205	3948				
6.5	0.0407	241	5019				
7.35	0.0318	308	7257				
8.0	0.0269	364	9358				

เอกสารนี้เป็นเอกสารที่สงวนไว้สำหรับการใช้งานเพื่อการศึกษาเท่านั้น ไม่อนุญาตให้นำไปใช้ประโยชน์ด้านการค้า  
ไม่ว่ากรณีใดๆ ทั้งสิ้น อีกทั้งห้ามมิให้ดัดแปลงเนื้อหา และต้องอ้างอิงถึงเจ้าของเอกสารทุกครั้งที่มีการนำไปใช้

# NIKROTHAL 70

Wire. No standard stock items –  
on special order only.

Resistivity  $1.18 \Omega \text{ mm}^2 \text{ m}^{-1}$ . Density  $8.10 \text{ g cm}^{-3}$ . To obtain resistivity at working temperature, multiply by factor  $C_t$  in following table.

°C	20	100	200	300	400	500	600	700	800	900	1000	1100	1200
$C_t$	1.00	1.01	1.02	1.03	1.04	1.05	1.05	1.04	1.04	1.04	1.05	1.05	1.06

Wire dia mm	Resistance $\Omega/\text{m}$ 20°C	Weight g/m	$\text{cm}^2/\Omega$ 20°C
1.0	1.50	6.36	20.9
1.1	1.24	7.70	27.8
1.2	1.04	9.16	36.1
1.3	0.889	10.8	45.9
1.4	0.767	12.5	57.4
1.5	0.668	14.3	70.6
1.6	0.587	16.3	85.6
1.7	0.520	18.4	103
1.8	0.464	20.6	122
1.9	0.416	23.0	143
2.0	0.376	25.4	167
2.2	0.310	30.8	223
2.5	0.240	39.8	327
2.6	0.222	43.0	368
2.8	0.192	49.9	459
3.0	0.167	57.3	565
3.25	0.142	67.2	718
3.5	0.123	77.9	897
3.75	0.107	89.5	1103
4.0	0.0939	102	1338
4.25	0.0832	115	1605
4.5	0.0742	129	1905
4.75	0.0666	144	2241
5.0	0.0601	159	2614
5.5	0.0497	192	3479
6.0	0.0417	229	4517
6.5	0.0356	269	5742
7.0	0.0307	312	7172
7.35	0.0278	344	8303
7.5	0.0267	358	8822
8.0	0.0235	407	10706
8.25	0.0221	433	11741
9.0	0.0185	515	15244

เอกสารนี้เป็นเอกสารที่สงวนไว้สำหรับการใช้งานเพื่อการศึกษาเท่านั้น ไม่อนุญาตให้นำไปใช้ประโยชน์ด้านการค้า  
ไม่ว่ากรณีใดๆ ทั้งสิ้น อีกทั้งห้ามมิให้ตัดแปลงเนื้อหา และต้องอ้างอิงถึงเจ้าของเอกสารทุกครั้งที่มีการนำไปใช้

# NIKROTHAL 80

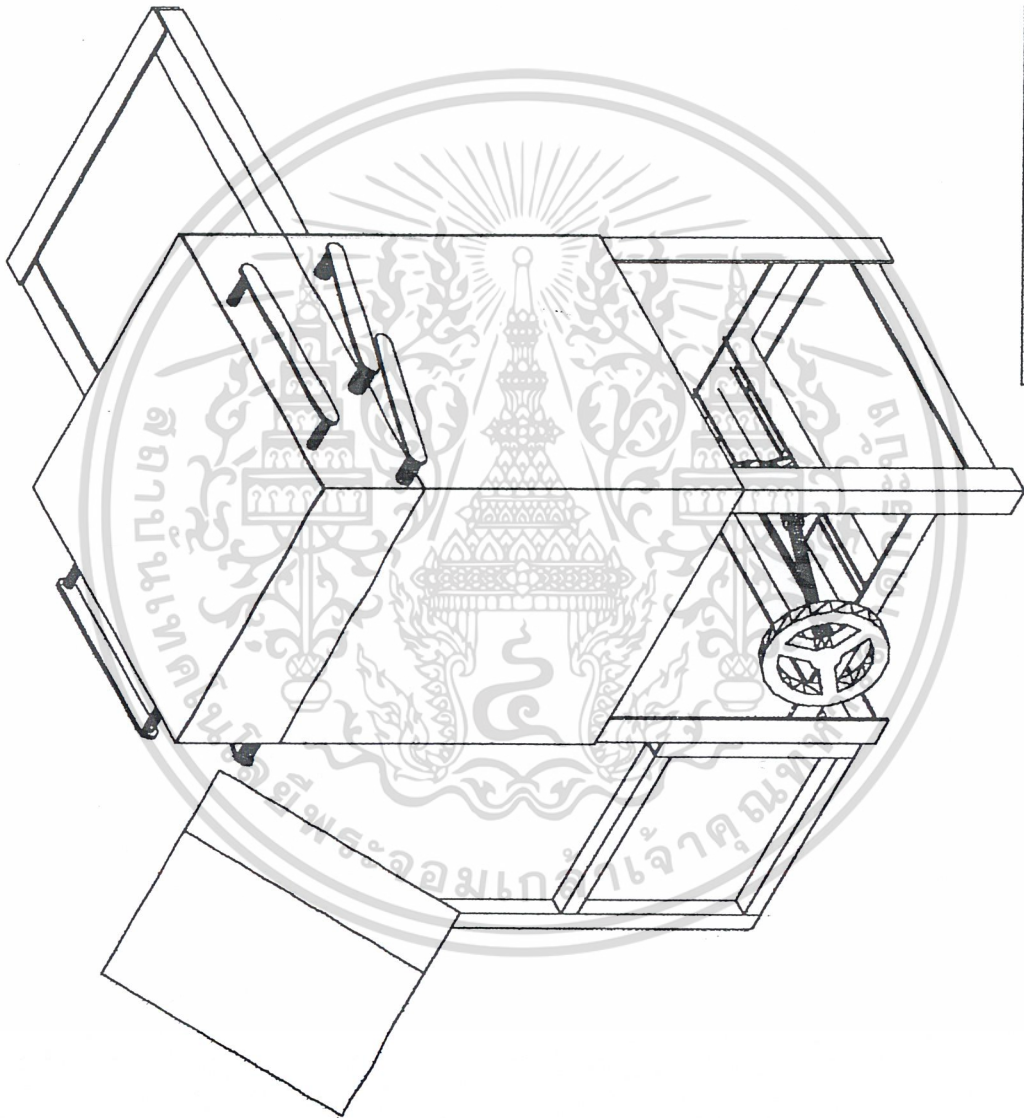
Wire and Strip. Standard stock items.

Resistivity  $1.09 \Omega \text{ mm}^2 \text{ m}^{-1}$ . Density  $8.30 \text{ g cm}^{-3}$ . To obtain resistivity at working temperature, multiply by factor  $C_t$  in following table.

°C	20	100	200	300	400	500	600	700	800	900	1000	1100	1200
$C_t$	1.00	1.01	1.02	1.03	1.04	1.05	1.04	1.04	1.04	1.04	1.05	1.06	1.07

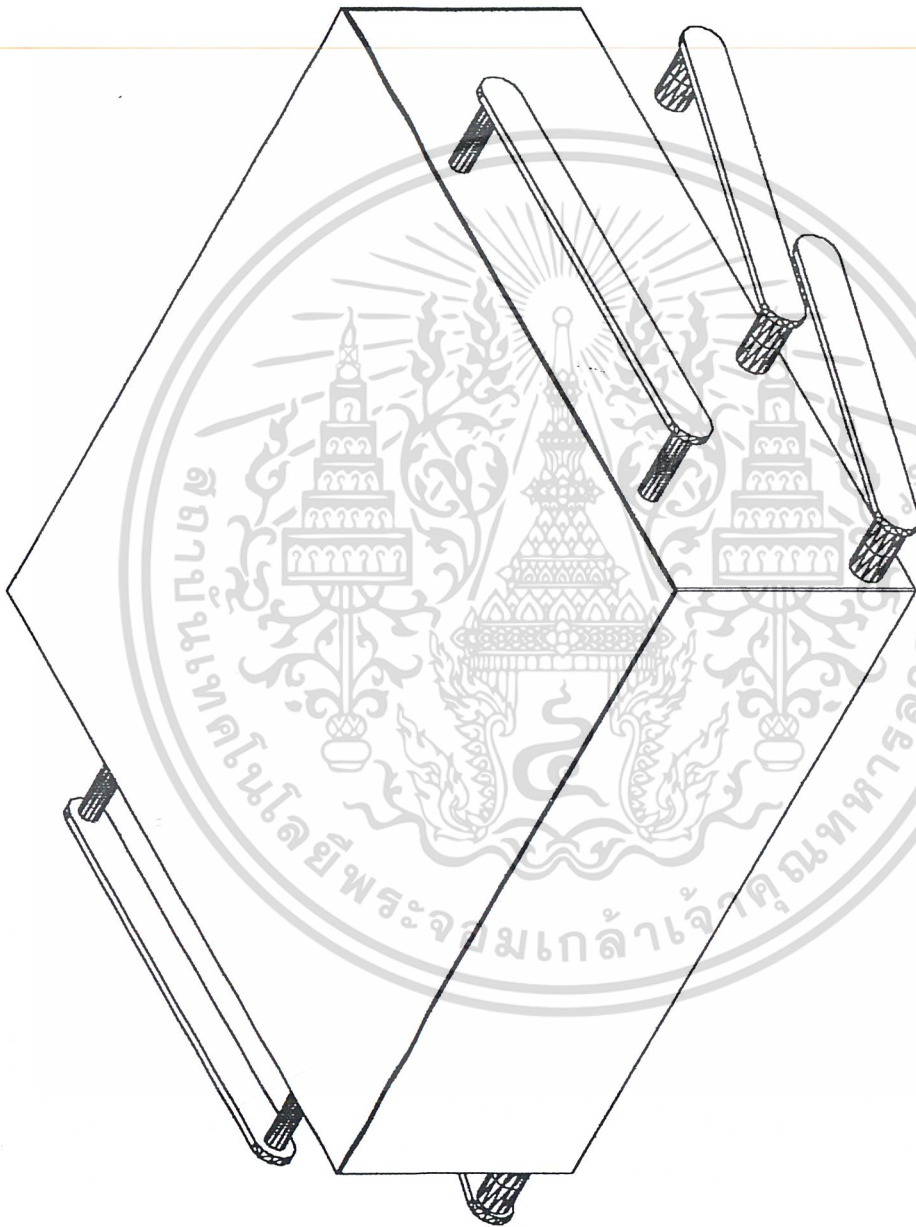
Wire dia mm	Resistance $\Omega/\text{m } 20^\circ\text{C}$	Weight g/m	$\text{cm}^2/\Omega$ $20^\circ\text{C}$	Strip*) WxT mm	Resistance $\Omega/\text{m } 20^\circ\text{C}$	Weight g/m	$\text{cm}^2/\Omega$ $20^\circ\text{C}$
1.0	1.39	6.52	22.6	15.0x1.0	0.0727	125	4404
1.2	0.964	9.39	39.1	20.0x1.0	0.0545	166	7706
1.3	0.821	11.0	49.7	25.0x1.0	0.0436	208	11930
1.4	0.708	12.8	62.1	12.0x1.2	0.0757	120	3488
1.5	0.617	14.7	76.4	15.0x1.5	0.0484	187	6812
1.6	0.542	16.7	92.7	20.0x1.5	0.0363	249	11840
1.8	0.428	21.1	132	25.0x1.5	0.0291	311	18230
2.0	0.347	26.1	181	15.0x2.0	0.0363	249	9358
2.3	0.262	34.5	275	20.0x2.0	0.0273	332	16150
2.5	0.222	40.7	354	25.0x2.0	0.0218	415	24770
2.6	0.205	44.1	398	30.0x2.0	0.0182	498	35230
2.8	0.177	51.1	497	20.0x2.5	0.0218	415	20640
3.0	0.154	58.7	611	25.0x2.5	0.0174	519	31540
3.25	0.131	68.9	777	30.0x2.5	0.0145	623	44730
3.5	0.113	79.9	971				
3.75	0.0987	91.7	1194				
4.0	0.0867	104	1449				
4.25	0.0768	118	1738				
4.5	0.0685	132	2063				
4.75	0.0615	147	2426				
5.0	0.0555	163	2830				
5.5	0.0459	197	3766				
6.0	0.0386	235	4890				
6.5	0.0328	275	6217				
7.0	0.0283	319	7764				
7.5	0.0247	367	9550				
8.0	0.0217	417	11590				

เอกสารนี้เป็นเอกสารที่สงวนไว้สำหรับการใช้งานเพื่อการศึกษาเท่านั้น ไม่อนุญาตให้นำไปใช้ประโยชน์ด้านการค้า  
ไม่ว่ากรณีใดๆ ทั้งสิ้น อีกทั้งห้ามมิให้ดัดแปลงเนื้อหา และต้องอ้างอิงถึงเจ้าของเอกสารทุกครั้งที่มีการนำไปใช้



King Mongkut's Institute of Technology Ladkrabang	
Project : Electrical Furnace	Part : เตาหลอม
Code : EF-0000	

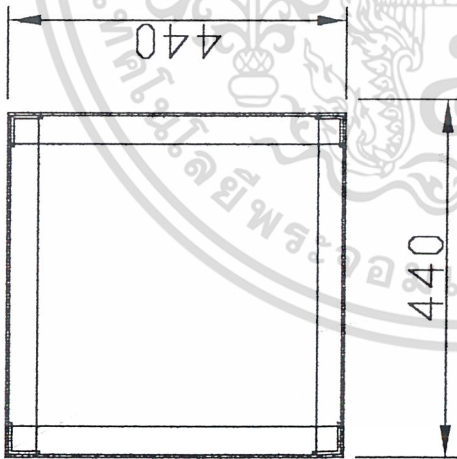
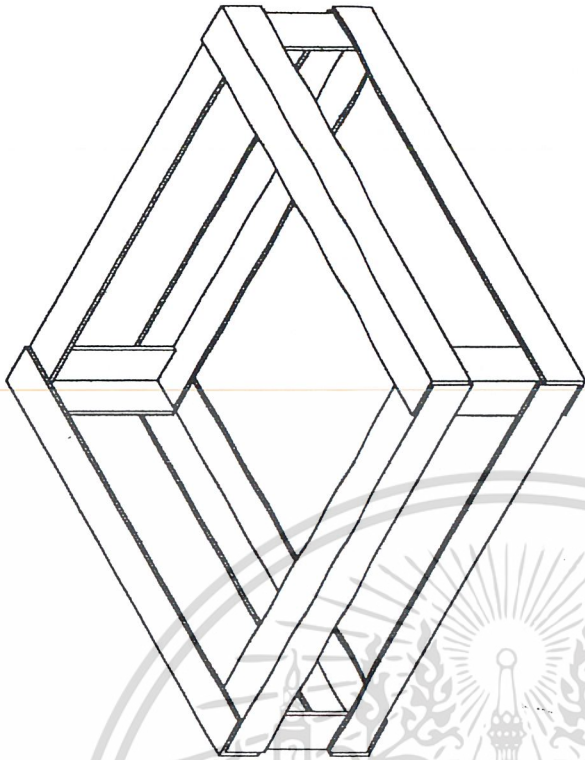
เอกสารนี้เป็นเอกสารที่สงวนไว้สำหรับการใช้งานเพื่อการศึกษาเท่านั้น ไม่อนุญาตให้นำไปใช้ประโยชน์ด้านการค้า  
ไม่ว่ากรณีใดๆ ทั้งสิ้น อีกทั้งห้ามมิให้ตัดแปลงเนื้อหา และต้องอ้างอิงถึงเจ้าของเอกสารทุกครั้งที่มีการนำไปใช้



King Mongkut's Institute of Technology Ladkrabang	
Project : Electrical Furnace	Part : ๗๓๗
Code : EF-1000	

A-19

เอกสารนี้เป็นเอกสารที่สงวนไว้สำหรับการใช้งานเพื่อการศึกษาเท่านั้น ไม่อนุญาตให้นำไปใช้ประโยชน์ด้านการค้า  
ไม่ว่ากรณีใดๆ ทั้งสิ้น อีกทั้งห้ามมิให้ดัดแปลงเนื้อหา และต้องอ้างอิงถึงเจ้าของเอกสารทุกครั้งที่มีการนำไปใช้



King Mongkut's Institute of Technology Ladkrabang

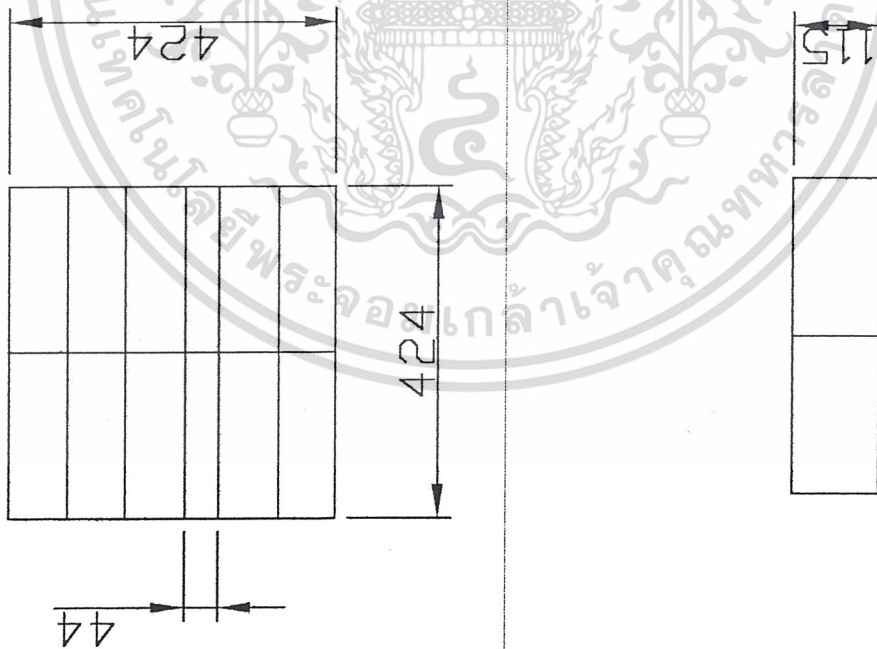
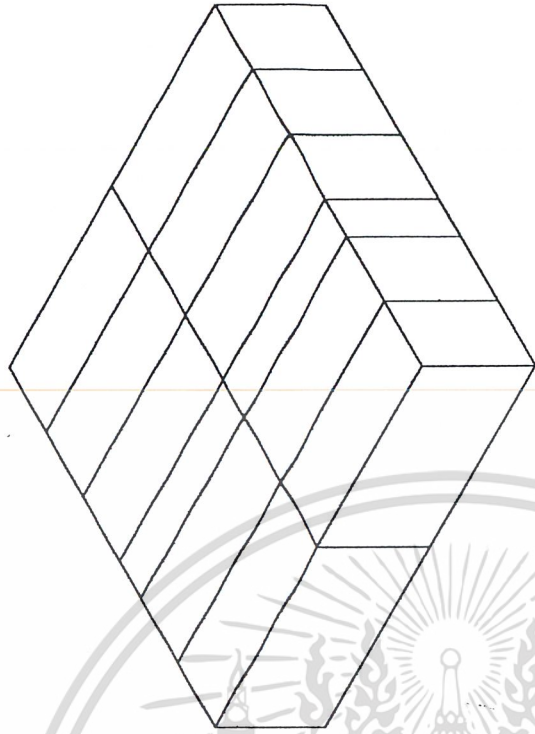
Part : โครงเตาเผา

Project : Electrical Furnace

Code : EF-1010

A-20

เอกสารนี้เป็นเอกสารที่สงวนไว้สำหรับการใช้งานเพื่อการศึกษาเท่านั้น ไม่อนุญาตให้นำไปใช้ประโยชน์ด้านการค้า  
ไม่ว่ากรณีใดๆ ทั้งสิ้น อีกทั้งห้ามมิให้ตัดแปลงเนื้อหา และต้องอ้างอิงถึงเจ้าของเอกสารทุกครั้งที่มีการนำไปใช้



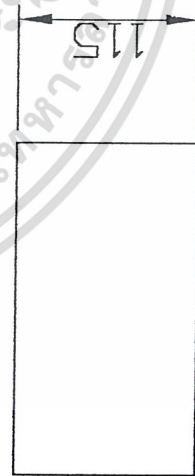
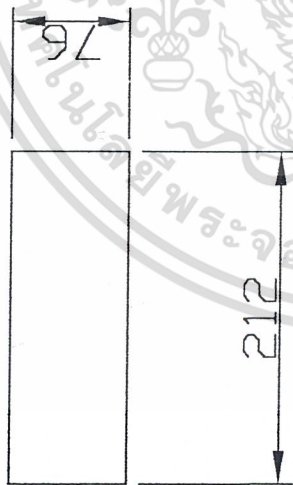
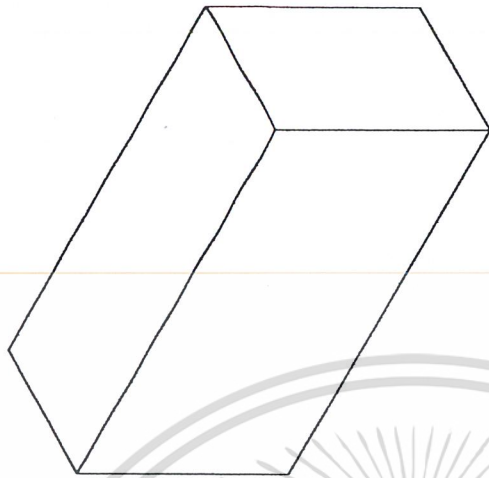
A-21

King Mongkut's Institute of Technology Ladkrabang

Project : Electrical Furnace Part : อิฐก่อฝาเตา

Code : EF-1020

เอกสารนี้เป็นเอกสารที่สงวนไว้สำหรับการใช้งานเพื่อการศึกษาเท่านั้น ไม่อนุญาตให้นำไปใช้ประโยชน์ด้านการค้า  
ไม่ว่ากรณีใดๆ ทั้งสิ้น อีกทั้งห้ามมิให้ตัดแปลงเนื้อหา และต้องอ้างอิงถึงเจ้าของเอกสารทุกครั้งที่มีการนำไปใช้



King Mongkut's Institute of Technology Ladkrabang

Project : Electrical Furnace Part : อิฐก่อฟาตาแยกส่วน

Code : EF-1021

A-22

เอกสารนี้เป็นเอกสารที่สงวนไว้สำหรับการใช้งานเพื่อการศึกษาเท่านั้น ไม่อนุญาตให้นำไปใช้ประโยชน์ด้านการค้า  
ไม่ว่ากรณีใดๆ ทั้งสิ้น อีกทั้งห้ามมิให้ตัดแปลงเนื้อหา และต้องอ้างอิงถึงเจ้าของเอกสารทุกครั้งที่มีการนำไปใช้



8.0

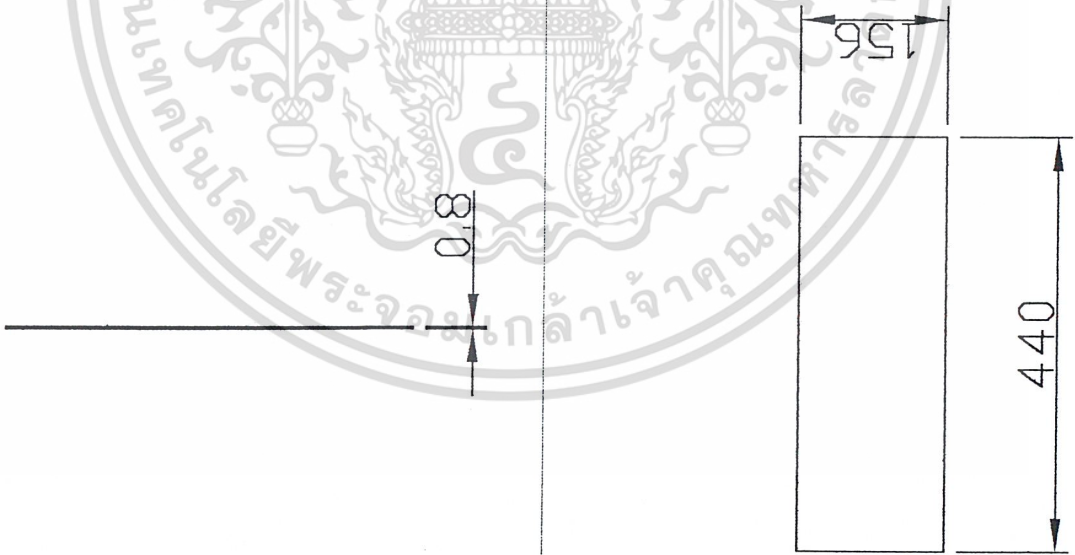
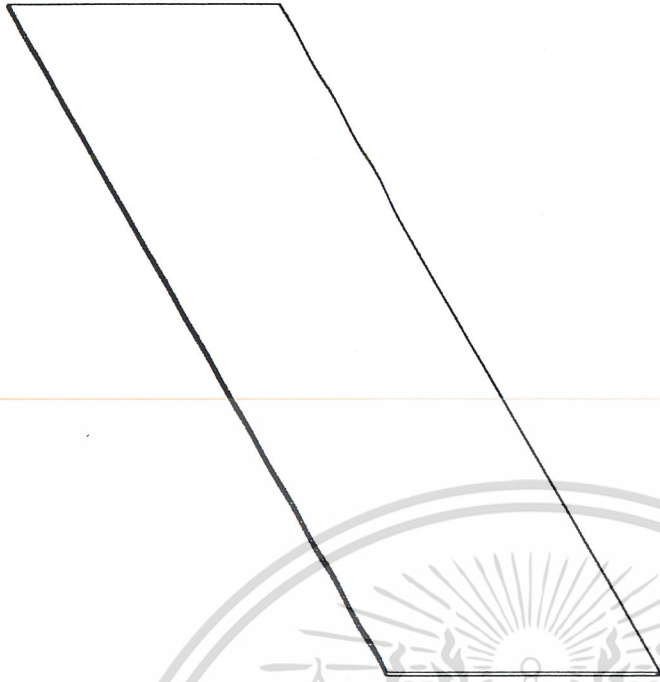
156

444

King Mongkut's Institute of Technology Ladkrabang	
Project : Electrical Furnace	Part : เหล็กปิดฝาหน้า-หลัง
Code : EF-1030	

A-23

เอกสารนี้เป็นเอกสารที่สงวนไว้สำหรับการใช้งานเพื่อการศึกษาเท่านั้น ไม่อนุญาตให้นำไปใช้ประโยชน์ด้านการค้า  
ไม่ว่ากรณีใดๆ ทั้งสิ้น อีกทั้งห้ามมิให้ตัดแปลงเนื้อหา และต้องอ้างอิงถึงเจ้าของเอกสารทุกครั้งที่มีการนำไปใช้



King Mongkut's Institute of Technology Ladkrabang

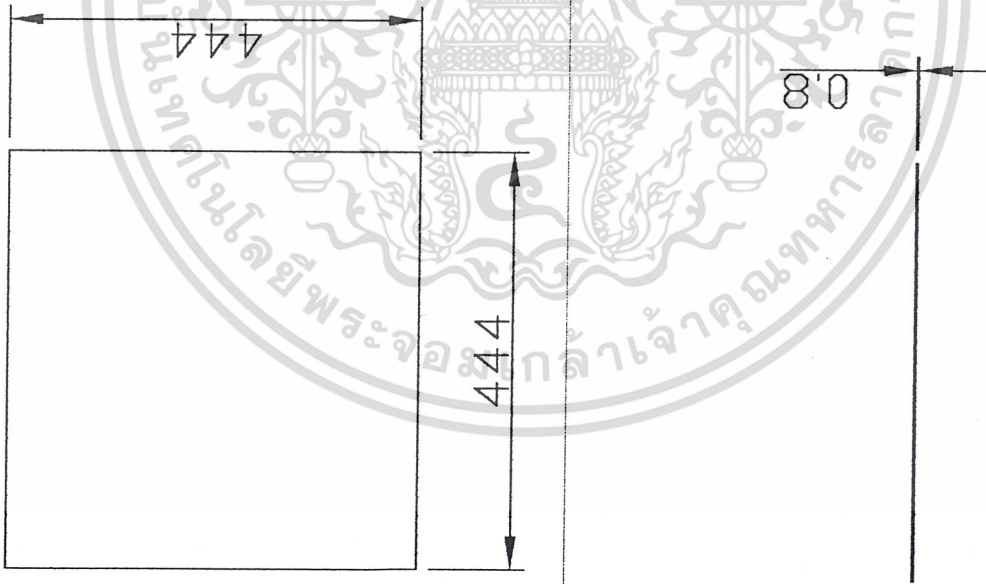
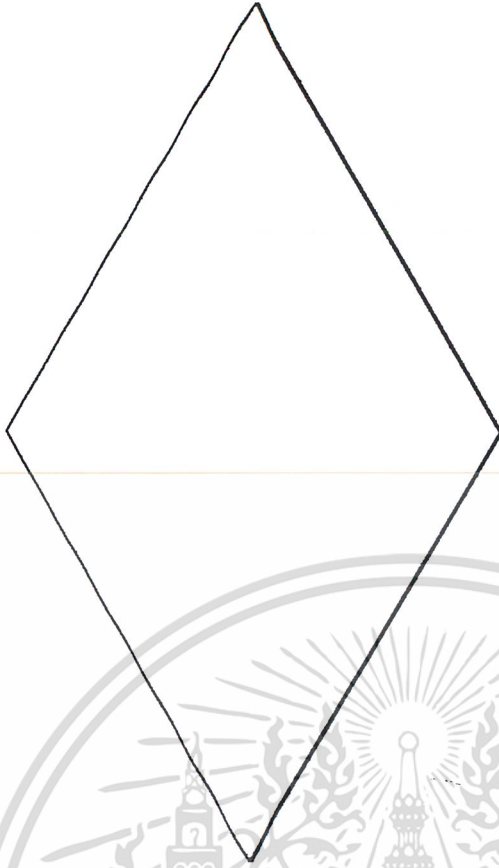
Project : Electrical Furnace

Part : เหล็กปิดฝาซ้าย-ขวา

Code : EF-1040

A-24

เอกสารนี้เป็นเอกสารที่สงวนไว้สำหรับการใช้งานเพื่อการศึกษาเท่านั้น ไม่อนุญาตให้นำไปใช้ประโยชน์ด้านการค้า  
ไม่ว่ากรณีใดๆ ทั้งสิ้น อีกทั้งห้ามมิให้ตัดแปลงเนื้อหา และต้องอ้างอิงถึงเจ้าของเอกสารทุกครั้งที่มีการนำไปใช้



King Mongkut's Institute of Technology Ladkrabang

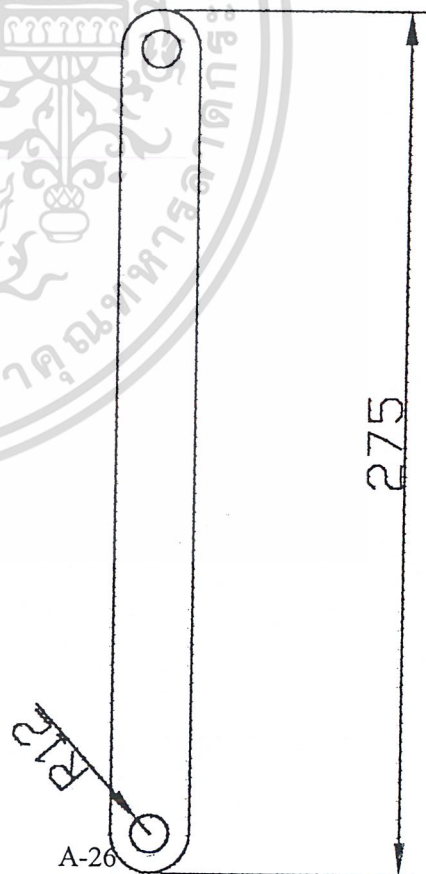
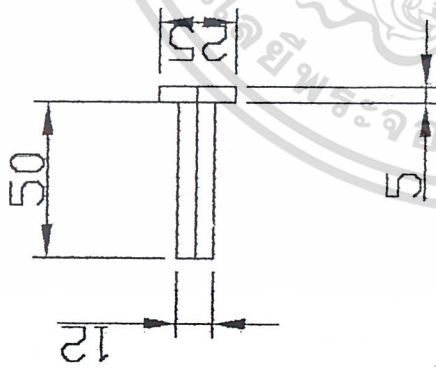
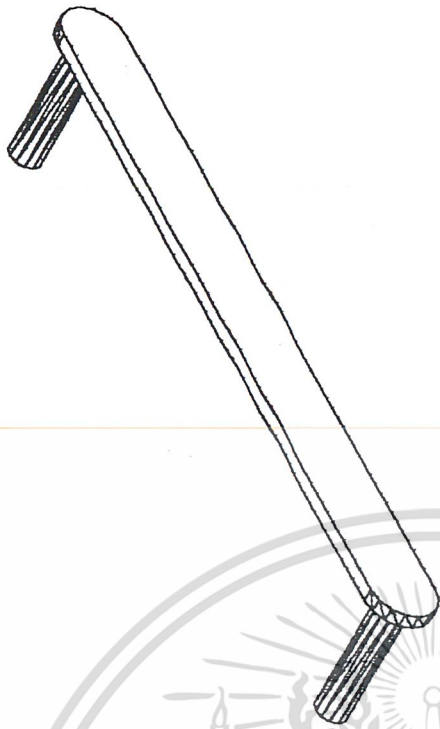
Part : เหน็ดปิดฝาหม

Project : Electrical Furnace

Code : EF-1050

A-25

เอกสารนี้เป็นเอกสารที่สงวนไว้สำหรับการใช้งานเพื่อการศึกษาเท่านั้น ไม่อนุญาตให้นำไปใช้ประโยชน์ด้านการค้า  
ไม่ว่ากรณีใดๆ ทั้งสิ้น อีกทั้งห้ามมิให้ดัดแปลงเนื้อหา และต้องอ้างอิงถึงเจ้าของเอกสารทุกครั้งที่มีการนำไปใช้



King Mongkut's Institute of Technology Ladkrabang

Project : Electrical Furnace Part : Handle

Code : EF-2000

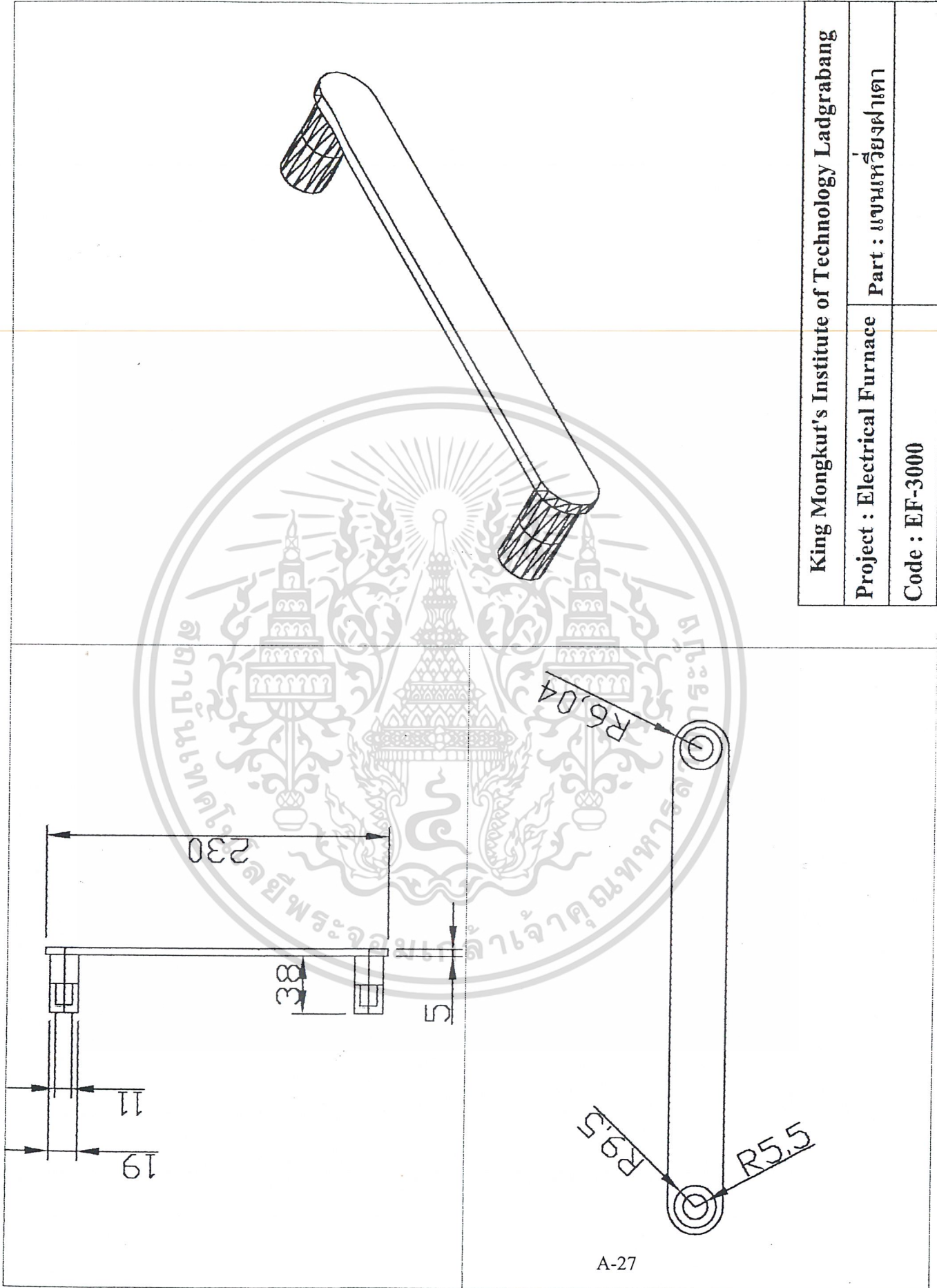
เอกสารนี้เป็นเอกสารที่สงวนไว้สำหรับการใช้งานเพื่อการศึกษาเท่านั้น ไม่อนุญาตให้นำไปใช้ประโยชน์ด้านการค้า  
ไม่ว่ากรณีใดๆ ทั้งสิ้น อีกทั้งห้ามมิให้ดัดแปลงเนื้อหา และต้องอ้างอิงถึงเจ้าของเอกสารทุกครั้งที่มีการนำไปใช้

King Mongkut's Institute of Technology Ladkrabang

Part : แขนหิ้วไฟฟ้าเตา

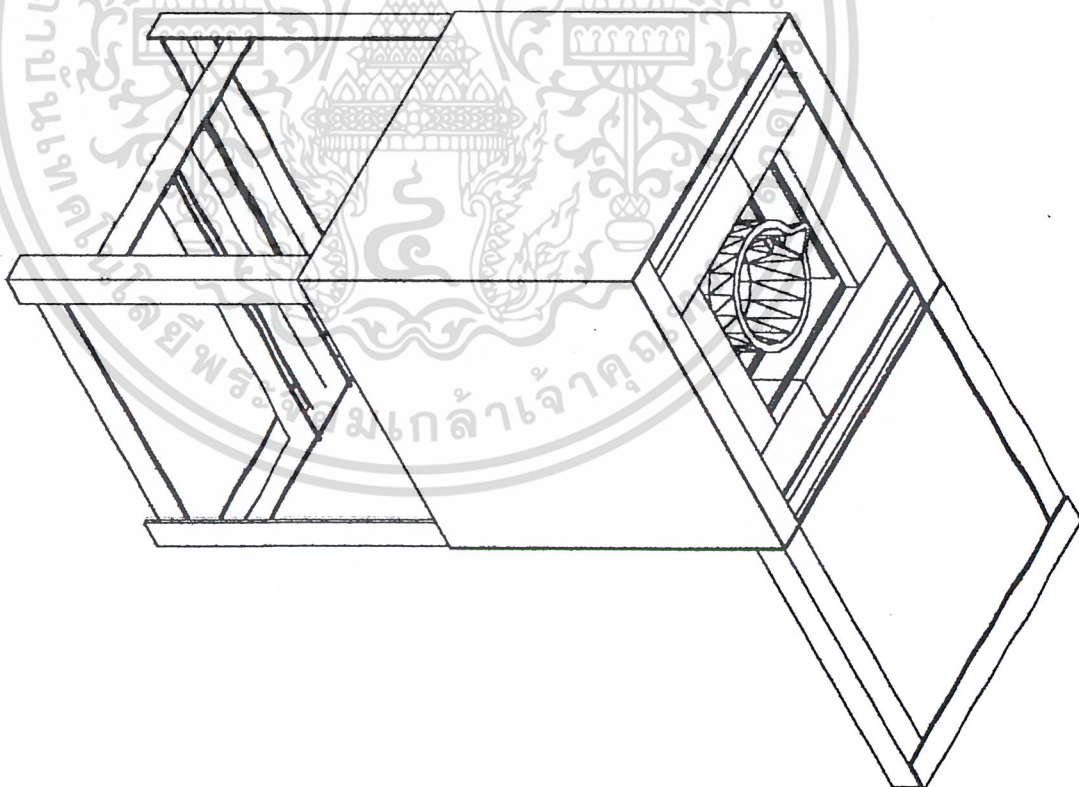
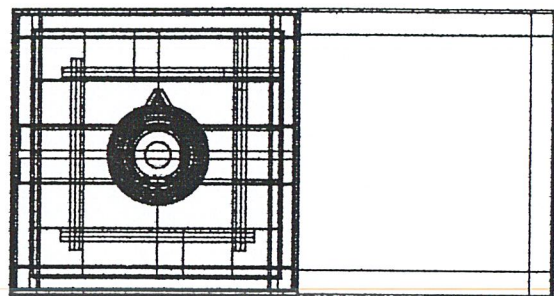
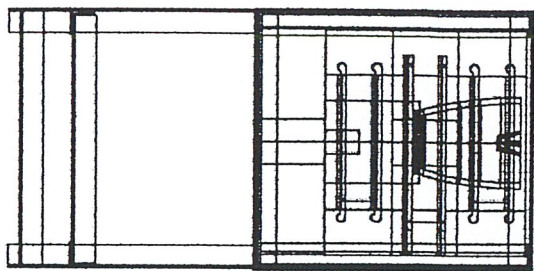
Project : Electrical Furnace

Code : EF-3000



A-27

เอกสารนี้เป็นเอกสารที่สงวนไว้สำหรับการใช้งานเพื่อการศึกษาเท่านั้น ไม่อนุญาตให้นำไปใช้ประโยชน์ด้านการค้า  
ไม่ว่ากรณีใดๆ ทั้งสิ้น อีกทั้งห้ามมิให้ตัดแปลงเนื้อหา และต้องอ้างอิงถึงเจ้าของเอกสารทุกครั้งที่มีการนำไปใช้

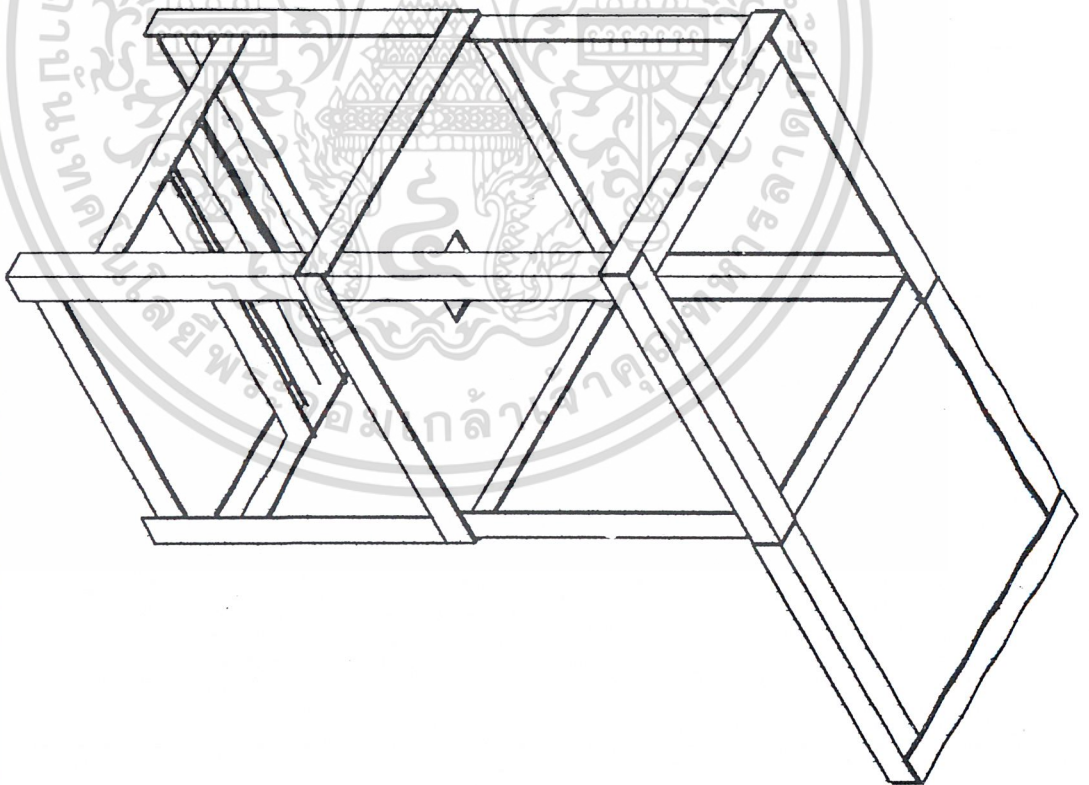
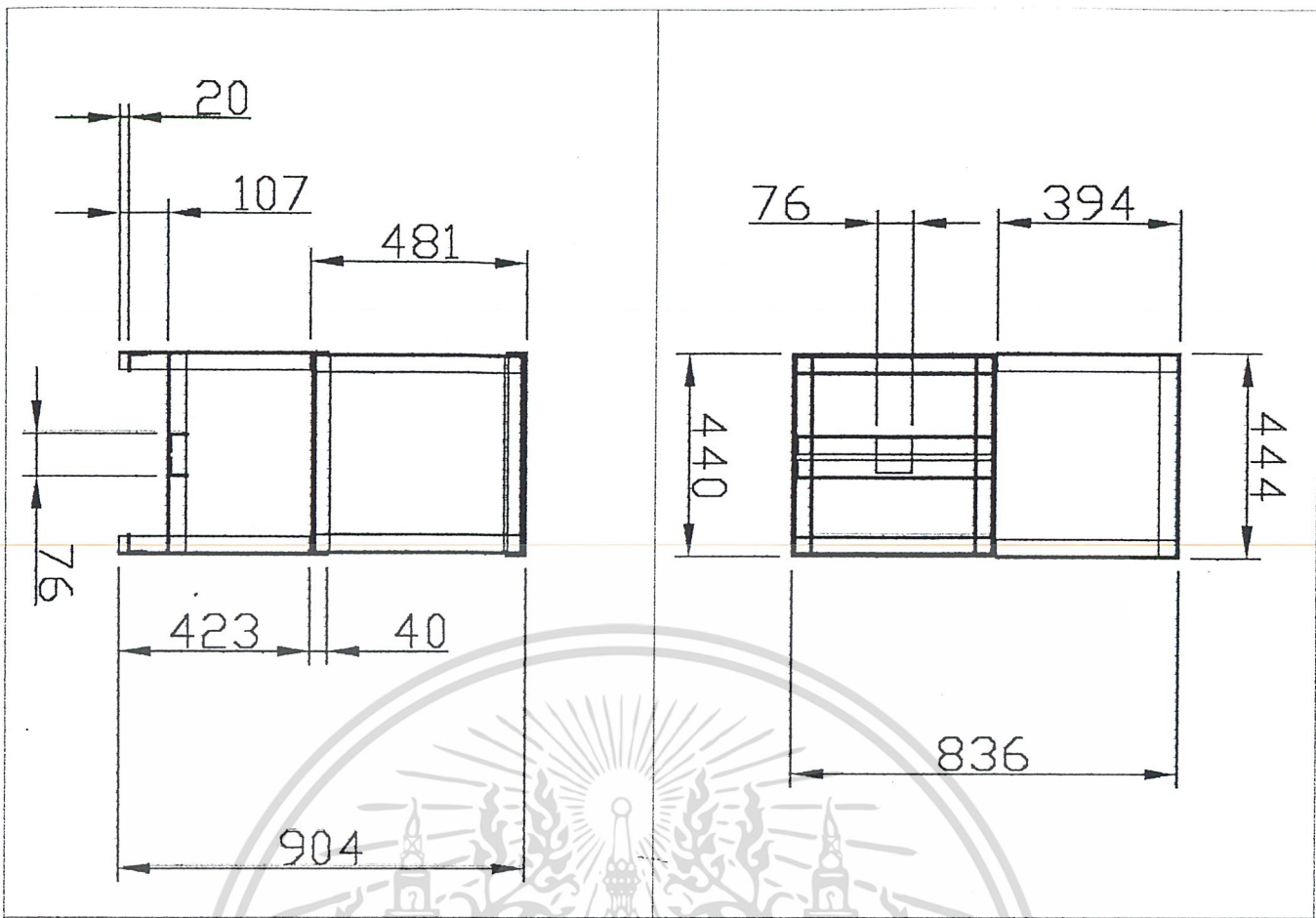


King Mongkut's Institute of Technology Ladkrabang

Project : Electrical Furnace

Part : ตัวเตาหลอม

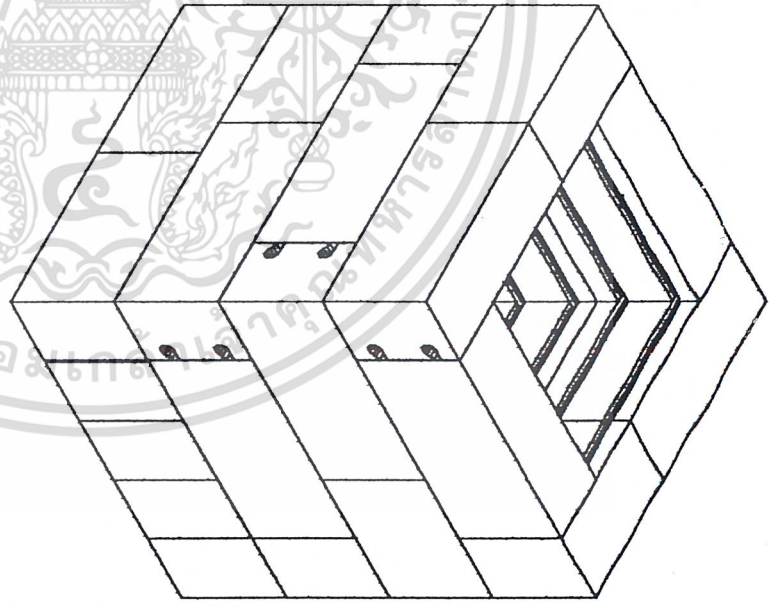
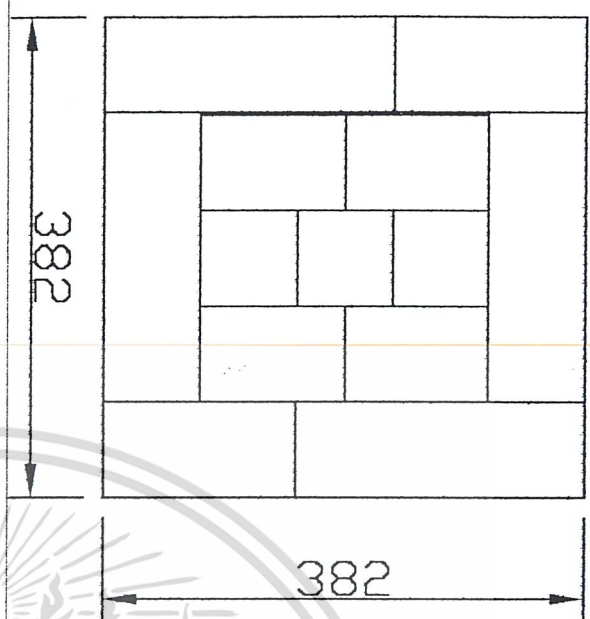
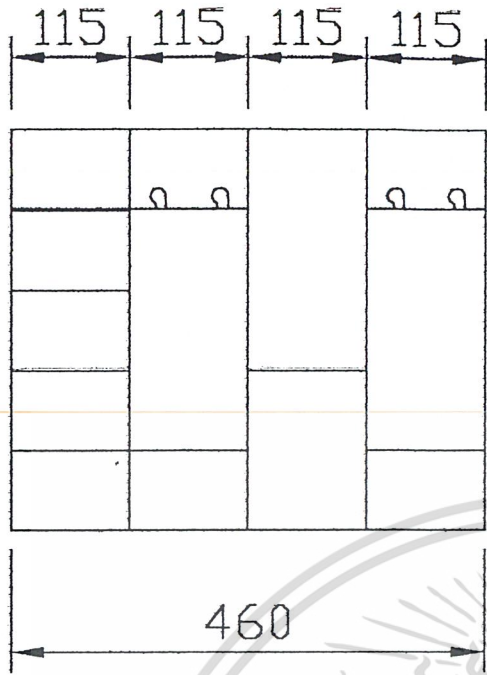
Code : EF-4000



<b>King Mongkut's Institute of Technology Ladkrabang</b>	
<b>Project : Electrical Furnace</b>	<b>Part : โครงตาพอลอย</b>
<b>Code : EF-4010</b>	

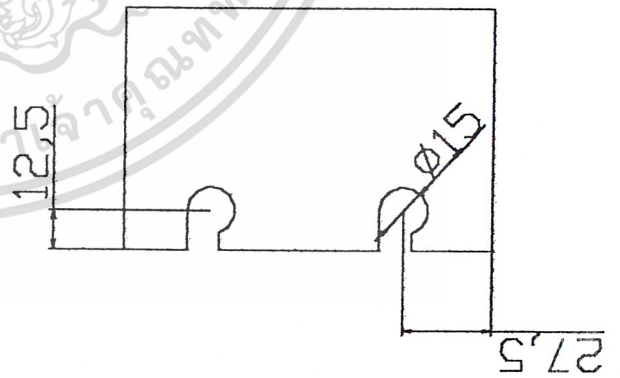
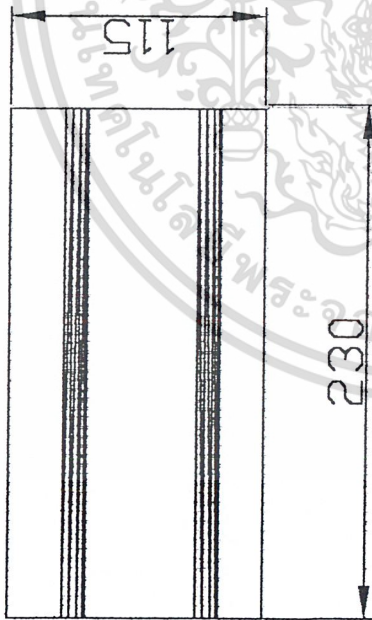
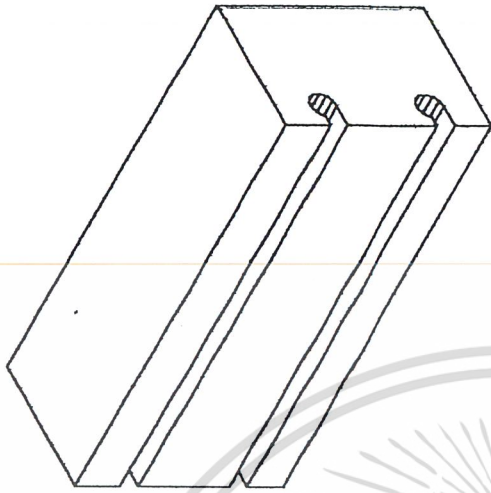
A-29

เอกสารนี้เป็นเอกสารที่สงวนไว้สำหรับการใช้งานเพื่อการศึกษาเท่านั้น ไม่อนุญาตให้นำไปใช้ประโยชน์ด้านการค้า  
ไม่ว่ากรณีใดๆ ทั้งสิ้น อีกทั้งห้ามมิให้ตัดแปลงเนื้อหา และต้องอ้างอิงถึงเจ้าของเอกสารทุกครั้งที่มีการนำไปใช้



King Mongkut's Institute of Technology Ladkrabang	
Project : Electrical Furnace	Part : อิฐก่อตัวเตา
Code : EF-4020	

เอกสารนี้เป็นเอกสารที่สงวนไว้สำหรับการใช้งานเพื่อการศึกษาเท่านั้น ไม่อนุญาตให้นำไปใช้ประโยชน์ด้านการค้า  
ไม่ว่ากรณีใดๆ ทั้งสิ้น อีกทั้งห้ามมิให้ดัดแปลงเนื้อหา และต้องอ้างอิงถึงเจ้าของเอกสารทุกครั้งที่มีการนำไปใช้



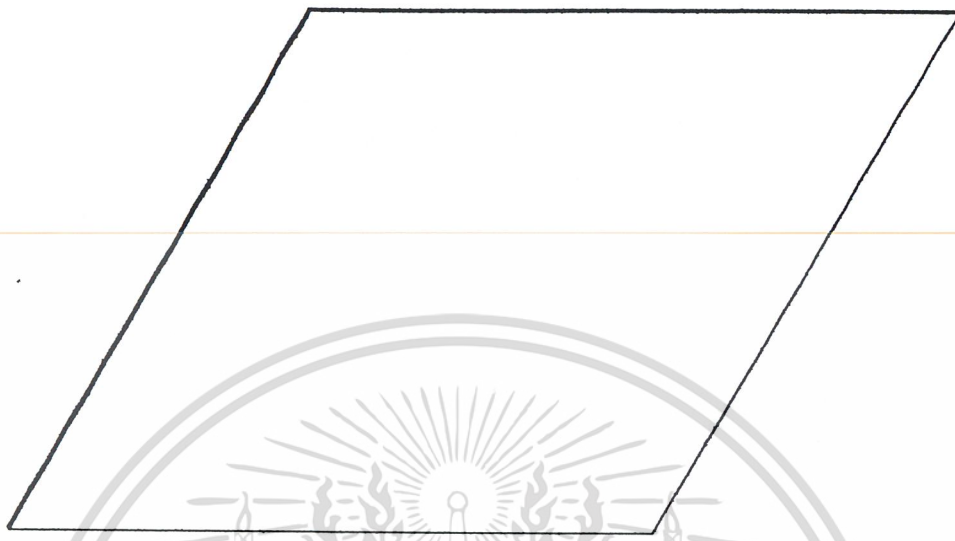
A-31

King Mongkut's Institute of Technology Ladkrabang

Project : Electrical Furnace Part : อิฐเซรามิก

Code : EF-4021

เอกสารนี้เป็นเอกสารที่สงวนไว้สำหรับการใช้งานเพื่อการศึกษาเท่านั้น ไม่อนุญาตให้นำไปใช้ประโยชน์ด้านการค้า  
ไม่ว่ากรณีใดๆ ทั้งสิ้น อีกทั้งห้ามมิให้ตัดแปลงเนื้อหา และต้องอ้างอิงถึงเจ้าของเอกสารทุกครั้งที่มีการนำไปใช้



King Mongkut's Institute of Technology Ladkrabang

Project : Electrical Furnace

Part :

เหล็กแผ่นหน้า-หลังของเตา

Code : EF-4030

0.8

477

444

A-32

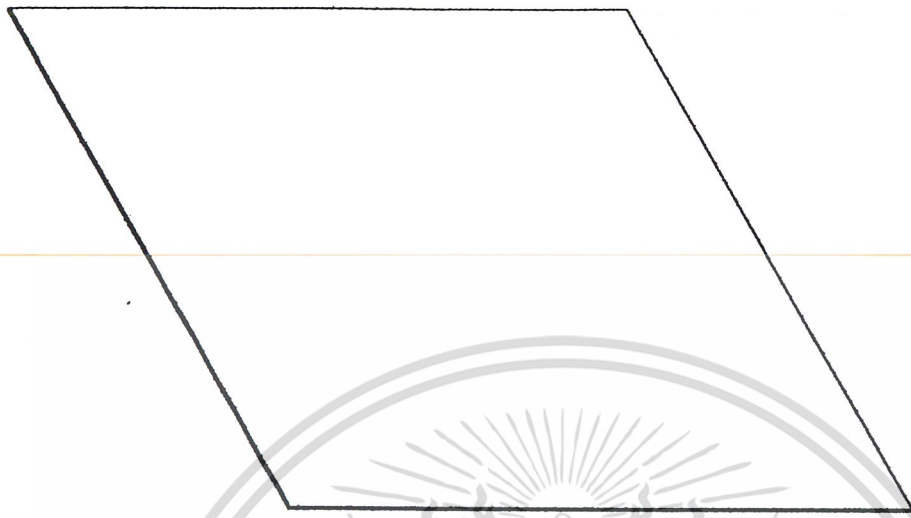
เอกสารนี้เป็นเอกสารที่สงวนไว้สำหรับการใช้งานเพื่อการศึกษาเท่านั้น ไม่อนุญาตให้นำไปใช้ประโยชน์ด้านการค้า  
ไม่ว่ากรณีใดๆ ทั้งสิ้น อีกทั้งห้ามมิให้ดัดแปลงเนื้อหา และต้องอ้างอิงถึงเจ้าของเอกสารทุกครั้งที่มีการนำไปใช้

King Mongkut's Institute of Technology Ladkrabang

Part : **เหล็กแผ่นท้าย-ขาของเตา**

Project : **Electrical Furnace**

Code : **EF-4040**



0.8

477

440

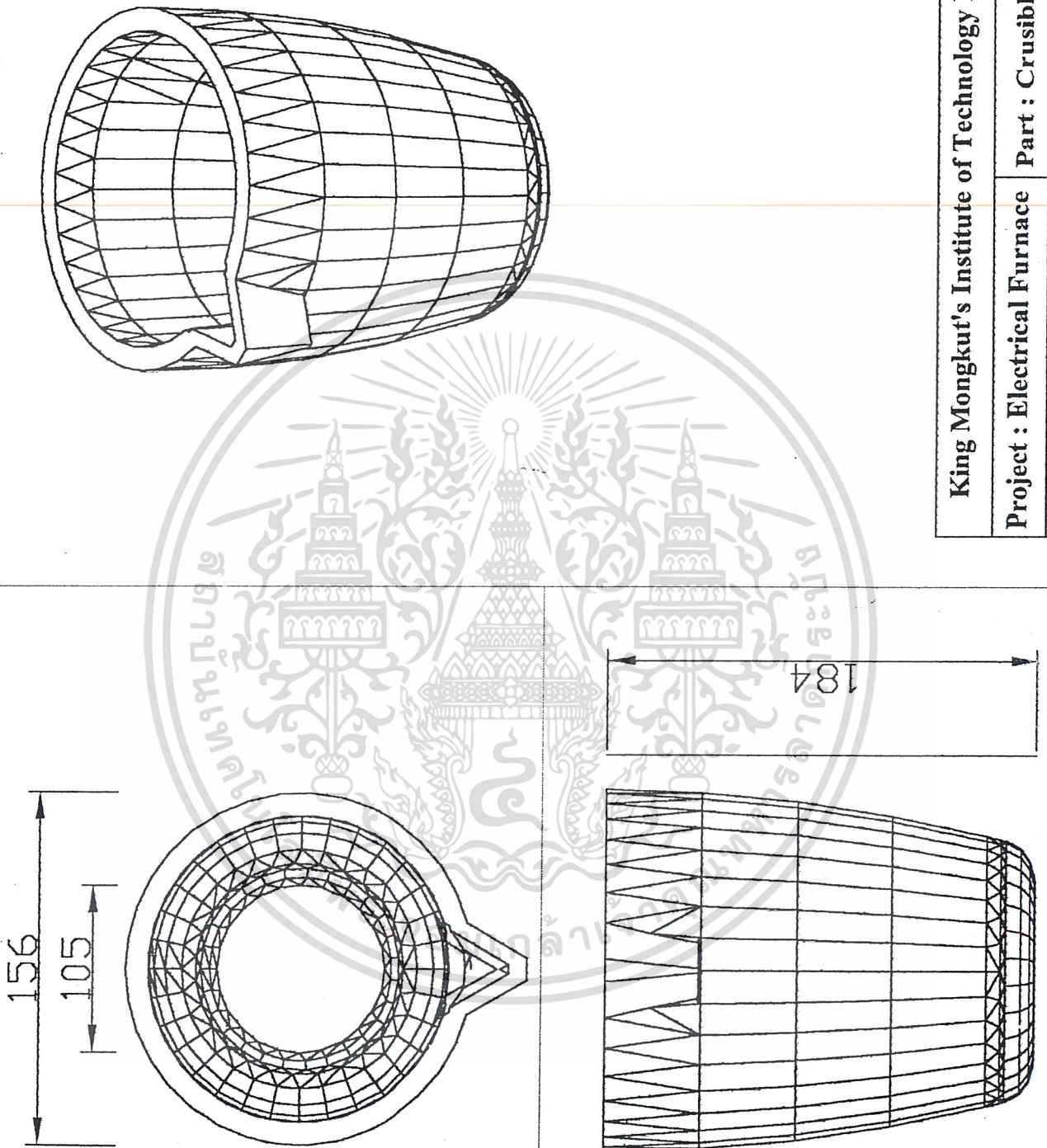
A-33

เอกสารนี้เป็นเอกสารที่สงวนไว้สำหรับการใช้งานเพื่อการศึกษาเท่านั้น ไม่อนุญาตให้นำไปใช้ประโยชน์ด้านการค้า  
ไม่ว่ากรณีใดๆ ทั้งสิ้น อีกทั้งห้ามมิให้ดัดแปลงเนื้อหา และต้องอ้างอิงถึงเจ้าของเอกสารทุกครั้งที่มีการนำไปใช้

King Mongkut's Institute of Technology Ladkrabang

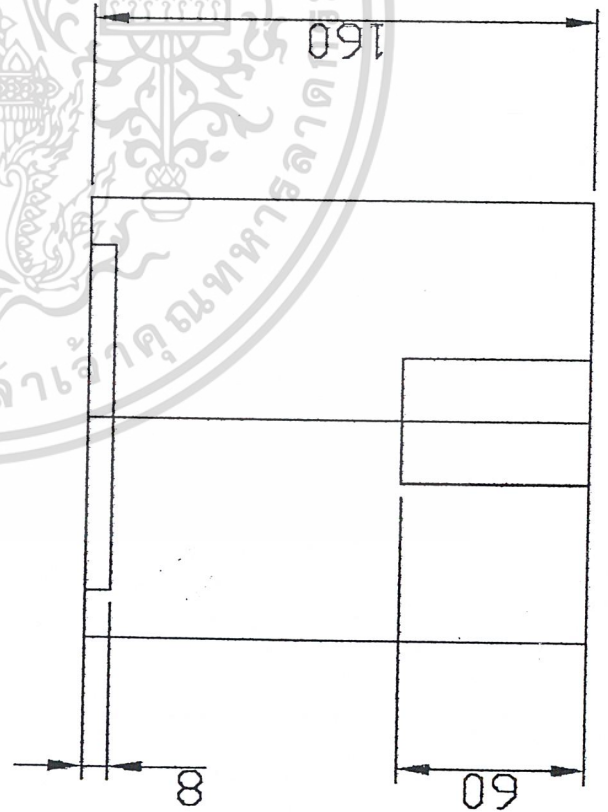
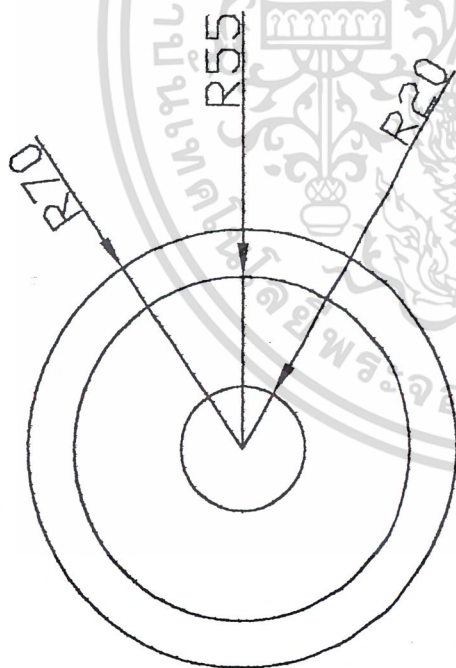
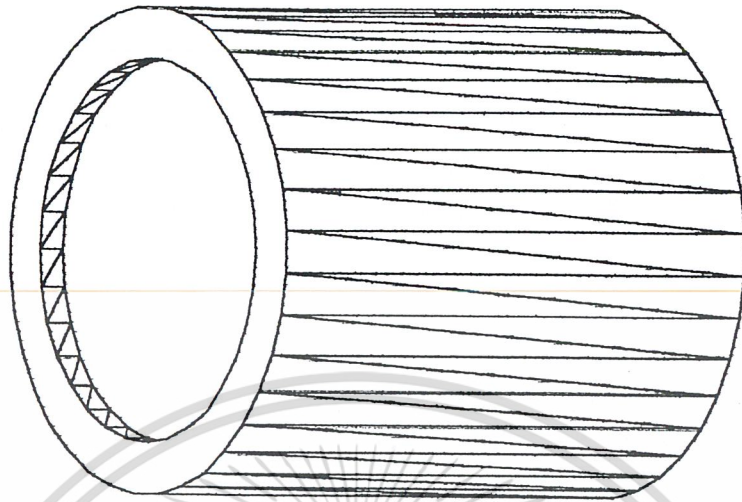
Project : Electrical Furnace Part : Crucible

Code : EF-5000



A-34

เอกสารนี้เป็นเอกสารที่สงวนไว้สำหรับการใช้งานเพื่อการศึกษาเท่านั้น ไม่อนุญาตให้นำไปใช้ประโยชน์ด้านการค้า  
ไม่ว่ากรณีใดๆ ทั้งสิ้น อีกทั้งห้ามมิให้ตัดแปลงเนื้อหา และต้องอ้างอิงถึงเจ้าของเอกสารทุกครั้งที่มีการนำไปใช้



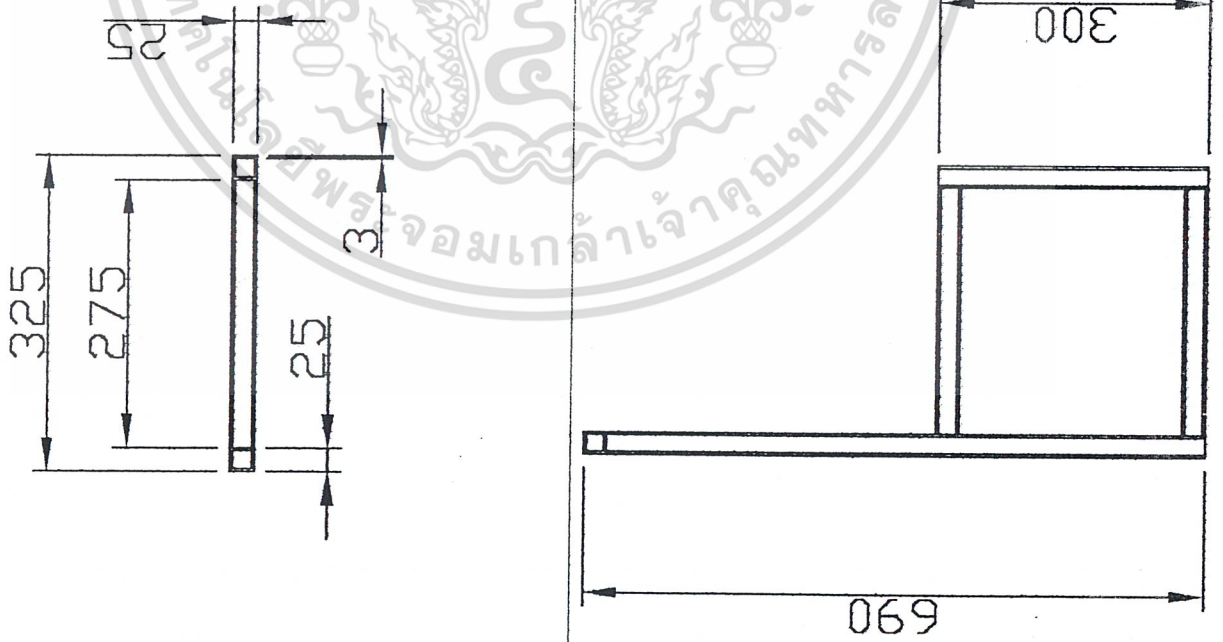
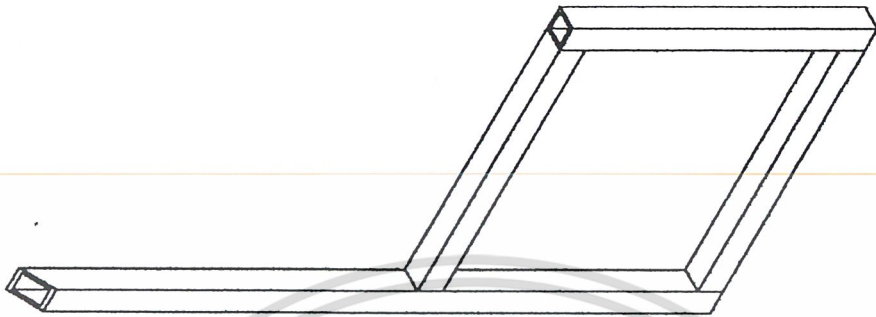
A-35

King Mongkut's Institute of Technology Ladkrabang

Project : Electrical Furnace Part : ฐานรองเบ้า

Code : EF-6000

เอกสารนี้เป็นเอกสารที่สงวนไว้สำหรับการใช้งานเพื่อการศึกษาเท่านั้น ไม่อนุญาตให้นำไปใช้ประโยชน์ด้านการค้า  
ไม่ว่ากรณีใดๆ ทั้งสิ้น อีกทั้งห้ามมิให้ตัดแปลงเนื้อหา และต้องอ้างอิงถึงเจ้าของเอกสารทุกครั้งที่มีการนำไปใช้



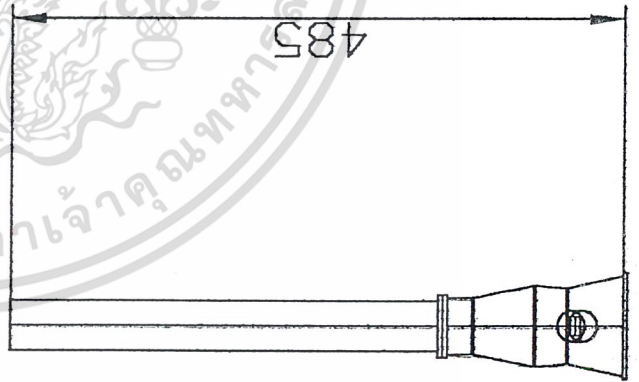
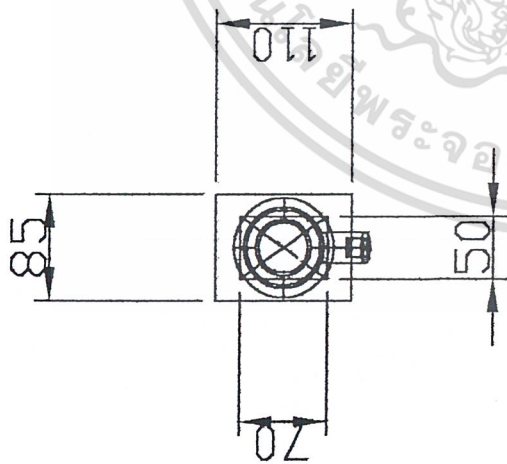
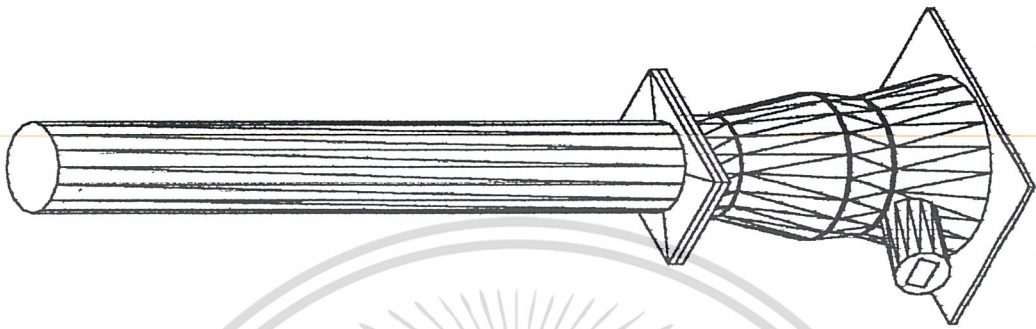
A-36

King Mongkut's Institute of Technology Ladkrabang

Project : Electrical Furnace Part : โครงติดตั้งควบคุม

Code : EF-7000

เอกสารนี้เป็นเอกสารที่สงวนไว้สำหรับการใช้งานเพื่อการศึกษาเท่านั้น ไม่อนุญาตให้นำไปใช้ประโยชน์ด้านการค้า  
ไม่ว่ากรณีใดๆ ทั้งสิ้น อีกทั้งห้ามมิให้ดัดแปลงเนื้อหา และต้องอ้างอิงถึงเจ้าของเอกสารทุกครั้งที่มีการนำไปใช้



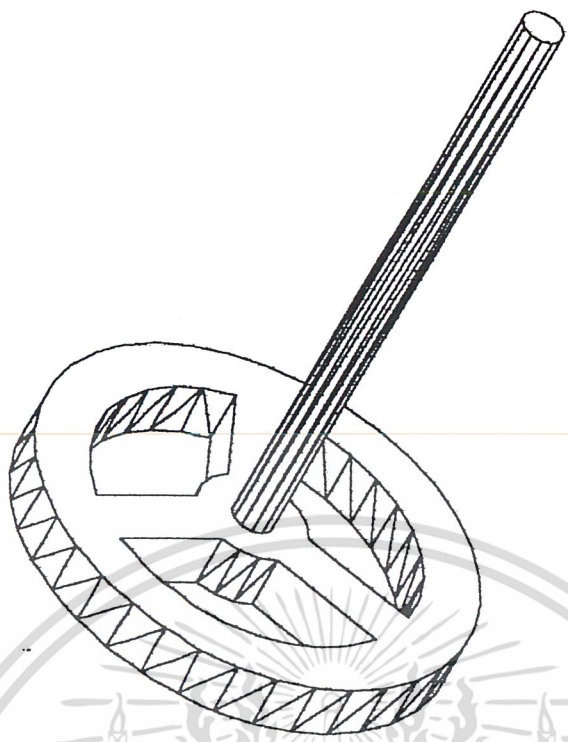
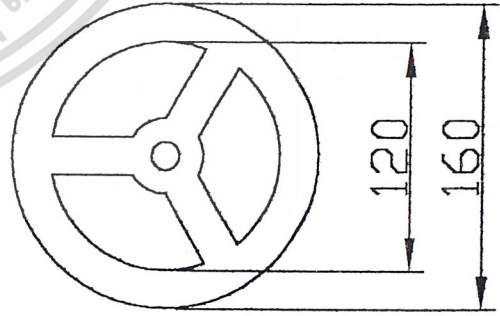
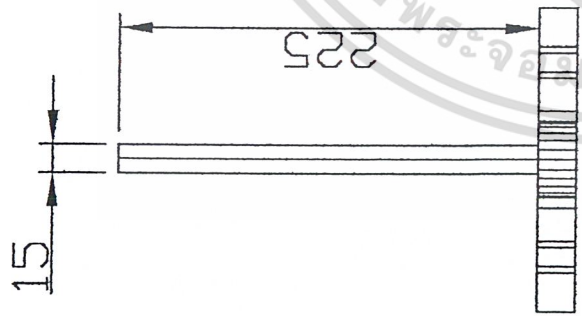
King Mongkut's Institute of Technology Ladkrabang

Project : Electrical Furnace Part : ชุดยกน้ำหนัก

Code : EF-8000

A-37

เอกสารนี้เป็นเอกสารที่สงวนไว้สำหรับการใช้งานเพื่อการศึกษาเท่านั้น ไม่อนุญาตให้นำไปใช้ประโยชน์ด้านการค้า  
ไม่ว่ากรณีใดๆ ทั้งสิ้น อีกทั้งห้ามมิให้ตัดแปลงเนื้อหา และต้องอ้างอิงถึงเจ้าของเอกสารทุกครั้งที่มีการนำไปใช้



King Mongkut's Institute of Technology Ladkrabang	
Project : Electrical Furnace	Part : พวงมาลัยชุดยกเบ้าหลอม
Code : EF-9000	

A-38

เอกสารนี้เป็นเอกสารที่สงวนไว้สำหรับการใช้งานเพื่อการศึกษาเท่านั้น ไม่อนุญาตให้นำไปใช้ประโยชน์ด้านการค้า  
ไม่ว่ากรณีใดๆ ทั้งสิ้น อีกทั้งห้ามมิให้ดัดแปลงเนื้อหา และต้องอ้างอิงถึงเจ้าของเอกสารทุกครั้งที่มีการนำไปใช้

**INSTALLATION**

Install the 9900 controller in panel **see 10.2**  
Wire up connections **see 10.1**

**TO SELECT SENSOR AND ADJUST SET POINT**

Step 1

POWER UP  
Self check sequence



Step 2

ZERO FLASHES ON LEFT  
Indicating no sensor selected



Note  
Buttons only adjust flashing digits  
(shown green)

Step 3

PRESS **▲** TO SELECT  
SENSOR e.g. Type K - 2  
Sensor options:  
(For full table **see 8**)



J	1	R	4	E	7	RTD	9
K	2	S	5	L	8	PT100	
N	3	T	6	B	10		

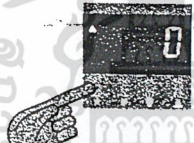
Step 4

PRESS **P** TO ENTER  
SENSOR INTO MEMORY  
Display shows process  
temperature e.g. Ambient



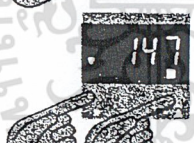
Step 5

PRESS **\*** TO DISPLAY  
SET POINT



Step 6

PRESS AND HOLD **\***  
TO INCREASE  
SET POINT  
PRESS **▲**



Output turns on and temperature rises.

The controller is now  
operational with  
factory PID settings:

Prop band 2.5%  
Prop time 20 sec  
Derivative 25 sec  
Integral 5 min  
DAC approach  
control 15

**IMPORTANT - Please read before using Autotune AT**

- 1 If required adjust: Range, Hi-res 0.1°, Negative temperature ranging, **see 8**
- 2 Proportional cycle-time: 20 sec factory set, if unsuitable change now or use Autotune calculated value after tuning run **see 6**
- 3 For best results use normal set point and load conditions
- 4 Start Autotune AT with the load cool

**TO AUTOTUNE**

Step 7

START AUTOTUNE 'AT'  
NEAR AMBIENT

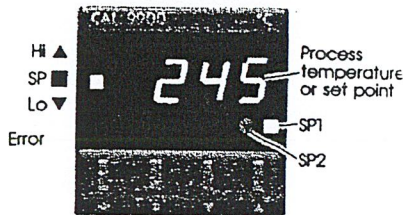


**AUTOTUNE PID TEMPERATURE CONTROLLER  
INSTALLATION AND OPERATING MANUAL**



**CAL Controls**

The CAL 9900 microprocessor based temperature controller provides precise control with a minimum of setting up, the advanced Autotune algorithm tunes all five control parameters automatically. The simple setting up procedure below is normally sufficient, specialised applications may need the comprehensive 9900 features covered in this manual.



\* View set point  
\* Decrease  
\* Increase

**KEY CONTENTS GUIDE**  
2.3.1 Autotune AT (Push-to-Tune)  
2.3.2 Autotune PT (Push-to-Tune)  
2.3.3 Autotune AT (Push-to-Tune)  
2.3.4 Autotune AT (Push-to-Tune)  
2.3.5 Autotune AT (Push-to-Tune)  
2.3.6 Autotune AT (Push-to-Tune)  
2.3.7 Autotune AT (Push-to-Tune)  
2.3.8 Autotune AT (Push-to-Tune)  
2.3.9 Autotune AT (Push-to-Tune)  
2.3.10 Autotune AT (Push-to-Tune)

Step 8

PRESS **P** TO ACCESS  
PROGRAM MODE  
Function 0 flashes  
on right



Step 9

PRESS **\*** TO CHANGE  
TO OPTION SELECTION  
Option 0 flashes  
on left



Step 10

PRESS **▲** TO SELECT  
AUTOTUNE 'AT'  
Option 1



Step 11

PRESS **P** TO START  
AUTOTUNE 'AT'



AT and Process  
temperature displayed  
alternately during  
Autotune



**Autotuned parameters Autotune limits**

Entered automatically:  
Proportional band/Gain 0.5 - 2C<sub>0</sub> c/range  
Integral time/Reset 0.2 - 43.5 min  
Derivative time/Rate 1.0 - 255 sec  
DAC approach control 0.5 - 9.0 x gain

Proportional cycle time 0.8 - 819 sec

Calculated but for safety reasons needs manual acceptance **see 6**

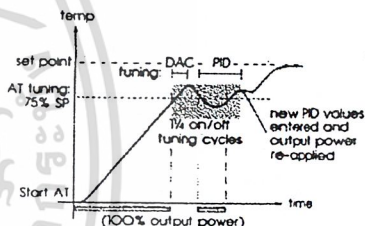


Fig. 1 Autotune AT

**3.2 AUTOTUNE PT (Push-to-Tune)  
Select Opt 2 at 2 step 10**

Used to fine tune difficult applications at set point. Useful if the set point or thermal conditions are substantially changed. During PT tuning some overshoot will occur. If this is unacceptable, temporarily reduce set point. PT tunes the parameters listed above except DAC. Proportional cycle time is re-calculated but needs manual acceptance

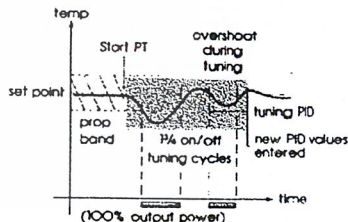


Fig. 2 Autotune PT

**3.3 OVERRIDING AUTOTUNE VALUES**

After AT/PT any Autotuned parameter may be changed to an Option from the table. The original Autotuned value is retained in memory. Note Subsequent Autotune AT or PT run replaces manual selections with new calculated values (except Cycle time)

**AUTOTUNE TYPES AND USES**

Two types of Autotune are provided to ensure optimum control of a wide range of applications

**AUTOTUNE AT** - Normal method, tunes during warm up

**AUTOTUNE PT** - (Push-to-Tune) - For difficult applications, tunes at set point

**3.1 AUTOTUNE AT**

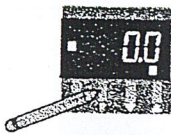
Start Autotune AT with the load cool. A short tuning cycle occurs at 75% set point during warm up. New PID values are automatically entered and the temperature rises to set point

#### 4 CONTROLLER FUNCTIONS DISPLAY AND SELECTION PROCEDURE

The facilities of the 9900 are selected from the Functions and Options Table **see 8** using program mode Functions (Fn) - The available controller facilities  
Options (Opt) - The available values for each Function e.g. Functions 5 Option O (Fn 5/Opt O) = SP1 Prop band of 2.5%  
Note 1 Should difficulty occur in adjusting Options check the Parameter lock **see 14**  
Note 2 Normal control is maintained with existing settings during programming

##### 4.1 Step 1

PRESS **P** TO ENTER PROGRAM MODE



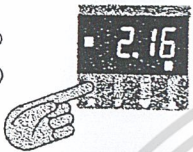
##### Step 2

PRESS AND HOLD **▲** INDEX TO FUNCTION  
e.g. Function 16 (Sensor select) flashes



##### Step 3

PRESS **\*** CHANGE TO OPTION SELECTION  
e.g. Option 2 (Type K)



##### Step 4

PRESS **▼** or **▲** SELECT OPTION REQUIRED  
e.g. Option 1 (Type J)



##### Step 5

PRESS **\*** CHANGE TO FUNCTION SELECTION  
Set other Functions as required



##### Step 6

PRESS **P** TO EXIT PROGRAM MODE WHEN SELECTIONS COMPLETE  
Process temperature displayed



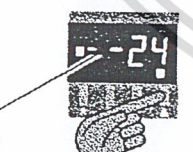
Control commences with new instructions now entered in memory

#### 4.2 MODE B - FUNCTION/OPTION DISPLAY PROCEDURE

Used in Function 2 to set full scale alarms and Function 24 - Range adjustment. Mode B enables all digits to be used for Options values

##### Step 1

PRESS **▲** TO INDEX TO FUNCTION  
e.g. Function 24 (Range adjustment) flashes  
Note 2 bars = Mode B



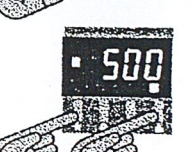
##### Step 2

PRESS **\*** TO DISPLAY OPTION VALUE  
e.g. Range 400° flashes



##### Step 3

PRESS AND HOLD **\*** PRESS **▲** TO INCREASE  
PRESS **▼** TO DECREASE OPTION VALUE



#### 5 AUTOTUNE HINTS

##### 5.1 Autotune error messages **see 11** (EE5-7)

(Latched: PRESS **▼▲** to reset)  
AT/PT tunes most applications satisfactorily, but if tuning fails and error messages repeatedly occur, the application has unusual characteristics requiring manual tuning **see 21**

##### 5.2 Tuning with set point near ambient

Difficult both to control and Autotune. Use PT. If tuning fails: try with Fn 5/Opt 1, otherwise increase set point or tune manually

##### 5.3 In High Resolution (O.1%)

Should error message EE6 occur during tuning, select normal resolution (Fn 18/Opt O) then Autotune and afterwards re-select Hi-res. (check range setting Fn 24)

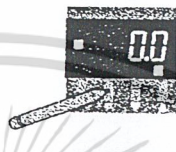
##### 5.4 AUTOTUNE VALUE DISPLAY

At the end of an Autotune run the AT value is automatically entered and may be displayed in Functions:

- 5 Prop band/Gain
- 6 Derivative time/Rate
- 7 DAC approach control
- 8 Integral time/Reset

##### Step 1

PRESS **P** TO ENTER PROGRAM MODE



##### Step 2

PRESS **▲** TO INDEX TO FUNCTION  
e.g. Function 5 Prop band  
AT value = 3.5%



Note 3 LED's show an AT value displayed

#### 6 PROPORTIONAL CYCLE TIME

##### 6.1 Autotuned cycle time

Autotune calculates the optimum value but for safety reasons does not automatically implement it

##### 6.2 If the cycle time needed is known

Applications known to require shorter times than the 20 sec factory setting, including SSR drive (1 sec), linear outputs (0.05 sec) should select the appropriate Option in Function 4 using the procedure **see 4**. This setting will not be changed, but may be replaced with the calculated AT value if preferred after the Autotune run

##### 6.3 Normal procedure

Run Autotune AT **see 2**. When complete (alternating AT display stops) display the AT calculated cycle time and accept if suitable, this will then replace the 20 sec factory setting

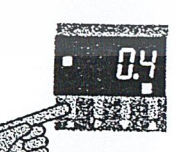
##### Step 1

Index to Function 4  
For procedure **see 4**  
Option O: 20 sec factory setting



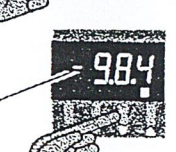
##### Step 2

PRESS **\*** TO CHANGE TO OPTION SELECTION



##### Step 3

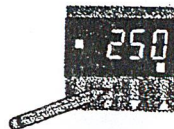
PRESS **▲** TO DISPLAY CALCULATED AT VALUE  
e.g. 9.8 sec  
Note flashing bar shows calculated AT value is displayed



##### Step 4

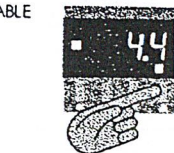
IF AT VALUE SUITABLE

PRESS **P** TO ACCEPT AT VALUE NOW OPERATIONAL



OR IF AT VALUE UNSUITABLE

PRESS **▲** TO SELECT A SUITABLE OPTION FROM TABLE  
e.g. Option 4, 30 sec

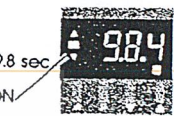


##### 6.4 AT Cycle time values In Function 4

Two AT cycle time values are stored, to enable the current operational value to be retained, until a new value from a subsequent Autotune run is considered  
Example of two AT cycle time values after a subsequent Autotune run:

##### Step 5

Index to Function 4  
Operational AT value - 9.8 sec  
As accepted previously (Step 4) Note 3 LED's ON



##### Step 6

PRESS **\*** TO CHANGE TO OPTION SELECTION

##### Step 7

PRESS **▲** TO DISPLAY Latest calculated AT value  
e.g. 7.2 sec  
Note Flashing bar



##### Step 8 Alternative actions:

PRESS **P** to accept the latest calculated AT value - 7.2 sec which replaces 9.8 sec as the operational AT value

OR PRESS **▼** to display current operational

AT value. Then PRESS **P** to retain 9.8 secs

OR PRESS **▲** to select Option from Table

#### 7 ALARMS

##### 7.1 SP2 Operating mode

The operating mode must be selected at Function 19 before adjusting SP2 at Function 2

##### 7.2 Alarm output operation

The alarm output is failsafe, SP2 relay is de-energised and SP2 red LED on during the alarm condition (Not with SP2 in Proportional mode)

##### 7.3 LBA - Loop break alarm **see Fig. 3**

LBA detects a control loop fault, and displays an error message (EE3). The alarm relay may be configured to act also LBA operates if the controller fails to receive the correct response to the output within a set time, technically: LBA occurs when SP1 output is saturated 0% or 100% and the process temperature fails to move a minimum 50% prop band in the LBA time: SP1 output state is unaffected by LBA alarm condition

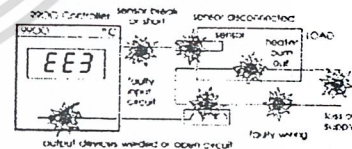


Fig. 3 Typical faults detected by LBA

##### 7.4 Selecting LBA - EE3 message only

1. Index to Function 12 - LBA time  
Option O - LBA OUT, displayed
2. PRESS **\*** to change to option selection
3. PRESS **▼** to select Option 14  
The recommended initial setting (2 x Integral time in use)
4. LBA alarm condition: EE3 displayed, alternating with process temperature display latches, to reset PRESS **▼▲** together  
To configure Alarm relay SP2 to LBA Select Option 6 in Function 19 (Relay latches in alarm condition, to reset PRESS **▼▲**.)  
Note Use LBA with SP2 ON/OFF mode only (Fn 10/Opt O). Reset EE3/Relay before any other program changes

**FUNCTIONS AND OPTION TABLE**  
 Page 2 of 10 - Important note: 1/11/11

- Factory setting:** is Option O (except Functions 2 and 22)
- Initial configuration:** Functions 16-24 must be selected first then entered into memory by exiting Program mode - see 4 then Autotune and other Functions may be selected

- Protected Functions:** All Functions, except User Settings (Functions 1, 2, 3) may be locked in memory after setting to prevent tampering. See 14 Parameter lock
- AT values (marked ▲ ▼):** As calculated on the latest AT or PT run

- Locating Functions:** Function O is the Program mode entry point  
 Pressing ▲ increments  
 ▼ moves direct to Function 13 for access to higher Functions  
 Hold pressed to auto index through table (Functions 13, 14, 25 are unused)

**OPERATING MODE** - Protected

- 0 Operating mode**
- O Normal Operation
  - 1 Start Autotune AT
  - 2 Start Autotune PT
  - 3 Park mode
  - 4 - 100 Manual heat %

**USER SETTINGS** - Unprotected

- Manual Reset (OUT IN PID)**  
 1° steps (max ±127° /50% prop band)
  - SP2 Adjust**  
 1° steps Factory setting 5°  
 SP2 mode must be selected in Function 19 before adjusting SP2
- | SP2 mode (Fn 19) | Option No. | Function 2 range |
|------------------|------------|------------------|
| Deviation alarm  | 1 - 3      | O - 127°         |
| Full scale alarm | 4 - 5      | O - *            |
| Cool strategy    | 7          | ±127°            |
- (\* Sensor range : Fn 16)
- SP1 Lock**
    - O Unlocked
    - 1 Locked

**OPERATIONAL PARAMETERS** - Protected

- SP1 Proportional cycle time**

O 20 sec	10 3 sec
1 1 sec	11 7 sec
2 5 sec	12 14 sec
3 10 sec	13 45 sec
4 30 sec	▲ Operational At value
5 60 sec	▼ Latest calculated AT value
6 0.05 sec	
7 ON/OFF	
8 0.3 sec	
9 2 sec	
- SP1 Proportional band/Gain**

O 2.5% CR	1.25%
1 0.5%	0.25%
2 1%	0.5%
3 2%	1%
4 3%	1.5%
5 5%	2.5%
6 10%	5%
7 20%	10%
8 1.5%	0.75%
9 4%	2%
10 6%	3%
11 7%	3.5%
12 8%	4%
13 14%	7%
14 100%	50%
- SP1 Derivative time/Rate**

O 25 sec	9 3 sec
1 OUT	10 7 sec
2 5 sec	11 15 sec
3 10 sec	12 20 sec
4 50 sec	13 35 sec
5 100 sec	14 75 sec
6 200 sec	▲ AT value
7 1 sec	▼
8 2 sec	

**OPERATIONAL PARAMETERS** ... continued

- SP1 DAC approach control**

O 1.5 x prop band	5 3.0
1 0.5	6 4.0
2 1.0	7 ▲ AT value
3 2.0	▼
4 2.5	
- SP1 Integral time**

O 5 min	8 0.2 min
1 OUT	9 7 min
2 0.5 min	10 13 min
3 1 min	11 25 min
4 2 min	12 33 min
5 3 min	13 43 min
6 10 min	14 ▲ AT value
7 18 min	▼
- Sensor error correction**  
 1° steps (±127° max)
- SP2 Proportional cycle time**

O ON/OFF	9 3 sec
1 1 sec	10 7 sec
2 5 sec	11 14 sec
3 10 sec	12 45 sec
4 20 sec	Non linear ranges for Cool strategy
5 60 sec	13 0.15-10 sec
6 0.05 sec	14 0.15-20 sec
7 30 sec	15 0.06-15 sec
8 2 sec	
- SP2 Proportional band/Gain**

O 2.5% CR	1.25%
1 0.5%	0.25%
2 1%	0.5%
3 2%	1%
4 3%	1.5%
5 5%	2.5%
6 10%	5%
7 20%	10%
8 1.5%	0.75%
9 4%	2%
10 6%	3%
11 7%	3.5%
12 8%	4%
13 14%	7%
14 100%	50%
- LBA ... Loop break alarm - time**

O OUT	9 30 min
1 1 min	10 40 min
2 2 min	11 50 min
3 4 min	12 70 min
4 6 min	13 90 min
5 8 min	Recommended initial setting:
6 10 min	14 2 x Operational Integral time
7 15 min	
8 20 min	
- Reset Functions 0 - 24 to factory settings**
  - O Normal
  - 1 Reset (Function 22 not reset)

**Abbreviations:**

- Fn - Function
- Opt - Option
- SR - Sensor range
- CR - Configured range

**INITIAL CONFIGURATION** - Protected

- Sensor Select and Range Table**

		Range Table			
		Type	Factory set	Sensor range (SR)	
	T/C	°C	°F	°C	°F
1	J	400	800	800	1470
2	K	400	800	1200	1999
3	N	400	800	1200	1999
4	R	1600	1999	1600	1999
5	S	1600	1999	1600	1999
6	T	250	500	250	500
7	E	500	1000	600	1100
8	L	400	800	800	1470
10	B	1600	1999	1800	1999

9 RTD  
 PTC100 200 400 400 750

Range minimum: 0°C/32°F  
 Except T/PT100  
 Factory set 0°C/32°F  
 Minimum available -200°C/°F

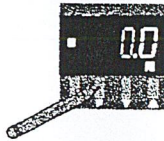
		Linear process inputs	Display
11	O - 20mV		0 - 100
12	4 - 20mV		0 - 100
13	O - 20mV		0 - 1000
14	4 - 20mV		0 - 1000
15	O - 20mV		0 - 2000
- Negative temperature ranging**
  - O Disabled
  - 1 Enabled (range min -200°)
- Display resolution**
  - O Normal (1°)
  - 1 Hi-res (0.1°) ±199.9°  
 1° settings become 0.1°  
 Ranged 0 - 200° on selection of Hi-res. (reset with Fn 24)
- SP2 Operating mode**  
 Select and enter Function 19 before adjusting SP2 in Function 2
  - O OUT
  - 1 Deviation alarm - High
  - 2 Deviation alarm - Low
  - 3 Deviation band alarm
  - 4 Full scale alarm - High
  - 5 Full scale alarm - Low
  - 6 LBA - Loop break alarm
  - 7 Cool strategy
- SP1 Sensor break**
  - O Upscale
  - 1 Downscale
- SP2 Sensor break**
  - O Upscale
  - 1 Downscale
- °C/°F (Note Change top fascia)**
  - O °C } Factory set
  - 1 °F } not reset by Function 15
- Software version number**
- Configured range (CR) adjustment**
  - 1° steps
  - Mode B adjustment see 4.2 (See Range Table in Function 16)

### 13. IMPORTANT ADVANCED FUNCTIONS SECURITY

The advanced functions are intended for OEM's and process engineers. Access is therefore protected in the Function table

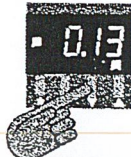
Step 1

PRESS **P** TO ENTER PROGRAM MODE



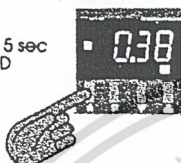
Step 2

PRESS **▼** TO GO DIRECTLY TO FUNCTION 13



Step 3

PRESS & HOLD **★** FOR 5 sec TO ACCESS ADVANCED FUNCTIONS (Entry point Fn 38)



### 13.2 ADVANCED FUNCTIONS - Protected

Fn Opt Parameter  
No. No.

#### 26 SP1 Heat Power limit

0	100% max	8	60%
1	95% output	9	55%
2	90%	10	50%
3	85%	11	45%
4	80%	12	40%
5	75%	13	30%
6	70%	14	20%
7	65%	15	10%

Not in SP1 ON/OFF mode

#### 27 SP2 Cool limit

0	100% max	4	40%
1	80% output	5	30%
2	60%	6	20%
3	50%	7	10%

Not in SP2 ON/OFF mode

#### Direct/Reverse mode selection

Normal OFF when logically ON

28	SP1 Output	<input type="radio"/>	1
29	SP1 LED	<input type="radio"/>	1
30	SP2 Output	<input type="radio"/>	1
31	SP2 LED	<input type="radio"/>	1

#### 32 Error Indicator resolution

0	Normal (2% range/segment)
1	High (1%)
2	Low (4%)

#### 33 Temperature display sensillivity

0	Normal
1	High
2	Low

#### 34 Derivative polling ratio

0	0.5 x derivative time
1	0.2
2	0.7
3	1.0

#### 35 Sensor span adjust

1% steps (+15° / -16° max)

Note 'Hidden' Fn 15/Opt 5 resets ALL functions, except Fn 22

### 36 SP2 Latch alarms

- Normal
- Latch

Only for: SP2 ON/OFF mode, Fn 19/Opt 1-5

PRESS **▼▲** together to reset (in non alarm condition)

### 37 Spare

#### DIAGNOSTICS

Read only Functions 39-49 Mode B display **●●● 4.2**

#### PERFORMANCE MONITOR (PM)

### 38 Start monitor (Entry point from Fn 13)

- OFF
- Start

Readings are reset on subsequent monitor start or de-powering

### 39 Read temperature variance (O.1°)

### 40 Read maximum temperature (°C/°F)

### 41 Read minimum temperature (°C/°F)

### 42 Read Duty Cycle Monitor (DCM) % heat (SP1 % ON time)

#### AUTOTUNE TUNING DATA Fig. 8

Overshoot/Undershoot (°C/°F)  
Max 255° / Hi-res 25.5°

- |    |     |    |    |
|----|-----|----|----|
| 43 | OS1 | 45 | US |
| 44 | OS2 |    |    |

Quarter cycle times (sec)  
Min 2 sec/max 1800 sec (30 min)

- |    |                              |    |      |
|----|------------------------------|----|------|
| 46 | QCT1                         | 48 | QCT3 |
| 47 | QCT2                         | 49 | QCT4 |
| 50 | Spare PRESS <b>▲</b> to Fn 0 |    |      |

### 13.3 DIAGNOSTIC Functions 34 - 49

To assist with machine development, commissioning and trouble shooting

#### PERFORMANCE MONITOR (PM)

Monitors and displays minimum and maximum temperatures, and variance (deviation) to 0.1°C/°F. Displayed temperatures are measured values, independent of set point. This high sensitivity monitor may be affected by interference. (Fit snubber to minimise disturbance)

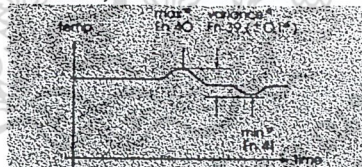


Fig. 7 Performance monitor (PM) Fns 38-41

#### DUTY CYCLE MONITOR (DCM)

Monitors percentage power used in the previous proportioning cycle. Average several readings for a more accurate result. Power requirements outside the range 20% - 80% may be difficult to control and autotune

#### AUTOTUNE TUNING DATA (Fns 43-49)

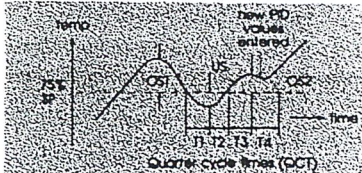


Fig. 8

### 13.4 MONITOR OPERATION (PM/DCM)

Step	Select
1 To start monitor:	Fri 38/Opt 1
2 To return to normal operation	PRESS <b>P</b>
3 To view readings (PM/DCM)	Fns 39-42
4 To stop monitor: (Readings are retained)	Fri 38/Opt 0
5 <b>Reset</b> Readings reset on next monitor start.	Fri 38/Opt 1
Monitor and readings reset	On de-powering

### 14 PROGRAM SECURITY LOCK

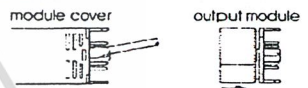
To be made by qualified technician. De-power controller before proceeding using a screw driver at side of bezel remove lower fascia containing push buttons. All functions except user settings - Functions 1-3 can be protected against tampering. To protect function settings change the plastic link from unlocked to locked position.

- LOCKED (or remove link)
- UNLOCKED

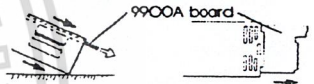
### 15 INTERNAL LINK CHANGES

These operational modifications should be made by a qualified technician before installation.

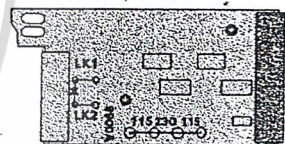
To remove the 9900A board:  
1. First remove the output module, carefully lever the retaining clips from the slots in the module cover with a small screwdriver.



2. Tap module cover on table top, as shown, to release the 9900A board. Carefully remove board, avoid damaging components on protruding tongue



15.1 To convert to 3 wire RTD/PT100 (inhibits thermocouple operation) Carefully cut pad at X avoid damage to R3. Fit solder links LK1, LK2 using 22SWG wire.



15.2 Supply Voltage Conversion (Plug in links) IMPORTANT - check your installation operating voltage before proceeding. Wrongful conversion could damage this unit. For 115 Volt ±15% operation fit two links (spare link in accessories bag) in positions 115 and 115. For 230 Volt ±15% operation fit one link in position 230.

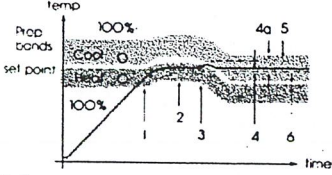
16

9900 FUNCTION/OPTION RECORD				
Customer Ref:				
9900 .		model	serial no.	
Function Number	date:	Option Set		

เอกสารนี้เป็นเอกสารที่สงวนไว้สำหรับการใช้งานที่ A-42 ศึกษาเท่านั้น ไม่อนุญาตให้นำไปใช้ประโยชน์ด้านการค้า ไม่ว่ากรณีใดๆ ทั้งสิ้น อีกทั้งห้ามมิให้ดัดแปลงเนื้อหา และต้องอ้างอิงถึงเจ้าของเอกสารทุกครั้งที่มีการนำไปใช้

**COOL STRATEGY FOR HEAT-COOL APPLICATIONS**

Cool strategy: A change in load causes movement of the linked heat and cool prop bands



- Fig. 9
- Integral causes linked prop bands to move up
  - Stabilises e.g. 30% heat
  - Exothermic load change causes integral to move prop bands down minimising disturbance
  - Minimum offset achieved (4a = offset without cool strategy integral action)
  - Stabilises e.g. 50% cool
  - Consistent dead band throughout

**17.1 SETTING UP ROUTINE FOR-HEAT COOL (Single zone procedure)**

- Step
- Run Autotune AT: (Set normal operating temp) Accept AT proportional cycle time Fn 4/Opt 15  
Note SP1/SP2 cycle times must be compatible with switching devices used (SP2 cool output is OFF at this stage)
  - When temperature stable at set point:
    - Select cool strategy Fn 19/Opt 7
    - Select cool prop band option value from table nearest to Heat prop band value (view Fn 5) Fn 11
    - Select cool cycle time option value nearest to Heat cycle time value (view Fn 4) Fn 10
    - Adjust SP2 dead band to 0° (Factory set 5°) Fn 2
  - Run with normal background/exothermic thermal conditions, good results should be achieved and provide the basis for fine tuning
  - Further adjustments: e.g. Water cooling. Should oscillation occur try (in order):
    - Double cool prop band value Fn 11 and reduce integral time value Fn 8
    - Halve cool cycle time Fn 10
    - Introduce cool overlap Fn 2/(-)ve
  - Non-linear cooling  
For water cooling above 100°C where flash to steam occurs. Select non-linear ranges in cool cycle time Fn 10/Opt 13-15
  - Fine tuning  
If overshoot (into cool) or undershoot (into heat) occurs, slowly make the following adjustments, observing the results:
    - Increase cool overlap Fn 2/(-)ve
    - Apply SP2 cool limit, progressively Fn 27/Opt 1
    - If needed: SP1 heat limit Fn 26/Opt 1
  - Contact CAL for more application advice and data if required

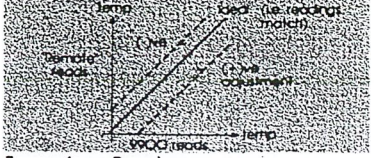
**18 NOTES ON OTHER FUNCTIONS**

- Function Item
- Fn 0 Park mode (Opt 3)**  
Temporarily turns outputs off  
Display: and Process temperature  
Useful in commissioning and trouble shooting, e.g. Multizone applications
- Manual heat % (Opt 4-100)**  
If sensor break occurs (EE1/2) SP1 output (heater power) may be manually controlled 4-100% (Not in ON/OFF mode)  
Display: XXH (XX = % output)
- Fn 3 SP1 Set point lock**  
Stops unauthorised adjustment
- Fn 5 Retransmission:**  
With 100% prop band, accuracy ±5% configuration range using linear input/output

**RECALIBRATING TO REMOTE STANDARD**

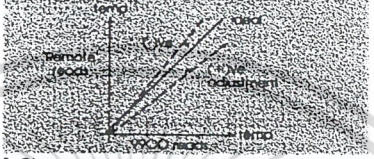
To enable the 9900 calibration to match an external meter, data logger etc. (i.e. 'Remote' reading)

**SENSOR ERROR CORRECTION: Fn 9**  
Provides correction at one single temperature



**Example**  
9900 Reads 404°  
'Remote' 400°  
Error +4° Set (-4) correction at Fn 9  
Note Error polarity applies to 9900 correction

**Sensor span adjust: Fn 35**  
Provides correction where two temperatures require differing amounts of adjustment



- Choose a temperature towards the bottom of the normal operating range and one at the top
- Run at the lower temperature T1, note the error E1 between 9900 and 'Remote' reading
- Repeat at upper temperature T2 and note error E2

**Example**  
9900 T1 reads 60° T2 reads 200°  
'Remote' 58° 205°  
Error E1 = +2° E2 = -5°

**4. Calculation of span adjustment for Fn 35**

Formula: 
$$\text{Fn 35} = \frac{E2 - E1}{T2 - T1} \times \text{CR (as Fn 24)}$$

Example: 
$$\text{Fn 35} = \frac{(-5) - (+2)}{200 - 60} \times 250$$

$$= \frac{-3}{140} \times 250$$

$$\text{Fn 35} = -5^\circ \text{ Set } (-5^\circ) \text{ in Fn 35}$$

- A span error entered in Fn 35 immediately changes the reading; allow time to stabilise at T2 if an error exists correct with Fn 9. Then check at T1, if an error exists check readings and calculations; repeat if necessary

**PID TUNING NOTES**

- Proportional cycle time: Fns 4/10**  
Determines the cycle rate of the output device

Output device	Recommended time
9900 Internal relays	10 sec minimum (5 sec with derated contacts & snubber)
SSR	1 sec
Linear output (mA/Vdc)	0.05 sec



**Ideal** **Too long (oscillates)**

- Proportional band/Gain: Fn 5/11**  
Smooths out oscillation occurring in ON/OFF control



**Too narrow (oscillates)** **Too wide (slow warm up and response)**

- Integral time/Reset: Fn 8**  
Automatically corrects offset errors caused by proportional control



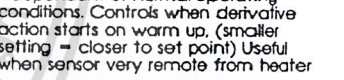
**Too short (overshoots and oscillates)** **Too long (slow warm up and response)**

- Derivative time/Rate: Fn 6**  
Suppresses overshoot and speeds response to disturbances



**Too long (oscillates and over corrects)** **Too short (slow warm up and response under corrects)**

- DAC approach control: Fn 7**  
Tunes warm up characteristics independent of normal operating conditions. Controls when derivative action starts on warm up, (smaller setting = closer to set point) Useful when sensor very remote from heater



**Too small (overshoot)** **Too large (slow stepped warm up)**

**21 PID MANUAL TUNING GUIDE**

For unusual applications producing error messages (EE5/6) on Autotune AT/PT

- Initial settings:**  
Fn 5/Opt 0 (or Reset functions: Fn 15/Opt 1) Fn 4/Opt 7 (ON/OFF Mode)  
Normal operating set point (Then allow process to stabilise)  
**Take several readings of:**  
Amplitude A  
Time period T
- Set PID values:**  
Fn 4 Prop cycle  $\frac{T}{20}$  sec Nearest 20  
time (Ensure compatible with output device)  
Fn 5 Prop band/Gain  $A \times 15 \times 100\%$  Next larger config range  
Fn 6 Derivative time/Rate  $\frac{T}{10}$  sec Next shorter  
Fn 8 Integral time/Reset  $\frac{T}{60}$  min Next longer  
Fn 7 DAC Approach 15 see factory set 20.5 control

## 9. INSTALLATION IMPORTANT SAFETY INFORMATION PLEASE REVIEW



Designed for use: UL 873 - only in products where the acceptability is determined by Underwriters laboratories Inc.  
EN61010-1-Within Installation Categories II and III environment and pollution degree 2.  
To avoid possible hazards accessible conductive parts of final installation should be protectively earthed in accordance with EN61010 for Class 1 equipment.  
Output wiring should be within a grounded cabinet. Sensor sheaths should be bonded to ground or not be accessible.  
Live parts should not be accessible without use of a tool.

It is the responsibility of the installation engineer to ensure that this equipment's compliance to EN61010 is not impaired when fitted to the final installation and to use this equipment as specified in this manual, failure to do so may impair the protection provided. Follow wiring diagrams and regulations.

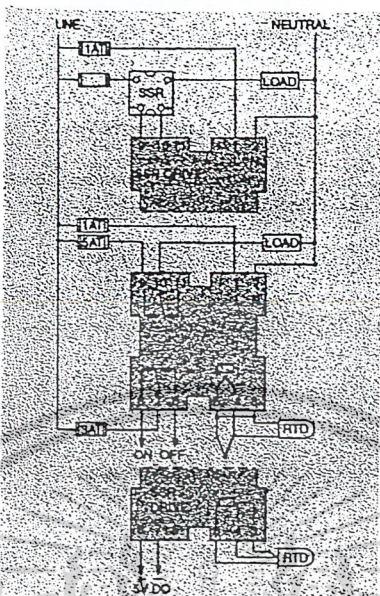
- 1. CONFIGURATION**  
All functions are front key selectable, it is the responsibility of the installing engineer to ensure that the configuration is safe. Remove the function lock link to protect critical functions from tampering.
- 2. ULTIMATE SAFETY ALARMS**  
Normal safety advice: Do not use SP2 as the sole alarm where personal injury or damage may be caused by equipment failure.

## 10. INSTALLATION

### 10.1 ELECTRICAL INSTALLATION CAUTION RISK OF ELECTRICAL SHOCK



1. Check controller label is the correct supply voltage for your application.
2. Connections are shown on the socket label.
3. For connection to socket use, 250 Faston receptacles provided in accessory kit.
4. Recommended wire size for mains voltage and outputs 32/0.2 1.0mm<sup>2</sup> (18 AWG 0.04") rated to 6 Amps/300V at 70°C.
5. For use with 2 wire RTD an external link is required between connections 3 and 5.
6. IMPORTANT. It is recommended that interference suppressors are fitted across relay contacts to prolong relay life.



Fuses: 250VAC rated, time lag type to IEC 127.

### 10.2 MECHANICAL

1. Prepare a 1/16 DIN panel cut out: 45 x 45mm +0.6 -0 1.77" x 1.77" +0.02 -0
2. Remove the socket, pressing in the lock buttons
3. Slide the controller into the cut out
4. Fit the mounting clip see fig, pressing it firmly against the panel, jacking screws optional
5. Plug on the socket
6. After installation remove and discard the protective front window label
7. Cleaning - if required wipe with damp cloth (water only)

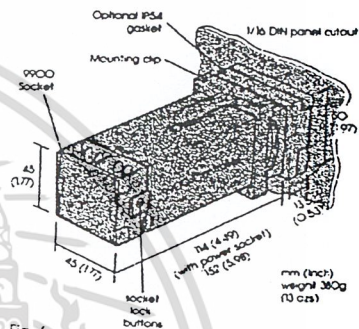


Fig. 6

## 11. ERROR MESSAGES

### APPLICATION FAULTS

<b>EE1</b> Sensor burnout	Check sensor	Self clearing
<b>EE2</b> RTD/PT100 short	Check sensor	Self clearing
<b>EE3</b> LBA Loop break	Check control loop	Latches: Reset

### AUTOTUNE AT/PT TUNING CYCLE FAULTS

Autotune run is aborted Previous values are retained		
<b>EE5</b> Outside time limit	Latches: Reset	
<b>EE6</b> O/shoot exceeds limit	Latches: Reset	
<b>EE7</b> Unable to run Autotune	Latches: Reset	SP1 in ON/OFF mode

### SOFTWARE FAULTS

<b>EE8</b> Calibration data error	Replace unit if it persists
<b>EE9</b> System error	Replace unit

PRESS  $\nabla$   $\blacktriangle$  together to reset latched message

## WARRANTY

CAL Controls warrant this product free of defect in workmanship and materials for three (3) years from date of purchase.

1. Should the unit malfunction, return it to the factory. If defective it will be repaired or replaced at no charge
2. There are no user-serviceable parts in this unit. This warranty is void if the unit shows evidence of being tampered with or subjected to excessive heat, moisture, corrosion or other misuse
3. Components which wear, or damage with misuse, are excluded e.g. Relays, SSR
4. To comply with this warranty the installation and use must be by suitably qualified personnel
5. Neither CAL Controls Ltd or CAL Controls Inc shall be responsible for any damage or loss to other equipment howsoever caused, which may be experienced as a result of the installation or use of this product. CAL Controls liability for any breach of this agreement shall not exceed the purchase price paid

Designed by BDC Technical Services, Baldock, UK

## 12. 9900 SPECIFICATION

### INPUTS

See 8 Function 16 for Range-Table  
Thermocouple - 9 types

J	Iron/Constantan	T	Copper/Con
K	Chromel/Alumel	R	Pt - 13% Rh/Pt
L	Fa/Konst	S	Pt - 10% Rh/Pt
N	NiCrSi/NiSi	B	Pt - 30% Rh/Pt
E	Chromel/Con		Pt - 6% Rh

Standards: IPTS 68/DIN 43760

Linearity: 5 - 95% sensor range  $\pm 0.1$  J/K/L/N/E  $\pm 1^\circ\text{C}$ , T  $\pm 2^\circ\text{C}$ , B  $\pm 6^\circ\text{C}$  >500°C  
R/S 0-300°C  $\pm 5^\circ\text{C}$ , 300-1600°C  $\pm 2^\circ\text{C}$   
CJC Rejection: 20:1 (0.05%/°C) typical  
External resistance: 100  $\Omega$  maximum

### Resistance thermometers

RTD/PT100 2 wire (optional 3 wire)  
DIN 43760 100  $\Omega$  0°C/138.5  $\Omega$  100°C Pt

Linear process inputs: 0-20mV/4-20mV  
Linearity:  $\pm 1.5\%$  Impedance 100k  $\Omega$  min

### Applicable to all inputs

SR=sensor range, CR=configured range  
Calibration accuracy:  $\pm 0.25\%$  SR  $\pm 1^\circ\text{C}$   
Sampling frequency: Input 3Hz, CJC 5sec  
Common mode rejection: Negligible  
effect up to 140dB, 240V, 50-60Hz  
Series mode rejection: 60dB, 50-60Hz  
Temperature coefficient: 150ppm/°C SR  
Reference conditions: 22°C  $\pm 2^\circ\text{C}$ ,  
115/230V  $\pm 5\%$ , after 30m settling time

### OUTPUTS

#### OUTPUT MODULE - Dual standard

Main output: SP1  
Relay standard: 5A/250Vac resistive SPDT/Form C  
SSd-optional: 5V/25mA non-isolated

#### Alarm/Cool channel output: SP2

Relay-standard: 3A/250Vac resistive SPDT/Form C  
SSd-optional: 5V/25mA non-isolated

#### 9900 Controller output module - types

SP1 output SP2		115V code 230V	
Relay	Relay	99L11C/F	99L12C/F
SSd	SSd	99L12C/F	99L22C/F
SSd	Relay	99L11C/F	99L12C/F
SSd	SSd	99L21C/F	99L22C/F
Relay	-	99L01C/F	99L02C/F
SSd	-	99L01C/F	99L02C/F

### CONTROL CHARACTERISTICS

<b>SPI PID Parameters</b>	<b>Field selectable</b>
Prop band/Gain	0.5-100% CR
Prop cycle-time	0.05-81s or ON/OFF
Integral time/Reset	0.2-43m or OUT
Derivative time/Rate	1.0-255s or OUT
DAC approach control (ON/OFF Hysteresis)	0.5-9.0 x PB 0.25-50%CR

### GENERAL

Supply Voltage: 115V or 230V  $\pm 15\%$   
50-60Hz 6VA (Link selectable)  
Digital LED Display: 3 1/2 digit 10mm high, High brightness green, 3 step LED.  
Error indicator: 3 step LED.  
Output LEDs: SP1 Green SP2 Amber.  
Keypad: 4 Elastomeric Buttons.

### ENVIRONMENTAL

Humidity: Max. 80%  
Altitude: Up to 2000M  
Installation: Categories II and III  
Degree II  
Pollution: UL873, CSA 22.2/142-87, EN61010  
Safety: IP54 (with gasket)  
EMC Emission: EN50081-1  
FCC Rules 15 Sub-part J Class A  
EMC Immunity: EN50082-1, RF Field  $\pm 2\%$  FS  
Ambient: 0.50°C (32-130°F)  
Mouldings: Flame Retardant Polycarbonate



### CAL Controls Ltd

Bury Mead Road, Hitchin, Herts, SG5 1RT, UK  
Tel: +44 (0) 1462-436161 Fax: +44 (0) 1462-451801

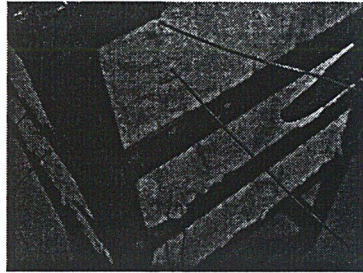
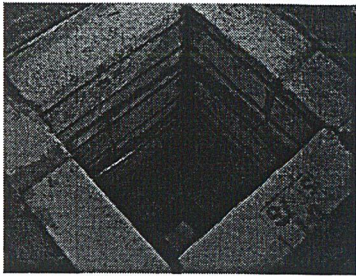
### CAL Controls Inc

1580 S. Milwaukee Avenue, Libertyville, IL 60048  
Tel: (847) 680-7080 Fax: (847) 816-6852

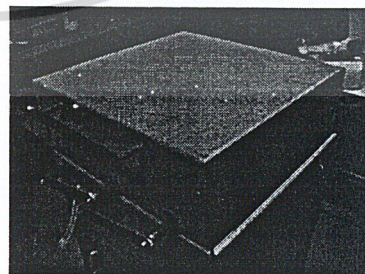
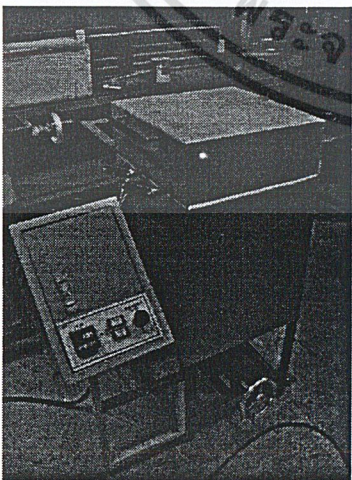
CAL Controls policy of continuous development may cause detail changes to the enclosed information. E & OE

401 1296

## รูปเตาหลอมอะลูมิเนียมไฟฟ้าขณะดำเนินการสร้าง

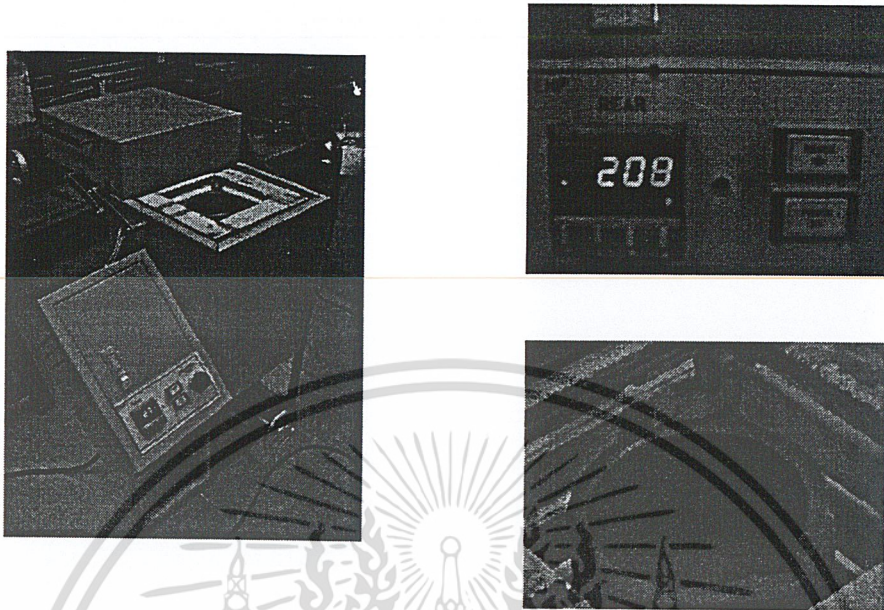


## รูปภายนอกของเตาหลอมอะลูมิเนียมไฟฟ้า



เอกสารนี้เป็นเอกสารที่สงวนไว้สำหรับการใช้งานเพื่อการศึกษาเท่านั้น ไม่อนุญาตให้นำไปใช้ประโยชน์ด้านการค้า  
ไม่ว่ากรณีใดๆ ทั้งสิ้น อีกทั้งห้ามมิให้ดัดแปลงเนื้อหา และต้องอ้างอิงถึงเจ้าของเอกสารทุกครั้งที่มีการนำไปใช้

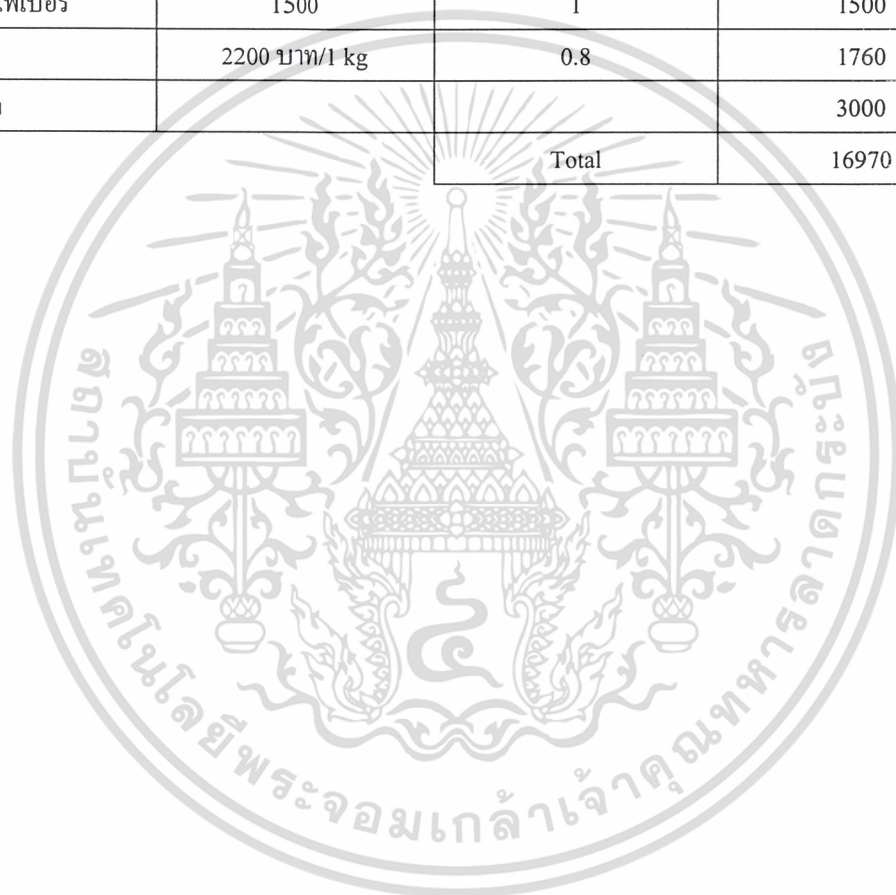
## รูปเตาหลอมอะลูมิเนียมไฟฟ้าขณะทำการทดลอง



เอกสารนี้เป็นเอกสารที่สงวนไว้สำหรับการใช้งานเพื่อการศึกษาเท่านั้น ไม่อนุญาตให้นำไปใช้ประโยชน์ด้านการค้า  
ไม่ว่ากรณีใดๆ ทั้งสิ้น อีกทั้งห้ามมิให้ดัดแปลงเนื้อหา และต้องอ้างอิงถึงเจ้าของเอกสารทุกครั้งที่มีการนำไปใช้

รายการอุปกรณ์และราคาโดยประมาณในการสร้างเตาหลอมอะลูมิเนียมไฟฟ้า

รายการอุปกรณ์	ราคา/หน่วย (บาท)	จำนวน	ราคารวม(บาท)
1. อิฐทนไฟ	4.	45	1800
2. ปูนทนไฟ	35 kg.	1	560
3. Thermo couple	110	1	1100
4. Them control	5000	1	5000
5. Crucible	1700-1800	1	1750
6. เหล็กฉาก	250 บาท/ 6 เมตร	2	500
7. เซรามิก ไฟเบอร์	1500	1	1500
8. Heater	2200 บาท/1 kg	0.8	1760
9. เบ็ดเตล็ด			3000
		Total	16970



เอกสารนี้เป็นเอกสารที่สงวนไว้สำหรับการใช้งานเพื่อการศึกษาเท่านั้น ไม่อนุญาตให้นำไปใช้ประโยชน์ด้านการค้า  
ไม่ว่ากรณีใดๆ ทั้งสิ้น อีกทั้งห้ามมิให้ตัดแปลงเนื้อหา และต้องอ้างอิงถึงเจ้าของเอกสารทุกครั้งที่มีการนำไปใช้